

П-168

АЗӘРБАЙЧАН ССР ЕЛМЛӘР АКАДЕМИЈАСЫ
АКАДЕМИЯ НАУК АЗЕРБАЙДЖАНСКОЙ ССР

МӘРУЗӘЛӘР
ДОКЛАДЫ

ТОМ ХХ ЧИЛД

1

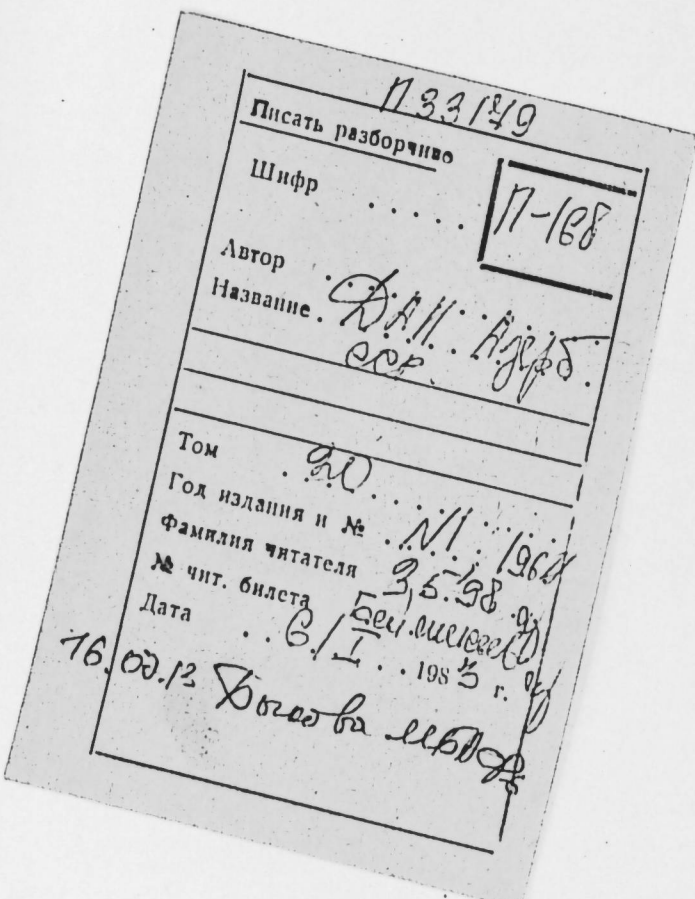
АЗӘРБАЙЧАН ССР ЕЛМЛӘР АКАДЕМИЈАСЫ НӘШРИЛДАТЫ
ИЗДАТЕЛЬСТВО АКАДЕМИИ НАУК АЗЕРБАЙДЖАНСКОЙ ССР

Бакы — 1964 — Баку

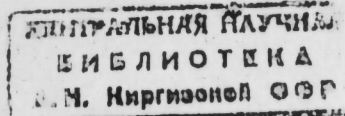
МЭ'РУЗЭЛЭР ДОКЛАДЫ

ТОМ ХХ ЧИЛД

№ 1



1133179



МАТЕМАТИКА

М. Г. ГАСЫМОВ

О ПРИМЕНЕНИЯХ ОДНОГО НЕРАВЕНСТВА ДЛЯ СУММЫ
РАЗНОСТЕЙ СОБСТВЕННЫХ ЗНАЧЕНИЙ ДВУХ
САМОСОПРЯЖЕННЫХ ОПЕРАТОРОВ

(Представлено академиком АН Азербайджанской ССР З. И. Халиловым)

1. Пусть в гильбертовом пространстве H даны два самосопряженных ограниченных снизу оператора A и C с одинаковой областью определения D_A и с дискретными спектрами. Собственные значения операторов A и G обозначим через $\lambda_1 \leq \lambda_2 \leq \dots$ и $\mu_1 \leq \mu_2 \leq \dots$, а ортонормированные собственные элементы через $\varphi_1, \varphi_2, \dots$ и ψ_1, ψ_2, \dots , соответственно. В работе [1] получены неравенства

$$\sum_{n=1}^N (\omega(B)\psi_n, \psi_n) \leq \sum_{n=1}^N (\omega(\mu_n) - \omega(\lambda_n)) \leq \sum_{n=1}^N (\omega(B)\varphi_n, \varphi_n), \quad (1)$$

где оператор $\omega(B) = \omega(c) - \omega(A)$, $\omega(t)$ — непрерывная неубывающая функция. В той же работе указаны некоторые применения этих неравенств. В настоящей работе с помощью неравенств (1) получается некоторое обобщение известной теоремы В. А. Амбарцумяна [9] и в некоторых случаях указывается способ приближенного вычисления собственных значений оператора G по известным собственным значениям оператора A . Получено некоторое обобщение неравенств (1) и указаны их применения.

2. Рассмотрим операторы L_0 и L , порожденные левыми частями дифференциальных уравнений при $\lambda=0$,

$$\sum_{l,j=1}^m \frac{\partial}{\partial x_j} \left(a_{lj} \frac{\partial u}{\partial x_j} \right) + (\lambda - q(x))u = 0 \quad (2)$$

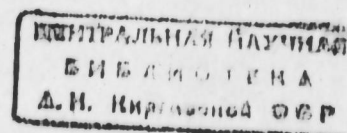
$$u \sum_{l,j=1}^m \frac{\partial}{\partial x_j} \left(a_{lj} \frac{\partial u}{\partial x_j} \right) + (\lambda - q(x) - p(x))u = 0 \quad (3)$$

соответственно, и граничным условием

$$\frac{\partial u}{\partial n} \Big|_r = 0, \quad (4)$$

РЕДАКЦИОННАЯ КОЛЛЕГИЯ: З. И. Халилов (главный редактор), Ш. А. Азизбеков, В. Р. Волобуев, Д. М. Гусейнов, И. А. Гусейнов, М. А. Даудашев (зам. главного редактора), М. А. Далин, Ч. М. Джуниарлы, С. М. Кулиев, М. Ф. Иагиев (зам. главного редактора), М. А. Топчибашев, Г. Г. Зейналов (ответственный секретарь).

Адрес: г. Баку, Коммунистический, 10. Редакция «Докладов Академии наук Азербайджанской ССР».



где $x = (x_1, x_2, \dots, x_m)$ — точка m -мерного евклидового пространства E_m , дифференцируемые функции $a_{ij}(x)$ и непрерывные функции $q(x)$ и $p(x)$ определены в односвязной конечной или бесконечной области D с границей Γ . Предположим, что определитель $\det \|a_{ij}\| = a(x) > 0$, функции $a_{ij}(x)$ и $q(x)$ такие, что оператор L_0 имеет дискретный спектр, состоящий из собственных значений $\lambda_1 \leq \lambda_2 \leq \dots$ и ортонормированные собственные функции $\varphi_1(x), \varphi_2(x), \dots$, а $p(x)$ — финитная функция, т.е. в некоторой окрестности границы Γ обращается в нуль. Тогда оператор L тоже имеет дискретные собственные значения $\mu_1 \leq \mu_2 \leq \dots$ и ортонормированные собственные функции $\psi_1(x), \psi_2(x), \dots$, причем области определения операторов L_0 и L совпадают. Имеет место

Теорема 1. Пусть $a_{ij}(x)$ ($i, j = 1, \dots, m$), $q(x)$ и $p(x)$ Достаточное число раз дифференцируемые функции в области D и

$$\lim_{\lambda \rightarrow \infty} \frac{1}{\lambda^{m/2}} \sum_{\mu_n < \lambda} (\mu_n - \lambda_n) = \lim_{\lambda \rightarrow \infty} \frac{1}{\lambda^{m/2}} \sum_{\mu_n < \lambda} (\mu_n - \lambda_n) = 0. \quad (5)$$

Тогда

$$\int_D \frac{p(x)}{a(x)} dx = 0. \quad (6)$$

Доказательство. Пусть $\omega(t) = t$. Тогда в силу неравенств (1) имеем:

$$\sum_{\mu_n < \lambda} \int q(x) \psi_n^2(x) dx \leq \sum_{\mu_n < \lambda} (\mu_n - \lambda_n). \quad (7)$$

Так как $\sum_{\mu_n < \lambda} \psi_n^2(x)$ является спектральной функцией оператора L то, используя ее асимптотику при достаточно больших λ , найденную Б. М. Левитаном [3, 4, 5] из неравенства (7) получаем:

$$\lim_{\lambda \rightarrow \infty} \int_D \frac{p(x)}{a(x)} dx + O\left(\lambda^{\frac{m}{2}-1/2}\right) \leq \sum_{\mu_n < \lambda} (\mu_n - \lambda_n). \quad (8)$$

Здесь, деля обе стороны этого неравенства на $\lambda^{m/2}$ и переходя к пределу при $\lambda \rightarrow \infty$, при выполнении условий теоремы получаем, что

$\int_D \frac{p(x)}{a(x)} dx \leq 0$. Так же доказывается, что $\int_D \frac{p(x)}{a(x)} dx \geq 0$. Значит

$\int_D \frac{p(x)}{a(x)} dx = 0$. Теорема доказана.

Теперь сформулируем одно обобщение теоремы Амбарцумяна [9].

Теорема 2. Пусть $A = \|a_{ij}\|$ — единичная матрица, $q(x) \equiv 0$ и D — конечная область. Если функция $p(x)$ около границы Γ обращается в нуль и $\lambda_1 = \mu_1$, то формулы (5) возможны только при $p(x) \equiv 0$.

Доказательство. Из теоремы 1 следует, что $\int_D p(x) dx = 0$. С другой стороны очевидно, что $\lambda_1 = 0$ и поэтому первая собственная

функция оператора L совпадает с функцией, дающей абсолютный минимум функционала

$$\int_D \left[\sum_{i=1}^m \left(\frac{du}{dx_i} \right)^2 + p(x) u^2 \right] dx = 0. \quad (9)$$

В силу условий $\int_D p(x) dx = 0$, очевидно, что постоянное число дает абсолютный минимум функционала (10). Поэтому $p(x) \equiv 0$. Теорема доказана.

Заметим, что при $m=2, 3$ первое обобщение теоремы Амбарцумяна получил Н. В. Кузнецова [6]. Чтобы показать в каком смысле теорема 2 является обобщением результатов Амбарцумяна и Кузнецова, приводим их результаты.

Теорема (Амбарцумяна [9]). Если собственные значения оператора $y'' + [\lambda - p(x)]y = 0$, $y'(0) = y'(\pi) = 0$ совпадают с числами n^2 , то $p(x) \equiv 0$

Теорема (Кузнецова [8]). Пусть $m=2, 3$ и a_{ij} — единичная матрица, функции $q(x) \equiv 0$ и $p(x)$ определены в конечной области

D . Если ряд $\sum_{n=1}^{\infty} (\mu_n - \lambda_n)$ сходится и $\lambda_1 = \mu_1$, то $p(x) \equiv 0$.

Заметим, что при $m=1$ в теореме 2 можно не требовать финитности функции $p(x)$, так как в этом случае асимптотику спектральных функций операторов L_0 и L возможно изучить до границ. А именно имеет место

Теорема 3. Пусть $m=1$, $0 < x \leq \pi$ и $p(x)$ — непрерывная функция. Тогда при достаточно больших N

$$\sum_{n=1}^N \varphi_n^2(x) - \sum_{n=1}^N \psi_n^2(x) = O(1). \quad (10)$$

Теперь с помощью этой теоремы и неравенств (1) нетрудно доказать следующее.

Теорема 4. Пусть $m=1$ и $0 < x < \pi$. Для того, чтобы имела место формула

$$\lim_{\lambda \rightarrow \infty} \frac{1}{\sqrt{\lambda}} \sum_{\mu_n < \lambda} (\mu_n - \lambda_n) = \lim_{\lambda \rightarrow \infty} \frac{1}{\sqrt{\lambda}} \sum_{\mu_n < \lambda} (\mu_n - \lambda_n) = 0. \quad (11)$$

необходимо и достаточно, чтобы $\int_0^\pi p(x) dx = 0$. При этом ряд $\sum_{n=1}^{\infty} (\mu_n - \lambda_n)$ сходится и имеет место формула Гельфанд-Левитана

$$\sum_{n=1}^{\infty} (\mu_n - \lambda_n) = \frac{p(0) + p(\pi)}{4}. \quad (12)$$

2. Впервые эта формула получена в работе [2], а затем другими методами в работах [3, 10]. Предлагаемый здесь метод отличается от предыдущих методов.

Доказательство. Так как $\varphi_1 = \frac{1}{\sqrt{\pi}}$, $\varphi_{n+1}(x) = \sqrt{\frac{2}{\pi}} \cos nx$, $n=1, 2, \dots$, то

$$\begin{aligned} \sum_{n=1}^N \int_0^\pi p(x) \varphi_n^2(x) dx &= \frac{1}{\pi} \sum_{n=0}^{N-1} \int_0^\pi p(x) [1 + \cos 2nx] dx = \\ &= \frac{N}{\pi} \int_0^\pi p(x) dx + \frac{1}{\pi} \sum_{n=1}^{N-1} \int_0^\pi p(x) \cos 2nx dx = \frac{N}{\pi} \int_0^\pi p(x) dx + \\ &\quad + \frac{p(0) + p(\pi)}{4} + o(1) \end{aligned}$$

Используя формулу (10), нетрудно получить, что

$$\sum_{n=1}^N \int_0^\pi p(x) \psi_n^2(x) dx = \frac{N}{\pi} \int_0^\pi p(x) dx + \frac{p(0) + p(\pi)}{4} + o(1).$$

Тогда из неравенств (1) получаем, что условие (11) необходимо и достаточно, для того чтобы $\int_0^\pi p(x) dx = 0$. Отсюда также получаем,

что если $\int_0^\pi p(x) dx = 0$, то

$$\sum_{n=1}^N (\mu_n - \lambda_n) = \frac{p(0) + p(\pi)}{4}$$

Теорема доказана.

3. В предыдущем пункте видели, что неравенства (1) могут быть применены к вычислению суммы разностей собственных значений двух регулярных операторов Штурма—Лиувилля. Некоторые другие применения показаны в работе [1]. В некоторых случаях для вычисления суммы разностей собственных значений двух самосопряженных операторов удобно пользоваться неравенствами, которые устанавливаются в следующей теореме.

Теорема 5. Пусть A и C —самосопряженные ограниченные снизу операторы в H , с дискретными спектрами $\lambda_{1,0} \leq \lambda_{2,0} \leq \dots$ и $\lambda_{1,n} \leq \lambda_{2,n} \leq \dots$ и ортонормированными собственными функциями $\varphi_{1,0}, \varphi_{2,0}, \dots, \varphi_{1,n}, \varphi_{2,n}, \dots$ соответственно. Далее, пусть оператор $B = C - A$ имеет вид: $B = \sum_{i=1}^n B_i$ и операторы

$$A_p = A + \sum_{i=1}^p B_i = A + \tilde{B}_p \quad (p=1,2,\dots,n). \quad (13)$$

имеют собственные значения $\lambda_{1,p} \leq \lambda_{2,p} \leq \dots$ и ортонормированные собственные функции $\varphi_{1,p}, \varphi_{2,p}, \dots$ соответственно. Тогда

$$\begin{aligned} \sum_{p=1}^n \sum_{k=1}^N (B_p \varphi_{k,p}, \varphi_{k,p}) &\leq \sum_{k=1}^N (\lambda_{k,n} - \lambda_{k,0}) \leq \\ &\leq \sum_{p=1}^n \sum_{k=1}^N (B_p \varphi_{k,p-1}, \varphi_{k,p-1}). \end{aligned} \quad (14)$$

Доказательство. Из неравенств (1) имеем:

$$\sum_{k=1}^N (B_1 \varphi_{k,1}, \varphi_{k,1}) \leq \sum_{k=1}^N (\lambda_{k,1} - \lambda_{k,0}) \leq \sum_{k=1}^N (B_1 \varphi_{k,0}, \varphi_{k,0})$$

$$\sum_{k=1}^N (B_2 \varphi_{k,2}, \varphi_{k,2}) \leq \sum_{k=1}^N (\lambda_{k,2} - \lambda_{k,1}) \leq \sum_{k=1}^N (B_2 \varphi_{k,1}, \varphi_{k,1})$$

$$\sum_{k=1}^N (B_n \varphi_{k,n}, \varphi_{k,n}) \leq \sum_{k=1}^N (\lambda_{k,n} - \lambda_{k,n-1}) \leq \sum_{k=1}^N (B_n \varphi_{k,n-1}, \varphi_{k,n-1}).$$

Теперь, сложив эти неравенства, получим неравенства (14), что и доказывает теорему.

Покажем одно простое применение доказанной теоремы. Пусть операторы A и G порождены уравнениями

$$\begin{aligned} -y'' &= \lambda y \\ -y'' + \left\{ q(x)y + \int_0^\pi k(x,t)y(t)dt + \right\} &= \lambda y \end{aligned}$$

соответственно, и граничными условиями $y'(0) = y'(n) = 0$. Пусть

$$B_1 y = q(x)y \text{ и } B_2 y = \int_0^\pi k(x,t)y(t)dt.$$

Сохраняем обозначения теоремы 5. Тогда очевидна

Теорема 6. Если B_2 —самосопряженный ядерный оператор и

$$\begin{aligned} \int_0^\pi q(x)dx &= 0, \text{ то} \\ \sum_{k=1}^N (\lambda_{k,2} - \lambda_{k,0}) &= \frac{q(0) + q(n)}{4} + \int_0^\pi k(x,x)dx. \end{aligned} \quad (15)$$

4. В некоторых случаях неравенства (1) могут быть применены для приближенного вычисления собственных значений оператора $C = A + B$ по известному алгоритму [4]. Пусть известны собственные значения $\lambda_1 \leq \lambda_2 \leq \dots$ ограниченного самосопряженного оператора A и B —ядерный оператор. Тогда операторы $B_s = (A+B)^s - A^s$, $s=1,2,\dots$, суть ядерные операторы. Поэтому следы операторов B_s ($s=1,2,\dots$) существуют и не зависят от ортонормированного базиса. Тогда из неравенств (1) следуют уравнения:

$$\sum_{n=1}^N (\mu_n^s - \lambda_n^s) = s_p B_s, \quad s=1,2,\dots, \quad (16)$$

где $\mu_1 \leq \mu_2 \leq \dots$ —собственные значения оператора G . В силу сходимости рядов $\sum_{n=1}^N (\mu_n^s - \lambda_n^s)$, $s=1,2,\dots$ можно считать, что начиная с некоторого N , $\lambda_{N+k} \approx \mu_{N+k}$. Далее, для неизвестных собственных [значений] оператора C из уравнений (16) получаем уравнения:

$$\sum_{n=1}^N (\mu_n^s - \lambda_n^s) \approx s_p B_s, \quad s=1,2,\dots,N.$$

Решая эти уравнения, можно приближенно вычислить собственные значения оператора $C=A+B$.

Также можно указать способ приближенного вычисления собственных значений оператора $C=A+B$, если известны собственные значения оператора A , в случае, когда A и B суть операторы типа Гильберта—Шмидта, или оператор A имеет собственные значения $\lambda_n \leq c(lpn)^l$ при любом $n > 1$, где $c > 0$, $l \geq 0$, а оператор $B^{1-\epsilon}$ при некотором $0 < \epsilon < 1$ является ядерным оператором. Число примеров нетрудно увеличить.

ЛИТЕРАТУРА

1. Гасымов М. Г. ДАН СССР (в печати).
2. Гельфанд И. М., Левитан Б. М. ДАН СССР, 1953, т. 88, № 4. 593.
3. Диккий Л. А. УМН, 8, № 2, 1953. 4.
- Диккий Л. А. ДАН СССР, 1957, т. 116, вып. 1.
5. Левитан Б. М. Изв. АН СССР, серия "матем.", 1955, т. 19.
6. Левитан Б. М. Труды Моск. мат. общ., т. 4, 1955.
7. Левитан Б. М. Труды Моск. мат. общ., т. 5, 1956.
8. Кузнецов Н. В. ДАН СССР, 1962, т. 146, вып. 6.
9. Ambartsumyan W. A. Zs. f. Phys., 53, 690, 1929.
10. Halberg C., Kramer V., Duke. Math. J. v. 27, № 4, 1960.

МГУ

Поступило 21. V 1963

М. К. Гасымов

Ики өз-өзүнә гошма операторларын мәхсуси әдәлләри
үчүн олан бир бәрабәрсизлијин тәтбиги һагында

ХУЛАСЭ

Бу ишдә ики өз-өзүнә гошма операторларын мәхсуси әдәлләри үчүн алыныш бир бәрабәрсизлијин көмәји илә В. А. Амбарцумјаның теоремасынын, И. М. Келфандының вә Б. М. Левитаның Штурм-Лиувилл тәнлијинин изи үчүн тапылыш дүстүрүн үмүмиләшмәләри верилмишdir. Мәгәләдә јухарыда гејд олунмуш бәрабәрсизлијин дикәр мәсәләләре тәтбиги дә кестәрилмишdir.

Ф. С. АЛИЕВ

ОБЩЕЕ РЕШЕНИЕ УРАВНЕНИЯ ЭЙЛЕРА В ОБОБЩЕННЫХ ФУНКЦИЯХ

(Представлено академиком АН Азербайджанской ССР З. И. Халиловым)

Как показывают простые примеры ([3], стр. 61) уравнения с особенностями в классе обобщенных функций могут приобрести новые решения, отличные от классических. С другой стороны, даже классические решения могут не быть решениями в смысле обобщенных функций.

В связи с этим возникает естественный вопрос: как описать совокупность всех решений уравнения Эйлера

$$Ly \equiv x^n y_{(x)}^{(n)} + a_1 x^{n-1} y_{(x)}^{(n-1)} + \dots + a_n y(x) = 0 \quad (1)$$

произвольного n -го порядка в классе обобщенных функций K' .

Всюду пользуемся определениями и обозначениями введенными в [3]. Приведем формулы дифференцирования некоторых обобщенных функций, которыми будем пользоваться.

Выход этих формул приведен в работе [1].

Положим, $[\lambda]_m = \lambda(\lambda-1)\dots(\lambda-m+1)$. Пусть далее, x_+^λ , x_-^λ , ..., обобщенные функции, введенные в [3].

Тогда имеет место формула дифференцирования

$$(x_+^\lambda)^{(m)} = \begin{cases} [\lambda]_m x_+^{\lambda-m} & \text{при } \lambda \neq m-1, m-2, \dots \\ \lambda \delta^{(q-1)}(x) & \text{при } \lambda = m-q, q=1,2, \dots \end{cases} \quad (2)$$

$$(x_-^\lambda)^{(m)} = \begin{cases} (-1)^m [\lambda]_m x_-^{\lambda-m} & \text{при } \lambda \neq m-1, m-2, \dots \\ (-1)^\lambda \lambda \delta^{(q-1)}(x) & \text{при } \lambda = m-q, q=1,2, \dots \end{cases} \quad (3)$$

Для произвольных целых положительных n и q справедливы формулы:

$$(x_+^{-n})^{(q)} = [-n]_q x_+^{-n-q} + \frac{(-1)^{n+q-1}}{(n+q-1)!} [-n]_q' \delta^{(n+q-1)}(x) \quad (4)$$

$$(x_-^{-n})^{(q)} = (-1)^q [-n]_q x_-^{-n-q} - \frac{(-1)^{q-1}}{(n+q-1)!} [-n]_q' \delta^{(n+q-1)}(x) \quad (5)$$

здесь $[-\lambda]_q'$ — есть производная выражения $[-\lambda]_q$ по λ .

Можно показать, что производные функционалов $(x_+^m \ln^k x_+)$, $(x_+^m \ln^k x_-)$ имеют вид:

$$(x_+^m \ln^k x_+)^{(q)} = \begin{cases} \sum_{j=0}^q \frac{[k]_j}{j!} [m]_q^{(j)} x_+^{m-q} \ln^{k-j} x_+ & \text{для нецелых } m \\ & \text{и для целых } m \geq q, q \leq k \\ \sum_{i=0}^{k-1} \frac{[k]_i}{i!} [m]_{k+p}^{(i)} x_+^{m-k-p} \ln^{k-i} x_+ + \sum_{j=0}^p \frac{[k]_{k-1}}{(k-1)!} [m]_{k+p-1-j}^{(k-1)} [m-k-p+j]_j x_+^{m-k-p} & \text{для } m \geq q = k+p, p > k \\ \sum_{l,r} q_{l,r} x_+^{-r} \ln^{k-l-r} x_+ + B \delta^{(r-1)}(x) & \text{для } m = k+p < q = k+p+r \end{cases} \quad (6)$$

где $a_{l,r}$ и B — постоянные величины.

$$(x_+^{-m} \ln^k x_+)^{(k+q)} = \sum_{i=0}^{k-1} \frac{[k]_i}{i!} [-m]_{k+q}^{(i)} x_+^{-m-k-q} \ln^{k-i} x_+ + \\ + \sum_{j=0}^q \frac{[k]_{k-1}}{(k-1)!} [-m]_{k+q-1-j}^{(k-1)} \left\{ [-m-k-q+j]_j x_+^{-m-k-q} + \right. \\ \left. + \frac{(-1)^{m+k+q-1}}{(m+k+q-1)!} [-m-k-q-j]_j \delta^{(m+k+q-1)}(x) \right\} \quad (7)$$

$$(x_-^{-m} \ln^k x_-)^{(k+q)} = \sum_{i=0}^{k-1} \frac{(-1)^{k+q} [k]_i}{i!} [-m]_{k+q}^{(i)} x_-^{-m-k-q} \ln^{k-i} x_- + \\ + \sum_{j=0}^q \frac{(-1)^{k+q-j} [k]_{k-1}}{(k-1)!} [-m]_{k+q-j-1}^{(k-1)} \left\{ (-1)^j [-m-k-q+j]_j x_-^{-m-k-q} - \right. \\ \left. - \frac{(-1)^{j-1}}{m+k+q-1} [-m-k-q+j]_j \delta^{m+k+q-1}(x) \right\}, \quad (8)$$

где $[\lambda]_m^{(j)}$ — есть производная j -го порядка по λ выражения $[\lambda]_m$.

Наконец отметим, что

$$x^k \delta^{(q)}(x) = \begin{cases} (-1)^k [q]_k \delta^{(q-k)}(x) & \text{при } k \leq q \\ 0 & \text{при } k > q \end{cases} \quad (9)$$

Уравнение n -ой степени

$$\sum_{j=0}^n q_j [\lambda]_{n-j} = 0, a_0 = [\lambda]_0 = 1; \quad (10)$$

называется определяющим уравнением, уравнением Эйлера.

Как известно [4], по корням уравнения (10) строится фундаментальная система классических решений уравнения (1).

Систему решений $f_1, f_2, \dots, f_q \in K'$ будем называть фундаментальной системой решений уравнения (1), если всякое решение $y \in K'$ уравнения (1), представляется линейной комбинацией этих функционалов.

Эти функционалы тесно связаны с корнями уравнения (10). Особую роль при этом играют целые отрицательные корни.

Теорема 1. Пусть $\lambda_1, \lambda_2, \dots, \lambda_p, (-\lambda_{p+1}), \dots, (-\lambda_s)$ различные корни уравнения (10) с кратностями соответственно $r_1, r_2, \dots, r_p, \dots, r_s$, где $-\lambda_{p+1}, \dots, -\lambda_s$ — суть целые отрицательные корни.

Система функционалов:

$$x_+^{\lambda_1}, x_+^{\lambda_1} \ln x_+, \dots, x_+^{\lambda_1} \ln^{r_1-1} x_+, \dots, x_+^{\lambda_p}, x_+^{\lambda_p} \ln x_+, \dots, x_+^{\lambda_p} \ln^{r_p-1} x_+, \\ x_-^{\lambda_1}, x_-^{\lambda_1} \ln x_-, \dots, x_-^{\lambda_1} \ln^{r_1-1} x_-, \dots, x_-^{\lambda_p}, x_-^{\lambda_p} \ln x_-, \dots, x_-^{\lambda_p} \ln^{r_p-1} x_-, \\ x_+^{-\lambda_{p+1}}, x_+^{-\lambda_{p+1}} \ln x_+, \dots, x_+^{-\lambda_{p+1}} \ln^{r_{p+1}-2} x_+, \dots, x_+^{-\lambda_s}, x_+^{-\lambda_s} \ln x_+, \dots, x_+^{-\lambda_s} \ln^{r_s-2} x_+, \\ \ln^{r_s-2} x_+, x_-^{-\lambda_{p+1}}, x_-^{-\lambda_{p+1}} \ln x_-, \dots, x_-^{-\lambda_{p+1}} \ln^{r_{p+1}-2} x_-, \dots, \\ x_-^{-\lambda_s}, x_-^{-\lambda_s} \ln x_-, \dots, x_-^{-\lambda_s} \ln^{r_s-2} x_-, \\ x_-^{-\lambda_{p+1}} \ln^{r_{p+1}-1} |x|, \dots, x_-^{-\lambda_s} \ln^{r_s-1} |x|, \delta^{(\lambda_{p+1}-1)}(x), \dots, \delta^{(\lambda_s-1)}(x)$$

образует фундаментальную систему решений уравнения (1) в K' .

Доказательство. Непосредственной проверкой можно убедиться, что функционалы $x_+^{\lambda_1}, x_+^{\lambda_1} \ln x_+, \dots, x_+^{\lambda_p} \ln^{r_p-1} x_+$ являются решениями уравнения Эйлера [2].

Пусть $y \in K'$ произвольное решение уравнения (1). Обозначим через Y_0 функционал вида:

$$Y_0 = y - c_1 x_+^{\lambda_1} - c_2 x_+^{\lambda_1} \ln x_+ - \dots - c_r x_+^{\lambda_1} \ln^{r_1-1} x_+ - \dots - c_{2n} x_-^{\lambda_s} \ln^{r_s-1} x_-$$

Так как вне нуля всякое решение уравнения (1) из K' совпадает с классическим решением, то при некоторых c_1, c_2, \dots, c_{2n} функционал Y_0 сосредоточен в нуле.

Тогда из известной теоремы ([1] стр. 110) об общем виде функционалов сосредоточенных в нуле:

$$Y_0 = \sum_{j=0}^m \eta_j \delta^{(j)}(x),$$

где m — некоторое целое положительное число.

Таким образом,

$$y - c_1 x_+^{\lambda_1} - c_2 x_+^{\lambda_1} \ln x_+ - \dots - c_r x_+^{\lambda_1} \ln^{r_1-1} x_+ - \dots - c_k x_-^{\lambda_s} - \dots - c_{2n} x_-^{\lambda_s} \ln^{r_s-1} x_- - \sum_{j=0}^m \eta_j \delta^{(j)}(x) = 0. \quad (11)$$

Здесь, кроме слагаемых $q_1 x_+^{-\lambda_p+1} \ln^{r_p+1-1} x_+, \dots, q_k x_+^{-\lambda_s-1} \ln^{r_s-1} x_+$;

$$b_1 x_-^{-\lambda_p+1} \ln^{r_p+1-1} x_-, \dots, b_k x_-^{-\lambda_s-1} \ln^{r_s-1} x_-, \sum_{j=0}^m \eta_j \delta^{(j)}(x);$$

все остальные являются решениями уравнения (1).

Поэтому, действуя оператором L на обе части равенства (11) и пользуясь формулами (которые получаются непосредственным вычислением с помощью формул (7) и (8)

$$L[x_+^{-\lambda_j} \ln^{r_j} x_+] = A_m \delta^{(\lambda_j-1)}(x),$$

$$L[x_-^{-\lambda_j} \ln^{r_j} x_-] = -A_m \delta^{(\lambda_j-1)}(x), A_m = \text{const} \neq 0, j = p+1, \dots, s.$$

получим:

$$\begin{aligned} A_{p+1}(b_1 - q_1) \delta^{(\lambda_p+1-1)}(x) + \dots + A_s(b_k - q_k) \delta^{(\lambda_s-1)}(x) = \\ = \sum_{j=0}^m \eta_j \sum_{l=0}^n a_l x^{n-l} \delta^{(l+n-1)}(x). \end{aligned}$$

Нетрудно заметить, что

$$\sum_{l=0}^n a_l x^{n-l} \delta^{(l+n-1)}(x) = \sum_{l=0}^n a_l [-j-1]_{n-1} \delta^{(l)}(x)$$

Окончательно имеем:

$$\begin{aligned} A_{p+1}(b_1 - q_1) \delta^{(\lambda_p+1-1)}(x) + \dots + A_s(b_k - q_k) \delta^{(\lambda_s-1)}(x) = \\ = \sum_{j=0}^m \eta_j \sum_{l=0}^n a_l [-j-1]_{n-1} \delta^{(l)}(x) = 0 \end{aligned}$$

Так как однородные функционалы $\delta^{(l)}$ различного порядка линейно независимы, мы получаем:

$$A_{p+1}(b_1 - q_1) = \eta_{\lambda_p+1-1} \sum_{l=0}^n a_l [-\lambda_p+1]_{n-1}$$

$$\dots \dots \dots \dots \dots \dots \dots \dots$$

$$A_s(b_k - q_k) = \eta_{\lambda_s-1} \sum_{l=0}^n a_l [-\lambda_s]_{n-1}$$

$$\eta_j = 0 \text{ для } j \neq \lambda_p+1-1, \dots, \lambda_s-1.$$

Так как $-\lambda_p+1, \dots, -\lambda_s$ является решениями уравнения (10), то получаем, что $b_1 = q_1, \dots, b_k = q_k$ и в качестве коэффициентов функционалов $\delta^{(\lambda_p+1-1)}(x), \dots, \delta^{(\lambda_s-1)}(x)$ в разложении (11) можно взять произвольные постоянные.

Итак, из (11) получаем, что произвольное решение уравнения (1) представляется в виде линейной комбинации $2n$ линейно независимых функционалов, указанных в условиях теоремы. Тем самым теорема доказана.

Приношу благодарность профессору Г. Е. Шилову за ценные советы и постоянное внимание к настоящей работе.

ЛИТЕРАТУРА

1. Ф. С. Алиев. Формулы дифференцирования некоторых обобщенных функций. Печатается в СиЖК.
2. Ф. С. Алиев. Фундаментальная система решений уравнения Эйлера и обобщенных функциях. Печатается в вестнике МГУ.
3. И. М. Гель-

фанд и Г. Е. Шилов. Обобщенные функции и действия над ними. 1959. 4.
В. В. Степанов. Курс обыкновенных дифференциальных уравнений. 1958.

Институт математики

Поступило 17. V 1963

Ф. С. Элиев

Үмумиләшмиш функцијалар сијфиндә Ејлер тәнлијинин үмуми һәлли

ХУЛАСӘ

Мәгаләдә үмумиләшмиш функцијалар фәзасында (1) тәнлијинин үмуми һәлли гурулур. Классик һалдан фәрғли олараг (1) тәнлијинин K^1 фәзасында $2n$ хәттинин асылы олмајан һәлли верилир, (1) тәнлијинин үмуми һәлли (11) дүстүру илә ифадә олунур.

ГЕОЛОГИЯ НЕФТЯНЫХ МЕСТОРОЖДЕНИЙ

Я. А. ГАДЖИЕВ

ИСТОРИЯ РАЗВИТИЯ СКЛАДКИ О. ЖИЛОЙ В ПЛИОЦЕНЕ

(Представлено академиком АН Азербайджанской ССР М. В. Абрамовичем)

Остров Жилой расположен в 20—25 км к юго-востоку от о. Артема и является одним из крупных островов Апшеронского архипелага.

По данным глубокого бурения о. Жилой представляет собой крупную антиклинальную складку протяженностью около 25 км, простирающуюся в северо-западном—юго-восточном направлении. Складка осложнена надвигом юго-западного крыла на северо-восточное. Поверхность надвига падает на юго-запад под углом 50° и меньше. Амплитуда вертикального смещения доходит до 575 м. В результате складка разделена на два крупных блока.

Одним из таких крупных блоков является юго-западное крыло, в присводовой части которого обнажаются отложения диатомовой свиты с узкой полосой выходов доломитизированных мергелей. В направлении от ядра к периферии юго-западного блока, последовательно обнажаются: диатомовые слои, понтический ярус и свиты продуктивной толщи. На далеких крыльях обнажаются акчагыльский и апшеронский ярусы.

Северо-восточный блок сложен породами продуктивной толщи. В результате надвига свод складки оказался разорванным под углом к оси и перемещенным на северо-восток.

Надвиг охватил весь разрез продуктивной толщи.

Надвиг является длительно развивающимся нарушением. Для него характерно увеличение амплитуды с глубиной, а также увеличение мощности осадков на опущенных крыльях вследствие роста складки одновременно с осадконакоплением (рисунок).

Для прослеживания истории развития складки о. Жилой за время плиоцена нами построены серии палеопрофилей вкрест простирации складки.

Ко времени отложения калинской свиты, которая представлена глинами с тонкими прослойками тонкозернистых песков, уже существовала псимметрическая понтическая складка с разрывом на своде (рисунок а).

Наличие складки подтверждается большой разностью в отложениях КаС северо-восточного крыла, мощность которого значительно

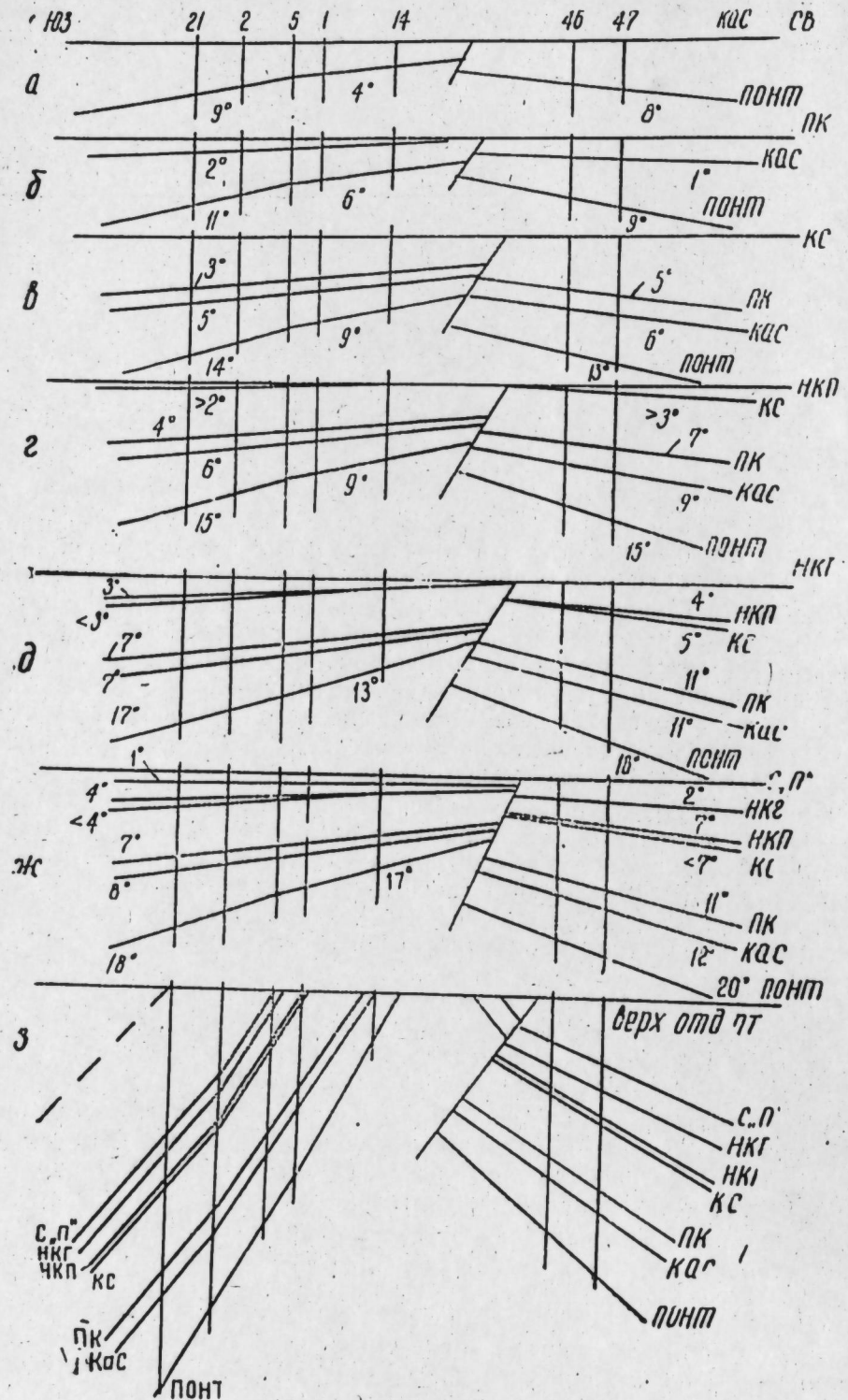


Рис.

больше (примерно 100–110 м, см. рис. 1), чем на юго-западном крыле. Складка имела крутное падение на юго-западном и северо-восточном крыле ($8-9^\circ$) и сравнительно пологое (4°) в районе скв. № 1, 5 и 14 (рисунок).

Мощность отложений северо-восточного крыла на 100 м больше юго-западного. Эта разница глубин залегания кровли пойта на крыльях складки была обусловлена подъемом юго-западного крыла по разрыву с вертикальной амплитудой—43 м.

В период отложения подкирмакинской свиты с мощностью в среднем 90 м, представленной средне-крупнозернистыми, реже мелкозернистыми песками с включениями черного угловатого гравия и прослоями песчаников, складка претерпела значительное изменение (рисунок б).

Как можно судить по палеопрофилю, подъем юго-западного крыла был настолько интенсивным, что вертикальная амплитуда смещения достигла 88 м. На интенсивное поднятие юго-западного крыла указывает также отложение здесь меньшего количества осадков (65 м) при увеличении мощности на северо-востоке до 116 м. Это говорит о том, что развитие складки происходило в процессе осадконакопления.

Интенсивное поднятие юго-западного блока, начавшееся еще до „продуктивного века“ продолжалось во время отложения (см. рисунок б) 260 м кирмакинской свиты, выраженной частым чередованием тонко-, реже мелкозернистых песков и серых песчанистых глин с прослоями песчаников. Неравномерное отложение осадков оказало значительное влияние на распределение мощности КС. В краевых частях складки мощность кирмакинской свиты на 100–110 м больше (скв. №№ 21, 5, 4, 2), чем в присводовых (рисунок). Как видно из палеопрофилей, углы падения на крыльях увеличились с 11° до 14 и с $9-13^\circ$ соответственно на юго-западном и северо-восточном крыльях. По кровле пойта надвиг увеличил свою амплитуду с 121 м до 155 м (см. рисунок б).

За время отложения надкирмакинской песчаной свиты (мощностью 25–30 м), представленной крупно- и среднезернистыми песками, чередующимися с редкими прослоями песчаников, подъем складки был невелик. Разница мощности отложений между приподнятым юго-западным крылом и опущенным северо-восточным составляет 15 м. Амплитуда надвига увеличилась на 16 м (см. рисунок б).

Значительные дислокации произошли к моменту отложения 135 м надкирмакинской глинистой свиты, которая выражена преимущественно серыми, реже бурыми глинами и тонкими прослоями тонкозернистых песков в нижней части.

В целом за период накопления НКГ произошли интенсивные подвижки по нарушению, что обусловило еще больший подъем юго-западного крыла. Амплитуда смещения по палеопрофилю составляет по кровле ПК—148, а по кровле КаС—230 м.

Суммарная же вертикальная амплитуда надвига за счет движений, происходящих в течение отложений всего нижнего отдела продуктивной толщи равна 252 м.

К концу отложения нижнего отдела продуктивной толщи приблизительный подъем складки о. Жилой составлял 90 м (табл. 1).

За время отложения свиты „перерыва“ продуктивной толщи в строении складки произошли также значительные изменения. Наблюдается разница в мощности этой свиты в пределах 30–35 м (см. рисунок ж), кроме того, налегание на глинистые свиты песчаной свиты указывает на более интенсивные движения на рубеже свиты „перерыва“ и НКГ.

К этому времени отмечается значительные подвижки по надвигу. Вертикальный прирост по кровле ПК составил 63 м, по кровле понта — 68 м.

За время осадконакопления верхнего отдела продуктивной толщи акчагыльского яруса и ашеронского произошел мощный подъем юго-западного крыла. Эти отложения в полной мощности известны лишь на далеких крыльях и юго-восточной периклинали.

Таблица 1

	Мощность на крыльях	Мощность на своде	Приблизительный подъем	Относит. скорость, %	Нараст. подъем
Балаханская свита	544	462	82	15	578
Свита „перерыва“	89	62	27	30	496
НКГ свита	180	90	90	50	469
НКП свита	35	20	15	43	379
КС	340	240	100	29	364
ПК свита	120	60	60	50	264
КаC	300	150	150	50	204
Понт	54	0	54	100	54

В результате интенсивного подъема юго-западного крыла, начиная со времени отложения подкирмакинской свиты, ко времени НКП в сводовой части складки (р-н скв. № 14) осадконакопление прекратилось. При дальнейшем росте складки произошел ее размыт до диатомовых слоев с обнажением на поверхности полного разреза продуктивной толщи. Следует отметить, что подъем юго-западного крыла имел место еще и в конце отложений понт, о чем свидетельствует мощность продуктивной толщи северо-восточного крыла, которая значительно меньше по сравнению с мощностью юго-западного крыла.

Таблица 2
Изменение углов наклона кровли понт
на крыльях складки

	Юго-западное крыло, °	Северо-восточное крыло, °
КаC	4—9	8
ПК свита	6—11	9
КС	9—14	13
НКП свита	9—15	15
НКГ свита	13—17	18
Свита „перерыва“	15—18	20

Изменение высот подъема (табл. 1) и углов наклона кровли понт на крыльях складки (табл. 2) указывает на характер развития складки о. Жилой.

Как видно из табл. 2 углы падения на крыльях складки увеличиваются по мере развития складки.

Этот процесс сопровождался увеличением песчанистости и уменьшением мощности тех или иных отложений на своде. В соответствии с указанной закономерностью происходило изменение высот складки с глубиной и во времени (табл. 1).

Подсчеты скорости роста складки производились из продолжительности каждого седиментационного ритма продуктивной толщи, равной 600 тыс. лет [2].

Складка о. Жилой развивалась многофазно в процессе осадконакопления продуктивной толщи со средней скоростью примерно 1,75 см в столетие, что выразилось постепенным увеличением высоты складки.

Из вышеизложенного вытекает, что складка развивалась прерывисто-непрерывно в процессе седиментации. Согласно с темпом развития складки о. Жилой, развивалось и дизъюнктивное нарушение. Неравномерность развития складки отражалась на характере изменения углов падения, высоте и мощности отложений.

ЛИТЕРАТУРА

- Горин В. А. Продуктивная толща Ашеронского п-ва. Азнефтегиздат, 1939.
- Самедов Ф. И. Нефтяные камни. Азернефшр, 1959.
- Хани В. Е. Геотектоническое развитие юго-восточного Кавказа. Азнефтегиздат, 1950.

Институт геологии

Поступило 17. VII 1963

Ж. А. Ыачыев

Жилој адасы гырышығынын Плиосен дөврүндә инишаф тарихи

ХУЛАСӘ

Мәгәләдә галынлыглар вә лиофасиал хәритәләр әсасында гурулмуш палеопрофилләрә көрә Жилој адасы гырышығынын Плиосен дөврүндәки инишаф тарихи верилир.

Палеопрофилләрдән көрүнүр ки, гырышығын чәнуб-гәрб ганадынын инишафы чох сүр'этли олмушудур. Белә ки, гымакталы дөврүндән башлајараг, чөкүнтуләр јујулмаға башламышдыр. Гырышығын сонракы инишафында о, диатом чөкүнтуләринә гәдәр јујулмуш вә Мәңсүлдар гатын бүтүн кәсилишини јер үзәринә чыхармышдыр.

Гырышығын һүндүрлүүнүн вә Понтун таваинын јатма бучачынын ганадларында дәжишмәси Жилој адасы гырышығынын инишафыны характеризә едир.

Жилој адасы гырышығы Плиосен дөврүндә чөкмә шәрәнтиндә арасыкәсилмәз инишафла әлагәдар олараг позғунлуг хәтдә инишаф етмишdir.

ХИМИЯ

Ю. Г. МАМЕДАЛИЕВ, С. М. АЛИЕВ, Г. М. МАМЕДАЛИЕВ,
А. А. САРКИСЯН, М. А. АГАЕВА

**КАТИОННАЯ ПОЛИМЕРИЗАЦИЯ МЕТИЛИРОВАННЫХ
В ЯДРЕ СТИРОЛОВ, α -МЕТИЛСТИРОЛОВ
И ВИНИЛИЗОПРОПЕНИЛБЕНЗОЛОВ В ПРИСУТСТВИИ TiCl₄**

Одним из актуальных вопросов современной химии высокополимеров является изучение зависимости реакционной способности мономеров от их химического строения. В этом отношении замещенные стиролы служат удачным объектом для исследования влияния количества и природы заместителей на их способность полимеризоваться в различных катализитических системах.

В периодической литературе имеется ряд работ, посвященных изучению влияния алкильных, галоидных, алкокси-, амино-, нитро-, CN-групп, а также и других заместителей на радикальную полимеризацию стирола и на свойства получаемых полимеров [1—21]. Было показано, что на скорость полимеризации замещенных в ядре стиролов существенное влияние оказывает как индукционный эффект, так и стерические препятствия, обусловленные объемом, природой, числом и расположением заместителей у бензольного кольца. Попытки изучить влияние заместителей, расположенных непосредственно у винильной группы или находящихся одновременно у винильной группы и бензольного ядра на радикальную полимеризацию алкениларomaticих мономеров не дали положительных результатов из-за сильной дезактивации винильной группы вследствие наличия заместителя у двойной связи. По-видимому, это является одной из причин, послужившей крайне недостаточной изученности замещенных в ядре α -метилстиролов. Между тем, саггитальное изучение полимеризации замещенных в ядре стиролов и α -метилстиролов, позволило бы выяснить влияние заместителей, расположенных одновременно в α -положении и у бензольного кольца на скорость полимеризации и свойства полимеров алкениларomaticих мономеров.

С этой целью была изучена катионная полимеризация стирола, α -метилстирола их метилированных в ядре производных и винилизопропенилбензола, в присутствии четыреххлористого титана.

Основные результаты этих исследований приводятся в настоящем сообщении.

ЭКСПЕРИМЕНТАЛЬНАЯ ЧАСТЬ

Исходные мономеры были получены гетерогенно-парофазным алкилированием бензола, толуола, ксиолов и этилбензола этиленом и пропиленом в присутствии синтетических алюмосиликатов с последующим дегидрированием алкилпродуктов в "кипящем" слое окисных катализаторов. Характеристика алкенилароматических мономеров представлена в табл. 1.

Таблица 1

Мономеры	Температура кипения, °C	n_D^{20}	d_4^{20}	Изомерный состав, %						
				1,2	1,3	1,4	1,2,4	1,3,5	1,2,3	
Стирол	45/20 м.м	1,5160	0,9060	—	—	—	—	—	—	
Винилтолуолы	61—71/20 м.м	1,5418	0,9015	30	50	20	—	—	—	
Винилортоксилолы	85—90/20 м.м	1,5450	0,9052	—	—	—	70	20	10	
Винилметаксилолы	78—83/20 м.м	1,5400	0,9003	—	—	—	65	35	—	
Винилпараксилолы	80—85/20 м.м	1,5390	0,9056	—	—	—	80	20	—	
α -метилстирол	59/20 м.м	1,5349	0,9080	—	—	—	—	—	—	
Изопропенилтолуолы	88—93/20 м.м	1,5300	0,9033	10	60	30	—	—	—	
Изопропенилметаксилолы	202—210	1,5270	0,8916	—	—	—	60	40	—	
Изопропенилпараксилолы	82—90/20 м.м	1,5266	0,8912	—	—	—	80	20	—	
Винилизопропенилбензолы	100—115/20	1,5512	—	15	60	25	—	—	—	
Смесь изопропилстирола+этил α -метилстирола	80—95/20 м.м	1,5280	—	10	65	25	—	—	—	

В работе были использованы также и ортovинилтолуол, полученный препаративным путем, 1-фенил, бутен-2 и его метилированные в ядре производные*.

Полимеризация алкенилароматических мономеров проводилась в растворе гептана при температуре—20°C и молярном соотношении мономер: растворитель: $TiCl_4$ —1 : 1 : 0,00046. Полученные данные представлены в табл. 2, 3, 4, 5.

Таблица 2

Катионная полимеризация стирола и α -метилстирола

Время, мин.	С т и р о л		α -метилстирол		
	Выход, %	Температура плавления, °C	Выход, %	Температура плавления, °C	[η]
1	20,6	92—97	6,26	130—135	0,080
3	68,0	86—91	17,70	110—115	0,090
5	75,0	84—89	28,60	110—115	0,098
15	86,0	79—84	46,70	87—92	0,100
30	93,0	74—79	54,60	76—81	0,100
45	96,0	71—76	54,90	75—80	0,100
60	98,0	70—75	55,30	70—75	0,110
90	100	68—73	55,80	—	0,110
120	100	67—72	—	—	—
150	100	67—72	—	—	—
180	100	66—71	—	—	—

* Арилбутины были синтезированы алкилированием бензола, толуола и ксилона бутидисеном в присутствии H_2SO_4 в лаборатории галоидирования ИНХП и лично представлены Гусейновым и Мишиевым.

Таблица 3

Катионная полимеризация винилтолуолов

Время, мин.	Ортovинилтолуол		Смесь 3-х изомеров винилтолуола		
	Выход, %	Температура плавления, °C	Выход, %	Температура плавления, °C	[η]
1	—	—	24,4	60—65	0,140
3	42,5	74—79	—	—	—
5	57,2	73—78	65,0	60—65	0,148
15	75,0	71—76	83,0	60—65	0,156
30	77,0	69—74	—	—	—
45	79,8	68—73	—	—	—
60	85,0	65—70	82,3	59—64	0,158
90	88,5	63—68	89,5	58—63	—

Таблица 4

Катионная полимеризация винилксилолов

Время, мин.	Винилортоксилолы			Винилметаксилолы			Винилиарксилолы	
	Выход, %	Температура плавления, °C	[η]	Выход, %	Температура плавления, °C	[η]	Выход, %	Температура плавления, °C
1	57,70	83—88	0,070	5,9	—	—	11,85	—
5	70,10	80—85	0,074	13,8	80—85	0,098	17,12	87—92
15	76,30	79—84	0,074	23,7	77—82	0,100	24,00	86—91
30	85,90	75—80	0,080	29,1	69—74	0,110	29,75	84—89
45	83,41	75—80	0,080	33,9	63—68	0,106	32,50	81—86
60	84,70	70—75	0,080	38,6	60—65	0,108	34,60	80—85
90	89,40	63—73	—	39,5	60—65	0,110	34,20	72—77

Таблица 5

Катионная полимеризация метилированных в ядре α -метилстиролов, винилизопропенилбензолов и смеси изопропилстиролов+этил α -метилстиролов

Время, мин.	Изопропенилтолуолы			Изопропенилметаксилолы			Смесь изопропилстирола+этил α -метилстирола			Винилизопропенилбензолы	
	Выход, %	Температура плавления, °C	[η]	Выход, %	Температура плавления, °C	[η]	Выход, %	Температура плавления, °C	[η]	Выход, %	Температура начала разлож.
1	5,72	70—75	—	2,1	43,4	83—88	0,070	28,1	410—430	—	—
5	10,90	—	0,106	—	46,7	81—86	0,083	59,2	—	—	—
15	11,35	—	0,120	6,3	51,5	80—85	0,085	60,2	—	—	—
30	22,30	59—64	0,120	—	52,6	78—83	0,104	63,1	—	—	—
45	—	—	—	11,3	54,8	77—82	0,106	64,7	—	—	—
60	24,40	52—57	0,145	14,6	55,0	77—82	0,106	65,0	—	—	—
90	26,20	—	0,152	18,6	59,0	75—80	0,106	—	—	—	—

В принятых условиях стирол полимеризуется полностью. Конверсия винилтолуолов и винилортоксилолов в течение 1,5 ч достигает 90%, винилметаксилолов—40% и винилпараксилолов—34%. Полученные полимеры характеризуются температурой плавления 60—80°C и молекулярным весом 10 000—20 000. Катионная полимеризация α -метилстирола в течение 1 мин, приводит к образованию полимера с температурой плавления 130—135° и молекулярным весом 8000.

С увеличением продолжительности полимеризации выход и молекулярный вес полимера растет и после 1,5 ч составляет 56% и 13 000. Температура плавления полимера при этом падает до 70–75°C. Изопропилентолуолы и изопропенилметаксилолы полимеризуются значительно медленнее. Конверсия их при 1,5 ч соответственно составляет 26 и 19%. Полимеризация изопропенилпараксилола проходила лишь с образованием следов низкомолекулярного полимера.

Полимеризация смеси изопропилстиролов и этил α -метилстиролов также приводит к образованию 59% полимеров с молекулярным весом 12 000 и температурой плавления 75–80°C.

Представляло интерес выявление относительной реакционной способности винильной и изопропенильной групп, расположенных непосредственно у одного и того же бензольного кольца. Катионная полимеризация винилизопропенилбензола в течение 1 ч приводит к образованию 65% нерастворимого в органических растворителях полимера с температурой разложения 410–430°C. Судя по полученным данным, в процессе катионной полимеризации винилизопропенилбензола участвует как винильная, так и изопропенильная группы с образованием трехмерной структуры, обусловливающей неплавкость и нерастворимость полимеров.

Кинетика катионной полимеризации стирола, α -метилстирола и их метилированных в ядре производных представлены на рисунке. Как видно, относительная скорость полимеризации падает в ряду: а) стирол > винилтолуолы > винилортоксилолы > винилметаксилолы > винилпараксилолы; б) α -метилстирол > изопропенилтолуолы > изопропенилметаксилолы > изопропенилпараксилолы.

Таким образом, по мере увеличения числа заместителей у бензольного кольца скорость полимеризации стирола и α -метилстирола снижается. Скорость полимеризации мономера сильно падает, если из двух расположенных у бензольного кольца метильных групп одна находится в орто-положении относительно винильной или изопропенильной группы. Пространственные затруднения, связанные с числом и расположением метильных групп, еще более видны при сравнении

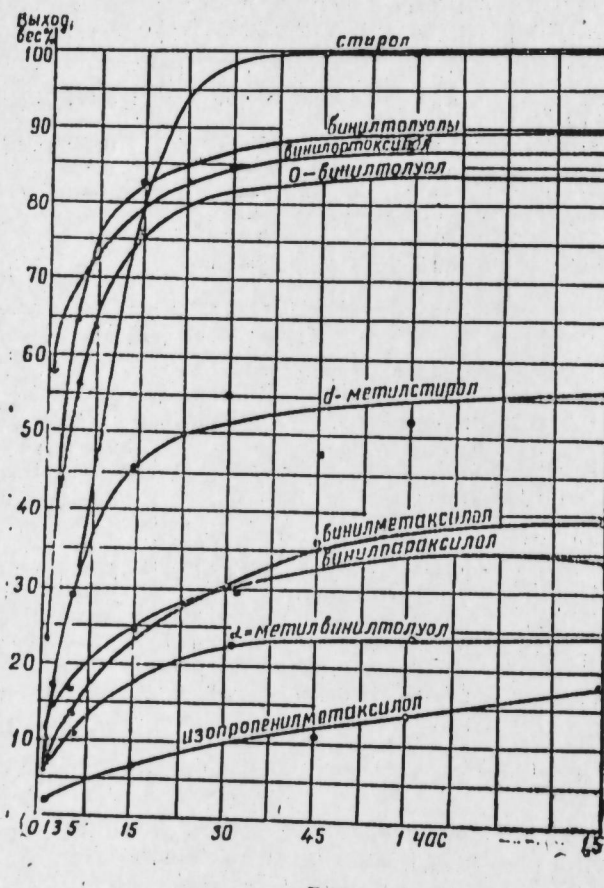


Рис.

ложения 410–430°C. Судя по полученным данным, в процессе катионной полимеризации винилизопропенилбензола участвует как винильная, так и изопропенильная группы с образованием трехмерной структуры, обусловливающей неплавкость и нерастворимость полимеров.

скорости полимеризации метилированных в ядре α -метилстиролов с соответствующими метилированными в ядре стиролами.

Наличие метильной группы в α -положении создает значительные стерические препятствия, приводящие к заметному падению скорости полимеризации при переходе от стирола к α -метилстиролу. Однако винильная группа при этом еще сохраняет способность полимеризоваться по ионному механизму, хотя уже исчезает способность полимеризоваться по радикальному механизму. С появлением же метильных групп одновременно, как в α -положении, так и у бензольного кольца фактор стерического препятствия приобретает решающую роль и при наличии одной из двух метильных групп в орто-положении скорость полимеризации метилированных в ядре α -метилстиролов снижается до минимума.

Нами была изучена также и катионная полимеризация 1-фенил, бутена-2 и его метилированных в ядре производных. Полученные данные показали, что при наличии изолированной двойной связи, алкинил ароматический мономер теряет способность к катионной полимеризации и сополимеризации с акрилонитрилом в присутствии инициаторов.

Выводы

1. Изучена катионная полимеризация метилированных в ядре стиролов, α -метилстиролов, 1-арил-бутенов-2 и винилизопропенилбензолов в растворе гептана в присутствии четыреххлористого титана.

2. Установлено, что на скорость полимеризации наряду с другими факторами существенное влияние оказывает число и положение заместителей относительно винильной группы: α -метилстиролы полимеризуются медленнее, чем соответствующие стиролы: 1-арил-бутены-2 вовсе не полимеризуются. По мере увеличения числа метильных групп у бензольного ядра скорость полимеризации стиролов и α -метилстиролов падает. Наличие одной из двух метильных групп в орто-положении создает значительные стерические препятствия и снижает скорость полимеризации метилированных в ядре стиролов и α -метилстиролов.

3. В процессе катионной полимеризации винилизопропенилбензола участвуют одновременно винильная и изопропенильная группы и получаются полимеры трехмерной структуры.

ЛИТЕРАТУРА

1. Докукина А. Ф., Котон М. М., Крюкова К. Н., Минеева А. Х., Парубок В. А. ЖОХ, 1956, т. 30, № 1, 2. Запевалова Н. П., Котон М. М. ЖОХ, 1957, т. 27, стр. 21, 38–41. 3. Колесников Г. С., Коршак В. В., Кулюдин И. П. ЖОХ, 1956, № 26, 735. 4. Колесников Г. С., Погосян Г. М. Изв. АН СССР, ОХН, 1957, 227. 5. Коршак В. В. Изв. АН СССР, ОХН, 1949, 269. 6. Коршак В. В. Химия высокомолекулярных соединений. Изв. АН СССР, 1950, 180. 7. Коршак В. В., Матвеева Н. Г. Изв. АН СССР, ОХН, 1953, № 3, 542. 8. Коршак В. В., Матвеева Н. Г. Изв. АН СССР, ОХН, № 4, 1953, 751. 9. Коршак В. В., Матвеева Н. Г. Изв. АН СССР, ОХН, 1953, № 6, 1116. 10. Коршак В. В., Матвеева Н. Г. Изв. АН СССР, ОХН, 1953, № 2, 344. 11. Котон М. М. Хим. промышленность, 1961, № 6, 371. 12. Котон М. М., Митин Ю. В. ЖОХ, 1955, № 8, т. 25, 1469–1473. 13. Котон М. М., Москвина Е. П., Флоринский Ф. С. ЖОХ, 1952, т. 22, стр. 789, 749. 14. Котон М. М., Москвина Е. П., Флоринский Ф. С. ЖОХ, 21, 1951, 1847. 15. Котон М. М., Москвина Е. П., Флоринский Ф. С. Журн. приклад. химии, 1953, 26, 660. 16. Котон М. М., Смолюк Т. Г. ДАН СССР, 1955, т. 102, № 2, 17. Worsfold D. J., Bawotter S. J. Am. Chem. Soc., 1957, 79, 4817. 18. Wiley R., Smith N.

J. Am. Chem. Soc., 72, 51, 98, 1950. 19. Kamath P. M., Haas H. C. J. Polymer Science, 1957, 24, 143. 20. Marvel C., Overberger C. G. J. Am. Chem. Soc. 67, 2250, 1945. 21. Overberger C. G., Pearce E. M., Tanner D. J. Am. Chem. Soc. 1958, 80, 1761.

ИНХП им. Ю. Г. Мамедалиева

Поступило 15. VII 1963

АЗЭРБАЙЧА҆ ССР ЕЛМЛЭР АКАДЕМИЯСЫНЫН МӘРҮЗӘЛӘРИ
ДОКЛАДЫ АКАДЕМИИ НАУК АЗЕРБАЙДЖАНСКОЙ ССР

№ 1

1964

J. H. Мәммәдәлиев, С. М. Элиев, Һ. М. Мәммәдәлиев, А. А. Сәркисян,
М. А. Агаева

Бензол һәлгәснинде метил груплары олан стирол, α -метилстирол-
ларын $TiCl_4$ иштиракы илә
полимерләшdirilmәsi

ХУЛАСӘ

Мәгаләдә бензол һәлгәснинде бир, ики метил груплары олан стирол, α -метилстирол вә арилбутен мономерләринин $TiCl_4$ иштиракы илә полимерләшmәsi просеси өյрәнилmişdir.

Мүәjjән едилmişdir ki, һәлгәдә метил групларының сајы артдыгча мономерин полимерләшmә сүр'ети азалып. һәлгәдә метил груплары олан стироллара нисбәтәn α -метилстироллар даһа аз сүр'етлә полимерләшир 1-арил-2 исә полимерләшmir.

ТОМ XX

КРИСТАЛЛОХИМИЯ

К. М. МЕХТИЕВ, Х. С. МАМЕДОВ

РЕНТГЕНОГРАФИЧЕСКОЕ ИССЛЕДОВАНИЕ ФОСФОРНО-МОЛИБДЕНО-ВИСМУТОВОГО КАТАЛИЗАТОРА

(Представлено академиком АН Азербайджанской ССР М. А. Далиним)

Для получения акрилонитрила прямым синтезом из пропилена и аммиака в присутствии кислорода воздуха [3], возможность которого показана в работах [1, 5, 6], применяется фосфорно-молибдено-висмутовый катализатор.

Способ его приготовления описан в ряде патентов [2].

Для выяснения механизма каталитического действия нами проводилось систематическое рентгенографическое исследование фазового состава образцов катализатора при различных условиях проведения процесса.

Для съемок использовалась порошковая камера РКУ-114 м. Излучение медного антискатода отфильтровывалось никелевой фольгой толщиной порядка 0,005 мм.

Образцы представляли собой тонкостенные капилляры из коллоидия, заполненные порошком-катализатора. Экспозиция составляла примерно 35—40 ч (рис. 1).

Наблюдаемые значения d/n при сопоставлении с табличными значениями d/n и их окислов [4] не привели к удовлетворительному совпадению.

Отсюда следует вывод, что в процессе приготовления ФМВ-катализатора образуется не механическая смесь Mo, Ві или их окислов, а химические соединение (предположительно, висмутовая соль молибденовой кислоты).

Из литературных данных известно, что шариковый силикагель находится в аморфной фазе, это и подтверждается дебаеграммой, приведенной на рис. 2.

В дальнейшем было найдено, что ФМВ-катализатор, проработавший в процессе около 300 ч не меняет присущей ему фазы.

Кроме того, при отравлении ФМВ-катализатора на носителе в отсутствии или недостатке кислорода, катализатор содержит Ві и SiO_2 в кристаллической фазе (α -кристалллит), а без носителя Ві и Mo_2O_3 .

Были синтезированы образцы с различным содержанием Ві и Mo. Расчет дебаеграмм показал, что во всех случаях в образцах присутствовала фаза, идентичная фазе катализатора, приготовленного по патенту.

Все эти сведения позволили сделать более общий вывод, что катализитически активным для данного процесса является химическое соединение определенной структуры, и кроме того, это позволило исключить из дальнейшего рассмотрения носитель (SiO_3), который не принимает участия в катализитических актах.

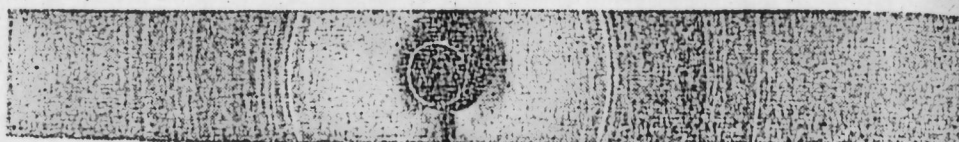


Рис. 1
Дебаеграмма свежеприготовленного катализатора на носителе

В целях дальнейшего исследования предприняты поиски небольших монокристаллов, которые были обнаружены в катализаторе, синтезированном без добавок фосфорного ангидрида.



Рис. 2
Дебаеграмма носителя, прокаленного при 450°C

Предварительно с монокристаллов была получена дебаеграмма, приведенная на рис. 3. При расчёте и сопоставлении значений была найдена структурная идентичность монокристаллов с ФМБ-катализатором.

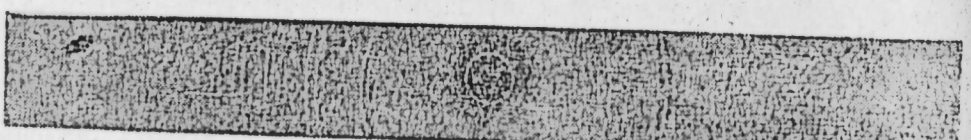


Рис. 3
Дебаеграмма, полученная с монокристаллов

Проведенный химический анализ монокристаллов дал следующие результаты: $\text{Bi}_2\text{O}_3 - 54\%$, $\text{MoO}_3 - 46\%$.

После пересчета на атомное содержание получается химическая формула $\text{Bi}_2(\text{MoO}_4)_3$, которую на данном этапе работы можно считать приемлемой.

Плотность монокристаллов определялась весами Мора-Вествала, ее среднее значение равно $3,40 \text{ г}/\text{см}^3$.

Высота и дальнейшее исследование монокристаллов проводились на камере РКОП.

Найдено, что кристаллы исследуемого соединения относятся к моноклинной системе, пространственная группа $P2_1/C$ и имеют следующие параметры элементарной ячейки:

$$a = 7,89 \text{ \AA} \quad c = 11,15 \text{ \AA} \quad \alpha = 11,70 \text{ \AA} \quad \beta = 100^\circ$$

Используя значения параметров и данные плотности подсчитано, что на элементарную ячейку приходится две молекулы.

В настоящее время проводится дальнейшее исследование структуры ФМБ-катализатора.

Образцы катализаторов были приготовлены под руководством Р. И. Шендеровой, за что приносим ей глубокую благодарность.

ЛИТЕРАТУРА

1. Брит. пат. № 709337, 19 V 1954. Пат. фирмы Distillers company limited 744011, 25. I 1956. 2. Брит. пат. № 882,552, американ. пат. № 2904580. З. Далин М. А., Лобкина В. В., Абасова Г. И., Серебряков Б. Р., Плаксунова С. Л. ДАН СССР, 1962, т 154, № 5, 4. Миркин Л. И. Справочник по рентгеноструктурному анализу поликристаллов. ГИ ФМ литературы. М., 1961.
5. Chemical week, 85, № 17, 26, 1959 6. Chemical Age, 61, № 2069, 2107, 1959.

Поступило 29.VII.1963

ВНИИОЛЕФИН и ОЗ

К. М. Меңдиев, Х. С. Мәммәдов

Фосфор-молибден-бисмут катализаторунун рентгенографик тәдгигинә даныр

ХУЛАСӘ

Мәгаләдә акрионитрилии синтез үчүн тәтбиг едилмиш фосфор-молибден-бисмут катализаторунун рентгенографик тәдгигинин иәтичеси верилмишdir.

Рентген анализи әсасында алымыш рәгемләр қөстәрир ки, ФМБ катализаторунун һазырланма процесиндә һәмин оксидләрни механики гарышығы алымыш рәгемләр кимјәви бирләшмә әмәлә қәтирир. Күман едилир ки, бу бирләшмә $\text{Bi}_2(\text{MoO}_4)_3 =$ дүр.

Сонракы тәдгигатда мүәжжән едилмишdir ки, алымыш бу кимјәви маддәнин кристаллары моноклиник системә анд олуб, элементар гәфәсәси паралел, фәза группу $P2_1/c =$ дир.

$$a = 7,89 \text{ \AA} \quad c = 11,15 \text{ \AA} \quad \alpha = 11,70 \text{ \AA} \quad \beta = 100^\circ.$$

ОРГАНИЧЕСКАЯ ХИМИЯ

Л. А. ЛЯТИФОВА, М. М. САХАРОВА

**КАТАЛИЗ НА ОРГАНИЧЕСКОМ ПОЛУПРОВОДНИКЕ, ПОЛУЧЕННОМ
НА ОСНОВЕ ПОЛИАКРИЛНИТРИЛА**

(Представлено академиком АН Азербайджанской ССР М. А. Далинам)

В последнее время в связи с успехами синтеза полимеров с системой сопряженных двойных связей, обнаруживающих полупроводниковые свойства, внимание исследователей привлечено к изучению каталитической активности органических полупроводников [1—6, 8, 9].

Результаты исследований катализа на неорганических полупроводниках [7] позволяют надеяться, что среди органических полупроводников могут быть найдены высокоактивные и селективные катализаторы реакций окислительно-восстановительного типа. В настоящем сообщении изложены результаты исследования каталитической активности органического полупроводника, полученного на основе полиакрилнитрила, в который до его термической обработки было введено 0,14 % Ni в виде азотокислой соли (ПАН-3). Электропроводность образца, измеренная при комнатной температуре, равна $5 \cdot 10^7 \text{ ом}^{-1} \text{ ом}^{-1}$ *. Удельная поверхность образца, измеренная объемным способом по криptonу, составляла $1,3 \text{ м}^2/\text{г}$.

Испытание каталитической активности образца по отношению к разложению муравьиной кислоты и изопропилового спирта проводилось в установке, сходной с установкой Шваба и Теофилидеса [10]. Как следует из данных, приведенных в таблице, исследуемый образец обнаруживает заметную каталитическую активность по отношению к реакции разложения муравьиной кислоты (таблица).

Общее время испытания каталитической активности полимера составило около 24 ч.

Вначале наблюдалось некоторое возрастание каталитической активности с увеличением времени испытания (опыты 1, 2, 3), после трехкратного повторения испытания каталитической активности исследуемого образца, по-видимому, было достигнуто стационарное состояние катализатора (опыты 3, 4).

Из величины соотношения количеств CO_2 и CO в газе, выделяющихся при разложении кислоты, следует, что дегидрирование и дегид-

* Исследование проводил В. С. Серебряников.

ратация на исследованном образце протекают с близкими скоростями. Величина кажущейся энергии активации реакции разложения кислоты может быть грубо определена из зависимости логарифма скорости реакции от обратной температуры.

В опытах 3,4 (рисунок) рассчитанная этим способом энергия активации оказалась равной 15,2 и 15,8 ккал/моль.

В интервале температур 287—381° исследованный образец не оказывал заметного катализитического действия на разложение изопропилового спирта.

Следует отметить, что при тренировке образца при 400°* перед испытанием его активности по отношению к разложению изопропилового спирта имело место частичное разложение полимера, что могло существенно изменить как структуру, так и электрофизические свойства полимера.

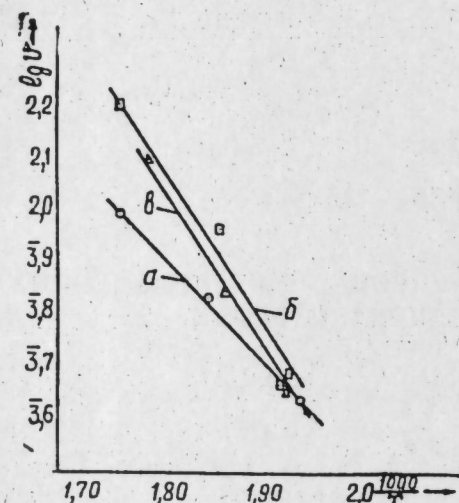
Это не позволяет сделать определенного вывода о катализитических свойствах полимера по отношению к реакции разложения изопропилового спирта. Из сопоставления полученных результатов с результатами ранее опубликованной работы [3] следует, что ПАН-3 несколько уступает как по своей катализитической активности, так и по селективности по отношению к реакции дегидрирования кислоты поликарбонитрильным полупроводникам, не содержащим металла и содержащим медь.

Авторы выражают благодарность чл.-корр. АН СССР С. З. Рогинскому и д-ру хим. наук Б. Б. Кренцелю, в лабораториях которых проводилась данная работа.

Результаты опытов по разложению муравьиной кислоты над ПАН-3

№ опыта	Температура, °C	Скорость разложения кислоты, ммол/сек. $\mu^2 \cdot 10^{-2}$	Соотношение $\text{CO}_2 : \text{CO}$
1	267	0,70	0,78
2-1	242	0,44	1,05
2-2	267	0,70	
2-3	285	1,1	
3-1	245	0,50	1,09
3-2	265	0,94	
3-3	285	1,6	
3-4	247	0,47	
4-1	245	0,46	1,4
4-2	262	0,71	
4-3	283	1,3	

* Тренировка образца перед испытанием его катализитической активности по отношению к разложению муравьиной кислоты проводилась при 300°C.



Зависимость скорости разложения муравьиной кислоты над ПАН-3 от температуры:
a—опыт 2; b—опыт 3; c—опыт 4;
U—ммоль/ч·м².

рилнитрильным полупроводникам, не содержащим металла и содержащим медь.

Авторы выражают благодарность чл.-корр. АН СССР С. З. Рогинскому и д-ру хим. наук Б. Б. Кренцелю, в лабораториях которых проводилась данная работа.

ЛИТЕРАТУРА

- Берлин А. А., Блюменфельд Л. А., Семенов Н. Н. "Изв. АН СССР". 1959, ОХН, № 9. 2. Гейдерих М. А., Давыдов Б. Э. и др. Международный симпозиум по макромолек. химии 14—18 июля 1960 г., Сб. докл. и реф. Секция 3, 1960.
- Докукина Е. Е., Рогинский С. З. и др. "ДАН СССР", 1961, № 4. 4. Кейер Н. П., Боресков Г. К. и др. Кинетика и катализ. 11, № 4. 1961. 5. Несмеянов А. Н., Рубинштейн А. М. и др. "ДАН СССР", 1960, 135, № 3. 6. Рогинский С. З. Хим. наука и пром., № 2. 1957. 7. Рогинский С. З. Проблемы кинетики и катализа, 6, 1949. 8. Семенов Н. Н. Хим. и технолог. полимеров, № 7—8, 1960.
- Топчиев А. В., Гейдерих М. А. и др. АН СССР, 128, 312, 1959.
- Schwab G. M., Theophilides N. J. phys. Chem., 50, 1943.

ИХФ АН СССР

Поступило 5. XI 1962

Л. А. Ләтирова, М. М. Сахаров

Поликарбонитрил әсасында һазырланмыш үзви јарымкечиричиләр үзәриндә катализ

ХУЛАСӘ

Сон заманлар тәркибиндә кәркинләшмиш икигат работә олан мономерләр әсасында алымыш полимерләрин инкишафы илә әлагәдар олараг јарымкечиричиләр хасијәти мушаһидә едилмишdir. Буна көре дә тәдгигатчыларын фикрини үзви јарымкечиричиләрин катализтик активлијинин өјрәнилмәси چәлб етмишdir.

Мәгаләдә тәркибиндә Ni металы олан поликарбонитрил әсасында һазырланмыш үзви јарымкечиричинин катализтик активлијинин өјрәнилмәси тәдгигатының нәтичәси верилмишdir. Белә ки, гарышга туршусунун көтүрдүймүз нүмүнә үзәриндә парчаланма реаксијасының тәдгигаты һазырланмыш үзви јарымкечиричинин лазыми гәдәр катализтик актив олдуғуны көстәрир.

Алымыш газ мәһсуллары ичәрисиндә Ca вә Co мигдарларынын нисбәтләри, деңидрокеңләшмә вә деңидратасија реаксијаларының сүр'етинин бир-биринә жахын алымасы мүәјжән едилмишdir.

287—381° температур интервалында изопропил спиртинин парчаланма реаксијасының өјрәнилмәси нәтичәсендә һазырланмыш үзви јарымкечиричинин катализтик тә'сириниң кифајәтедици дәрәчәдә олмадығыны гејд етмәк лазымдыр.

Апардығымыз тәчрүбеләрдән алыман нәтичәләрин јекуну мәгаләдәки чәдвәл вә әјриде верилмишdir.

А. Р. АХУНДОВ, Ф. А. ГЕЗАЛОВ

К ГРАФО-АНАЛИТИЧЕСКОМУ МЕТОДУ ОПРЕДЕЛЕНИЯ
СМЕСИ ДВУХ ВОД

(Представлено Академиком АН Азербайджанской ССР
Ш. Ф. Мехтиевым)

Определение и отожествление сложных смесей вод является одним из важнейших вопросов при изучении вод нефтяных месторождений. Вопрос этот приобретает первостепенное значение, особенно в связи с применением вторичных методов добычи, когда искусственно введенная в пласт вода, смешиваясь с пластовой водой, изменяет первоначальный химический состав последней, т. е. когда является очевидным факт наличия в пласте смеси вод.

Изучению смесей вод посвящены работы [1, 2, 3, 4] и др. Вопрос этот чрезвычайно сложен потому, что, во-первых, параметры смешанной воды зависят от состава, во-вторых, от концентрации, в третьих, от относительных объемов смешиваемых вод.

Смешиваемые воды, а также смешанная вода в условиях нефтяного пласта могут находиться в различных стадиях изменения минерализации, сульфатности и содержания карбонатов щелочных земель.

Нами была поставлена задача — найти наиболее удобный вариант графика и попытаться вывести математическое выражение для определения показателей смешанной воды. Такая постановка вопроса вызвана тем, что применение одних графических методов без сочетания их с аналитическими может оказаться недостаточно приемлемым для определения смешения двух вод, получающихся при закачке в пласт вод для поддержания пластового давления.

Для этих целей наиболее подходящим будет, если примем, что все ионы, присутствующие в смешанных водах остаются в растворе в пропорциональных количествах без учета процесса осаждения, обмена основаниями и т. д., могущих происходить в пластовых условиях при прохождении вод через породы-коллекторы.

В дальнейшем природные воды будут рассматриваться как равновесные химические системы, которые могут менять свой состав в случае смешения с другими водами.

Ряд авторов [1, 2, 4] для сопоставления вод выражают химические составы их в различных формах. Одни из них выражают состав вод в процент-эквивалентах, другие — в весовых единицах, а третий — в миллиграмм-эквивалентах.

На наш взгляд, наиболее подходящей формой выражения состава смешивающихся и смешанной воды, является эквивалентная форма выражения анализов, позволяющая учитывать и величину минерализации. Поэтому в последующем химический состав сопоставляемых вод будем выражать в грамм-эквивалентах на 100 г воды. Остановимся на решении вопроса о смешивании двух вод аналитическим способом.

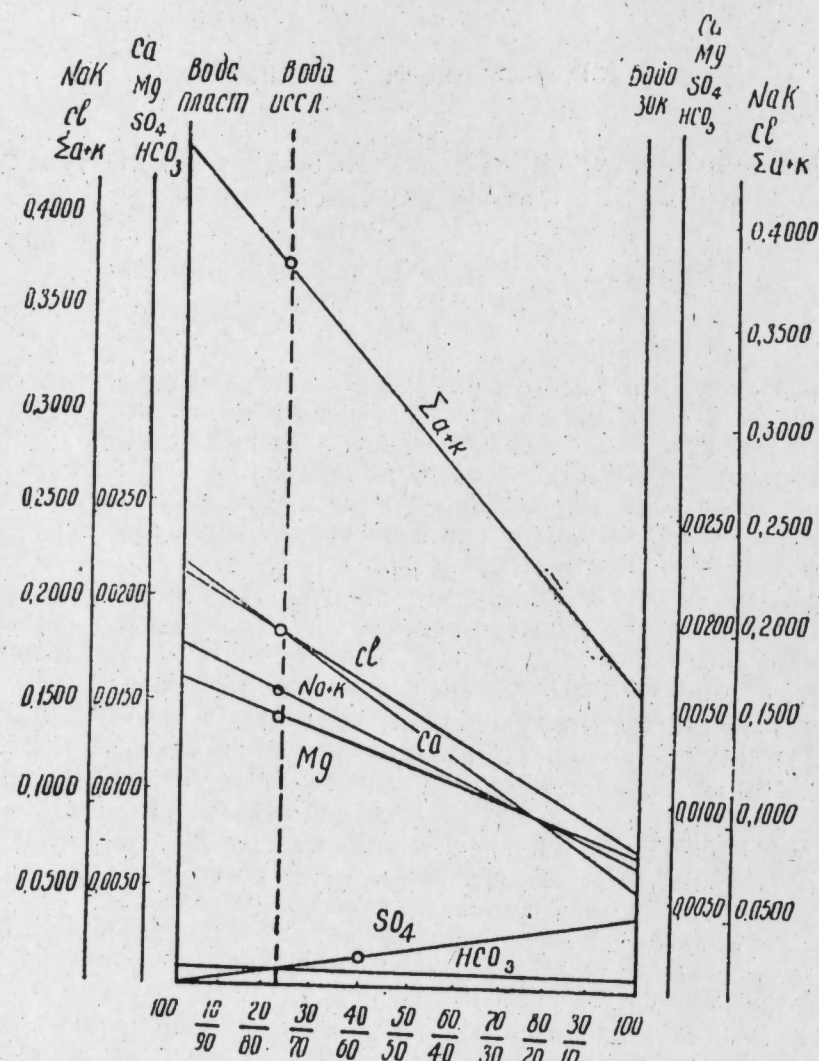


Рис.

Как известно [3], в случае смешения двух растворов, в различных пропорциях, содержание химических компонентов в полученных смесях является линейной функцией от концентрации ионов в смешиваемых растворах.

Пусть имеем воду с произвольным химическим составом, содержащую A г-экв, какого-нибудь компонента (например, Cl), другую воду с B г-экв этого же компонента и, наконец, воду, представляющую собой смесь первых двух вод с C г-экв, данного компонента и соотношением в ней объемов смешиваемых вод, соответственно равных X первой воды и $(100-X)$ второй воды, выраженных в процентах.

Тогда:

$$C = \frac{X}{100}A + \frac{100-X}{100}B = \frac{X}{100}A + B - \frac{X}{100}B$$

$$C = B + \frac{X(A-B)}{100}$$

Отсюда можно найти X :

$$X = \frac{(C-B) \cdot 100}{A-B} \quad (1)$$

Формула (1) позволяет, зная содержание любого химического компонента в двух различных смешиваемых водах и в смеси, образованной этими водами, рассчитать в каких пропорциях они смешаны.

Подставив в формулу (1) величины для других компонентов, можно найти соотношение объемов смешиваемых вод в их смеси по каждой из них. Очевидно, все значения X для смеси будут равны между собой. Но существующие методы определения химического состава вод не могут дать большой точности определения и поэтому между значениями X для различных компонентов смеси будет наблюдаться некоторая небольшая разница.

Если будем иметь для одного из компонентов значительное отклонение для величины X , то эта величина должна отбрасываться как результат неверного химического анализа или какого-либо физико-химического процесса, происходящего в пласте. Для практических целей вполне достаточно взять среднее значение между X для различных компонентов смеси:

$$\bar{X} = \frac{\sum_{i=1}^n x_i}{n},$$

где n — число, рассматриваемых компонентов.

Рассмотрим вышесказанное на примере вод II горизонта Балахано-Сабунчино-Раманинского месторождения. Пластовую воду из скважины № 1788 и закачиваемую в этот горизонт, осветленную воду с водоочистной установки, возьмем как смешиваемые воды, а воду из скважины № 1209 как смесь этих двух вод. Химический состав каждой из этих вод показан в таблице

Характер воды	Дата анализа	Данные хим. анализов воды в г-экв на 100 г воды						
		Na ⁺ +K ⁺	Ca	Mg	Cl	SO ₄	HCO ₃	Σ _{a+k}
Пластовая (скв. № 1788)	27. X 1961	0,1807	0,0222	0,0163	0,2189	—	0,0009	0,4390
Закачиваемая (осн.)	27. VI 1962	0,0669	0,0052	0,0069	0,0742	0,0039	0,0009	0,1560
Смешанная (скв. № 1209)	10. VI 1961	0,1587	0,0185	0,0143	0,1886	0,0018	0,0014	0,3833

Известно, что смешением двух вод с различным химическим составом может быть получена только такая третья вода с содержанием того или иного компонента, удовлетворяющее одному из следующих условий [2]

Если $A > B$, то $A > C > B$

и

Если $A \leq B$, то $A \leq C \leq B$

Величины всех компонентов (кроме HCO_3) воды из скв. № 1209 удовлетворяют одному из вышеприведенных условий, т. е. химический состав этой воды лежит в каком-то интервале между химическими составами смешиваемых вод и поэтому данная вода может быть рассмотрена как смесь первых двух вод.

Исходя из данных таблицы, установим — в каких объемах смешиваемые воды вошли в смесь? Подставив числовые значения содержания $\text{Na}+\text{K}$, в водах из таблицы в формулу 1 находим:

$$X_{\text{Na}+\text{K}} = \frac{(0,1587 - 0,0669) 100}{0,1807 - 0,0609} = 80,7\%$$

Аналогичным способом получаем значения для

$$X_{\text{Ca}} = 78,3\%$$

$$X_{\text{Mg}} = 78,7\%$$

$$X_{\text{Cl}} = 79,1\%$$

$$X_{\Sigma_{\text{at}, \text{k}}} = 80,3\%$$

Величины же HCO_3 и SO_4 выходят за диапазон изменений этих ионов в смешиваемых водах и потому их содержание не учитывается. Такое отклонение значений HCO_3 и может быть объяснено погрешностью химического анализа.

Теперь находим средние значения X :

$$\bar{X} = 79,4\%,$$

т. е. находим, что вода из скважины № 1209 является смесью воды пластовой (79,4%) и закачиваемой (20,6%) на определенную дату производства анализа смешанной воды (см. таблицу). Руководствуясь формулой (1) можно путем несложных вычислений найти не только объемы смешиваемых вод в смеси, но также, зная состав одной из смешиваемых вод и состав смеси определить состав другой смешиваемой воды, и, зная в каких объемных соотношениях смешивались воды, определить химический состав смеси этих вод.

Вопрос смешения двух вод может быть решен также и графически. Графический способ определения смеси двух вод довольно подробно рассмотрен в работах [1—4] и др. Для определения смеси вод графическим методом использован тот же пример, что и для аналитического способа определения смеси двух вод (таблица).

Для выражения состава вод была выбрана эквивалентная форма. На прямоугольном графике по оси ординат слева отложены величины компонентного состава пластовой воды, а справа — закачиваемой воды. Для ионов $\text{Na}+\text{K}$, Cl и $\Sigma_{\text{at}, \text{k}}$ взят один масштаб, а для Ca , Mg , Cl , SO_4 другой, виду того, что разница между величинами этих двух групп компонентов большая. Точки, соответствующие одноименным компонентам на левом и правом столбиках соединены прямыми линиями.

Значения химического состава для воды из скважины № 1209 находятся по вертикальной шкале, от них проводятся горизонтальные линии до пересечения с соответствующими прямыми изменения компонентов. Таким образом, получается ряд точек, соответствующих химическому составу воды из скважины № 1209. Как видно из графика все точки (кроме одной для SO_4) падают на вертикальную прямую, перпендикулярную основанию графика. Величины ионов SO_4 и HCO_3 нами не рассматриваются по причинам, указанным выше. Пересечение вертикальной прямой с основанием графика и указывает на процентное соотношение объемов пластовой и закачиваемой вод.

Для нашего примера получаем, что вода из скважины № 1209 является смесью пластовой воды (79%) и закачиваемой (21%) на определенную дату производства анализа смешанной воды. Причем, эта вода является смесью именно этих двух вод, иначе показатели химического состава определяемой воды не ложились бы на перпендикуляр к основанию графика.

Разбор примера на графике-номограмме еще раз подтверждает правильность формулы (1) для случаев простого смешивания, т. е. когда при смешивании ничего не выпадает в осадок и не выделяется в виде газа.

Таким образом, путем углубленной проработки материалов можно давно известные методы определения смешения двух растворов облечь в определенные законы, выражаемые эмпирическими формулами. В этом случае легче разобраться в причинах различных изменений вод в отдельных пластах, подвергнутых заводнению. Все это облегчает разрешение задачи определения и отожествления сложных смесей вод, весьма ценных для практических работ при проведении вторичных методов.

ЛИТЕРАТУРА

1. Желтов П. И. Номограмма для определения химического состава смеси вод Зап. Ленинград. горного института, т. XXVI, вып. II, 1952.
2. Малюров К. Л. Воды нефтяных месторождений. ОНТИ НКГП СССР, 1934.
3. Огильви А. Н. Краткий обзор геологических исследований около источника Нарзан в Кисловодске. "Изв. Геолкома", т. XXVIII, № 8.
4. Mc Kinney J. C. Identification of Mixtures of Waters from Chemical Water Analyses. Journal of Petroleum Technology, September, 1958.

Поступило 10. VII 1963

А. Р. Ахундов, Ф. А. Кезэлов

Ики мұхтәлиф су гарышығының графики-аналитик методла тә'жинниң даир

ХУЛАСӘ

Мәгалә ики мұхтәлиф су гарышығының графики-аналитик методла тә'жинни мәсәләсинин һәллинә һәср олумышшур. Бу саһәдәки ишләр иkinchi истиスマр үсулларының тәтбиги илә әлагәдар олараг даһа бөйүк әһәмияттә жүргізиледі.

Гарышдырылмыш сулары кимәви чәһәтдән мұвазинәтләшмиш системләр кими гәбул едіб, чыхарылан ријази асылылыг васитесінде гарышығының тәркибини биләрек гарышдырылан дикәр сујун кимәви

тәркибини, еләчә дә онларын һансы һәчм һисбәтләриңдә олдуғуны биләрәк һәмин суларын кимјәви тәркибини тә'жин етмәк олар.

Мәгаләдә мәсәләнин һәлли, һәмчинин, графики юлла верилмишdir ки, бу да ики мұхтәлиф су гарышынын тә'жини үчүн чыхарылмыш формулун дүзкүнлүjуну тәсдиg едир.

Ики су гарышынын аналитик, еләчә дә график үсулла тә'жининә Балаханы-Сабунчы-Рамана нефт жатағынын су вурулан II һоризонту-нун конкрет мисалында баҳылымшдыр.

ИСТОРИЯ ДРЕВНЕЙ МЕТАЛЛУРГИИ

И. Р. СЕЛИМХАНОВ

**К ИСПОЛЬЗОВАНИЮ ПЕРВЫХ МЕТАЛЛОВ В ДРЕВНОСТИ
НА ТЕРРИТОРИИ АЗЕРБАЙДЖАНА И ДАГЕСТАНА**

(Представлено академиком АН Азербайджанской ССР М. А. Кашкаев)

В лаборатории Института истории Академии наук Азербайджанской ССР, совместно с археологами республики и Дагестанского филиала АН СССР, проведены исследования изделий из металлов, остатков литья, шлака, литейных форм, обнаруженных археологическими изысканиями на территории Азербайджана и Дагестана.

В результате исследования составлена хронологическая схема последовательного знакомства и использования народами этих районов металлов и их сплавов, начиная с их первого появления.

III тыс. до н. э. знаменуется появлением изделий из металлов, фиксируемых в памятниках этой хронологии. Датировка их в основном находится в пределах III тыс. до н. э. и они отнесены археологами к эпохе энеолита.

Количественный спектральный и химические анализы металлических поделок, остатков литья, литейных форм, найденных в памятниках этой хронологии, показали, что металлические изделия изготовлены из медно-мышьяковых сплавов. Так, например, в древних предметах из Азербайджана установлено до 6% мышьяка (поселение Кюльтепе, курганы в Степанакерте и Хачбулаге).

Спектральный анализ образцов самородной меди из различных районов Кавказа показал почти полное отсутствие в них примесей мышьяка. Лишь в двух образцах из Грузии, исследованных спектрально в Тбилиси, установлено присутствие мышьяка с оценкой содержания „следы“ и „есть“. Сопоставление примесей в поделках и медных минералах показало, что пока нет доказательств, что в Азербайджане и Дагестане в древности человек впервые познакомился с самородной медью как с первым металлом.

Если предположить, что наиболее ранние металлические изделия еще не найдены, то существование медного века в прошлом для этих районов Кавказа надо считать гипотетическим. В противном случае надо полагать, что население в древности как-то миновало стадию знакомства и использования одной самородной меди и сразу приступило к приготовлению, путем плавки руд и минералов, медномышья-

ковых сплавов. Начало использования медномышьяковых сплавов было также обусловлено наличием богатых местных месторождений медных и мышьяковых минералов и познанием лучших литейных свойств этих сплавов по сравнению с чистой медью.

Наряду с поделками из медномышьяковых сплавов в памятниках III тыс. до н. э. в Азербайджане, Дагестане, обнаружены предметы из золота, серебра (Степанакерт и Хачбулаге) и свинца (холм в Кюльтене).

Следовательно, в III тыс. до н. э. населению на территории Азербайджана и Дагестана были знакомы золото, серебро, свинец и медномышьяковые сплавы.

Первая половина II тыс. до н. э. (первая века II тыс. до середины) характеризуются прежде всего появлением изделий из меднооловянных сплавов, удельный вес которых по сравнению с медномышьяковыми еще небольшой; последние продолжают бытовать во многих микрорайонах. Это надо также объяснить отсутствием местного олова.

Впервые появляются сурьмяные изделия — предметы украшений (из сел. Великент в Дагестане) и медные многокомпонентные сплавы с примесью олова, мышьяка, сурьмы и свинца, но без цинка. Это говорит о том, что древний металлург в этот период для плавки металла составляя сложную шихту, в которую одновременно добавляли мышьяковые, сурьмяные и свинцовые минералы. Так же не исключено использование комплексных руд, в составе которых паряду с медью присутствовали мышьяк, сурьма и свинец.

В этот период наблюдается отсутствие чисто медносурьмяных сплавов.

Максимальное содержание мышьяка в медномышьяковых сплавах составляет 7,5% (сел. Миятлы в Дагестане), что является оптимальным для получения медного сплава с прилучшими физическими свойствами.

Примесь олова в медных сплавах доходит до 13% (сел. Великент в Дагестане). Несямотря на наличие богатых местных месторождений сурьмяной руды, которые разрабатывались в древности, изделия из сурьмы в памятниках этой хронологии единичны.

Таким образом, анализ археологических материалов из памятников начала II тыс. до н. э.—до середины, показал, что население Азербайджана и Дагестана в это время было знакомо с золотом, серебром, оловом, сурьмой, свинцом меднооловянными, медномышьяковыми и многокомпонентными сплавами, в которых, паряду с медью—основой, присутствуют мышьяк, сурьма, олово и свинец, в различных соотношениях.

Вторая половина II тыс. до н. э. (с середины до XI в.). Анализ металлических предметов этого периода показывает растущую роль олова как легирующего элемента в медных сплавах. Однако при этом еще сохраняется значение мышьяка, присутствующего часто в медных сплавах совместно с сурьмой, оловом и другими элементами. Спектральным анализом установлено максимальное содержание мышьяка в предметах из медномышьяковых сплавов в Дагестане 4,2% (сел. Чох), а олова 12% (хутор Мамай-Кутан). В Азербайджане (Узерьик-Чох), в Дагестане (хутор Мамай-Кутан) появляются предметы, из других элементов, в которых присутствуют примеси мышьяка и сурьмы.

Среди исследованных предметов не оказалось изготовленных из свинца, но свинец входит в состав некоторых бронзовых поделок совместно с оловом и мышьяком. Его максимальное содержание в медных сплавах установлено 1,3% (Узерьик-Чох в Азербайджане).

Следовательно, на основании исследования археологического материала можно установить, что населению этих районов со 2-ой половины II тыс. до н. э.—до XI в. до н. э. были известны золото, серебро, медь, олово, свинец, сурьма, а также меднооловянные, медномышьяковые и многокомпонентные меднооловянно-мышьяково-сурьмяно-свинцованные сплавы с различным соотношением легирующих элементов.

Конец II—середина I тыс. до н. э. (XI—до VI в. до н. э.). Этот период характеризуется прежде всего появлением предметов из железа, из которого изготавливались глиняным образом оружие (поселение Мингечаур, сел. Варданы в Азербайджане и др.). Судя по данным спектрального анализа других металлических предметов этого периода, можно утверждать, что оно становится глиняным легирующим элементом в медных сплавах, а чисто медномышьяковые предметы встречаются реже. Это свидетельствует о том, что торговые связи данных районов Кавказа в то время уже обеспечивали население оловом в виде оловянной руды или в металлическом виде. Это также доказывается обнаружением массивных предметов из оловянно-свинцовых сплавов (Мингечаур в Азербайджане). Медные изделия с присадкой одной сурьмы единичны.

Содержание олова в предметах украшений доходит до 18%. По сравнению с предыдущими периодами появляется большее число предметов из меди без присадок, с малыми естественными примесями других элементов.

Для микрорайонов Дагестана и Азербайджана характерно использование медносульфидных руд без цинка.

Следовательно, в XI—VI вв. до н. э. население Азербайджана и Дагестана использовало золото, серебро, медь, железо, олово, сурьму и свинец, а также меднооловянные, медносурьмяные сплавы и многокомпонентные медные сплавы.

Вторая половина I тыс. до н. э. (VI—I вв. до н. э.). Химический состав предметов из медных сплавов в этот период изменяется глиняным образом из-за присутствия в части из них повышенной примеси цинка. Содержание цинка в отдельных поделках около 12% (Каратепе в Азербайджане), что говорит об использовании полиметаллических руд, особенно цинковой обманки. Последняя очевидно добавлялась в шихту для плавки металла. В этот период почти исчезают чисто медномышьяковые сплавы, а содержание мышьяка в медноцинково-оловянных сплавах не более 1,0%; это говорит еще за то, что плавки меди производились из сульфидных руд, имеющих небольшие примеси мышьяка. Ввиду частых переплавов предметов из медных сплавов состав некоторых из них становится весьма разнородным. Количество железных предметов еще более увеличивается.

Следовательно, спектральные исследования археологического материала показывают, что помимо золота, серебра, меди, олова, свинца, сурьмы и железа во второй половине I тыс. до н. э. человек основы способы приготовления медноцинковых сплавов путем плавки медных полиметаллических руд или совместной плавки медных руд с цинковой обманкой.

Дальнейшее влияние и исследование археологических изделий из древних памятников, более точно датированных, позволит установить

вить характер металлов-сплавов для отдельных микрорайонов с большей хронологической дифференциацией.

Институт истории

Поступило 18. XII 1962

И. Р. Сәзимханов

Гәдим дөврә Азәрбајҹан вә Дағыстан әразисинде илк металларын истифадесинә даир

ХҮЛАСӘ

Азәрбајҹан CCP Етмләр Академијасы Тарих Институтунун лабораторијасында республика вә ССРД Етмләр Академијасы Дағыстан филиалынын археологлары илә бирликдә Азәрбајҹан вә Дағыстан әразисиндәки гәдим абидаләрдә тапылмыш метал әшјалар, металтөкмә галыглары, гәлиб үзәриндәки метал изләри вә башгалары тәдгиг едилмишdir.

Әлдә едилмиш нәтичәләрә әсасән, көстәрилән әразидә гәдим заманларда метал вә онларын хәлитәләри илә илк танышлыгдан башлајараг, ардычыл олараг онлардан истифадә олунмасынын хронологи чедвәли тәртиб олунмушдур. Металын илк дәфә мејдана чыхмасы ер. әв. III минијлија аид олан абидаләрдән мә'лумдур.

Тәдгигатлар нәтичесинде әлдә едилмиш мә'луматлара әсасән, демәк олар ки, һәмин дөврә айры-айры рајонларын әналиси гызыл, күмүш, гургушун вә мис-мәркүш илә таныш олмуш вә ондан истифадә етмишләр.

Ер. әв. II минијлијин биринчи јарысынын орталарына гәдәр олан дөвр мис-галај хәлитәләри вә сүрмә мә'мулатларынын мејдана чыхмасы илә характеристизә олунур. Бә'зи әшјалар тәркибиндә гургушун, мәркүш вә сүрмә олан чохкомпонентли мис-галај хәлитәләриндән назырланмышдыр. Кимјәви анализин нәтичәләринә әсасән мүәјјән олунмушдур ки, артыг бу дөврә әнали гызыл, күмүш, сүрмә, галај, мәркүш, гургушун вә сүрмә гарышығы олан мис-мәркүш вә чохкомпонентли мис-галај хәлитәләриндән дә истифадә етмишdir.

Ерамыздан әvvәл II минијлијин икинчи јарысындан ер. әв. XI әсрә гәдәр олан дөврә мис хәлитәләриндә галај гарышығынын әһәмијәти артыр. Илк дәфә башга элементләрдән аз гарышығы олан мис әшјалар мејдана чыхыр. Археологи материалларын анализинин нәтичәләри көстәрик ки, бу дөврә әнали гызыл, күмүш, мис, галај, гургушун, сүрмә, мис-мәркүш, мис-галај вә мәркүш, сүрмә вә гургушун гарышыглы чохкомпонентли мис-галај хәлитәләриндән истифадә етмишdir.

Ер. әв. II минијлијин ахыры вә I минијлијин әvvәли, һәр шејдән әvvәл дәмир әшјаларын мејдана чыхмасы илә характеристизә олунур. Метал әшјаларын анализи һәм дә көстәрмишdir ки, галај-мис хәлитәләринин әсас гарышығыны тәшкил етмишdir. Бу дөврә илк дәфә олараг галај-гургушун хәлитәләриндән олан әшјалара раст кәлмәк олур.

Анализ нәтичесинде әлдә едилмиш мә'луматлара әсасән мүәјјән олунмушдур ки, Азәрбајҹан вә Дағыстан әналиси бу дөврә гызыл, күмүш, сүрмә, гургушун, галај, дәмир, еләчә дә мис-галај, мис-мәркүш вә галај, гургушун, мәркүш, сүрмә гарышығы олан чохкомпонентли мис хәлитәләриндән истифадә етмишdir.

Ер. әв. I минијлијин икинчи јарысында (ер. әв. VI—I әсрләр) мис хәлитәләринин тәркиби чохлу мигдарда синк гарышығы илә фәргләнир ки, бу да әrimә заманы мис вә синк филизләриндән истафадә олунмасы илә изаһ олунур. Тәкrap әrimә нәтичәсиндә бә'зи мис хәлитәләрин тәркиби тамамилә мүхтәлиф олур. Дәмир әшјалары сајы артыр.

Анализ нәтичесинде әлдә едилмиш мә'луматлара әсасән мүәјјән олунмушдур ки, Азәрбајҹан вә Дағыстан әналиси бу дөврә гызыл, күмүш, мис, галај, гургушун, сүрмә, дәмир вә еләчә дә галај-гургушун-сүрмә-мәркүш вә синк гарышығы олан чохкомпонентли мис хәлитәләриндән истифадә етмишdir.

А. Д. АЛИЕВ

ЛИТОФАЦИАЛЬНАЯ И КАРОТАЖНАЯ ХАРАКТЕРИСТИКА
РАЗРЕЗА МЕЛОВЫХ ОТЛОЖЕНИЙ ПРИКАСПИЙСКО-КУБИНСКОЙ
ОБЛАСТИ

(Представлено академиком АН Азербайджанской ССР А. А. Якубовыи)

Рассматриваемые нами площади Прикаспийско-Кубинской области расположены в северо-восточной части Тенгинско-Бешбармакского антиклиниория юго-восточного погружения Главного Кавказского хребта.

В геологическом строении области принимают участие современные, третичные, меловые и юрские отложения.

В целях правильной интерпретации каротажных диаграмм в глубоких скважинах, нами составлены сводные нормальные разрезы меловых отложений на площадях Гядысу, Советабад, Кешчай и "третичной" моноклинали. При составлении разрезов были использованы данные литологических колонок структурно-поисковых скважин, каротажные диаграммы, профили и другие геологические материалы.

Изученный разрез верхне-меловых отложений "третичной" моноклинали от площади Тенгиналы на северо-западе до р. Гильгильчай на юго-востоке не является полным. В большинстве случаев структурно-поисковые скважины, пробуренные с целью вскрытия майкопской свиты в зоне надвига, вскрыли неполный разрез верхне-меловых отложений сильно завышенной мощности (скв. №№ 17, 8, 4 и др.), вследствие чего литологический разрез становится однообразным, т. к. скважины пересекают свиты почти по одним и тем же напластованиям, и зачастую не входят даже в подошву свиты и не вскрывают характерные пласты конгломератобреций, тем самым значительно усложняя интерпретацию каротажных диаграмм.

Как известно, комплекс верхнемеловых отложений образует трудно разграничиваемую толщу пестроцветных осадков, и по этой причине в практике геологоразведочных работ четкой границы сантонса и кампана в этих разрезах наметить не удается.

Ниже приводится краткая литофациальная характеристика свит и горизонтов меловых отложений на рассматриваемых площадях, которая сравнивается с каротажной характеристикой в приводимых сводных разрезах (рисунок).

Датский ярус в Советабаде выражен в основном песчанистыми, известковистыми глинами мощностью до 150 м. Северо-западнее преобладают мергели с прослойми алевролитов. В кровле и подошве залегают пласти светло-серого, известняка, брекчневидные с включением обломков мергелей мощностью 5–10 м.

Осадки датского яруса изменяются от Тенгнайты в юго-восточном направлении, при этом наблюдается уменьшение мощности прослоев песчаников и наоборот, увеличение известняков. Мощность свиты изменяется от 150 до 200 м. Среднее омическое сопротивление на рассматриваемых площадях выдерживается в пределах 7–10 омм.

Агбурунская свита (маастрихт—верхний кампан) представлена мергелистой глиной, очень плотной с частыми прослойками песчаника серого, крепкого с редкими зеркалами скольжения. В кровле залегает песчаная пачка средне-зернистого крепкого, редко-слоистого трещиноватого песчаника с кальцитом по трещинам, в подошве залегает микроконгломерат.

В отличие от датского яруса в разрезе значительно уменьшаются прослон известняка. Свита литофациально изменяется с юго-востока на северо-запад, причем наблюдается увеличение мощности как всей свиты, так и отдельных пачек мергелей и песчаников. Мощность ее на площади Мешриф-Зейва колеблется в пределах 150–210 м, а на площади Зейва Алич только изученная мощность ее равна 230 м.

Юнусдагская свита (нижний кампан—сантон) представлена мергелями с зеркалами скольжения, включениями глины зелено-серой, с частыми прослойми известняков 0,5 см, что отражается на характере кривой ПС. В кровле и подошве свиты залегают пачки брекчневидного конгломерата с включением известняковых галек до 2 мм, хорошей проницаемости.

Кривая сопротивлений по каротажу более дифференцирована по сравнению с агбурунской свитой и датским ярусом. Кривая проницаемости более изрезана по сравнению с вышележащими свитами.

Вскрыта мощность свиты на участке Зорат 170 м. Максимальная мощность установлена на северо-восточном крыле Советабадской складки и равна 190 м.

Свита кемчи (верхн. нижнего турона) на площади Гядысу залегает непосредственно под юнусдагской свитой и по литологическому составу представлена чередованием мергелистых глин со слюдой, прослоев известкового песчаника 5–10 см; глины зелено-серых с бурым оттенком и фуконидами и по данным коротажных диаграмм имеет сильно дифференцированную кривую сопротивлений. Мощность свиты 160 м.

Зоратский горизонт (низы нижнего турона), вскрытый на площади Гядысу, по литологическому составу слабо отличается от свиты кемчи и выделить его удается по данным микрофауны. Мощность его незначительна—23 м. Подстилается этот горизонт кемишдагской свитой. Из сводных разрезов на площади Советабад и Кешчай кемчинская свита и зоратский горизонт выпадают.

Кемишдагская свита (низы верхнего и нижний отдел сеноманского яруса) на площади Советабад и Кешчай залегает с тектоническим несогласием под юнусдагской свитой и имеет мощность соответственно 50 и 120 м.

Свита представлена глинами зелено-серыми, плотными с включением пирита с прослойми до 0,2 м песчаников и кремнистых известняков, а также брекчневидных конгломератов.

Прослои конгломерата в кемишдагской свите свидетельствуют о размытии нижележащих отложений, а наличие конгломерата в подошве юнусдагской свиты указывает на тектоническое несогласие между этими свитами.

Альбский ярус вскрыт на площади Советабад мощностью 130 м и подразделяется на два горизонта: верхний песчанистый—кюлюлинская свита, нижний глинистый—алтыагачская свита.

Уменьшение мощности свиты по простиранию с северо-запада на юго-восток происходит за счет выпадения из разреза главным образом зеленовато-серой пачки, а в некоторых случаях красновато-бурой пачки глины.

Горизонт свиты, ярус	Глубина вскрытия меловых отложений структурно-поисковыми скважинами, м									
	№ скв.	Гядысу	№ скв.	Советабад	№ скв.	Кешчай	№ скв.	Зорат	№ скв.	Гентиалты
1	2	3	4	5	6	7	8	9	10	11
Датский ярус	—	—	52	160	—	—	—	—	8	30
Агбурунская	—	—	52	238	—	—	5	30	4	180
Юнусдагская	15	20	52	494	20	10	—	—	17	20
Кемчи	15	286	54	10	—	—	5	220	8	260
Зоратский горизонт	9	20	—	—	—	—	—	—	—	—
Кемишдагская	9	156	52	157	20	143	—	—	—	—
Альб	9	181	52	190	20	260	—	—	—	—
Верхний апт	—	—	54	83	—	—	—	—	—	—
Нижний апт	—	—	59	194	20	291	—	—	—	—
Баррем	—	—	97	—	7	20	20	330	—	—
Готерив	—	—	—	—	20	370	6	17	—	—
	—	—	—	—	7	150	7	150	—	—
	—	—	—	—	7	240	—	—	—	—

Наличие в основании алтыагачской свиты брекчневидных конгломератов позволяет признать наличие перерыва и несогласия между алтыагачской и ханагинской свитами. Сопротивление по каротажу переменных известковистых глин с зеркалами скольжения низкое, 3–4 омм.

Верхний апт (ханагинская свита) вскрыт структурно-поисковыми скважинами (№№ 7, 20, 54, 59 и др.) не на полную мощность и, по всей вероятности, частично размыт.

Литологически свита выражена красно-бурыми известковистыми глинами с прослойми мергелей, серых глин, мощностью 5–10 м и конгломератов мощностью 30–40 м (у с. Гермиан до 150 м).

Нижний апт (септариевый горизонт) представлен мергелистыми глинами с миллиметровыми прослойми песка и характерными прослойми мергеля до 3 м; светло-серые, крепкие, при движении с северо-восточного крыла на юго-западное приближаются к кровле септариевого горизонта.

Среднее сопротивление по каротажу аптовых отложений 4–6 омм.

Баррем, по данным каротажа, трудно разделяется от нижеантских отложений.

Литологически выражен глинами серыми, плотными, известковистыми. Мощность этих отложений на Кешчайской складке (юго-зап. крыло) — 770 м. Сопротивление по каротажу 9—10 омм.

В верхней части разреза встречается 10-метровая пачка кристаллического известняка сопротивлением 125 омм.

Готерив. Переход от баррема к готериву характеризуется более дифференцированной кривой, которая в прослоях конгломерато-брекчий достигает частых пик величиной 10 омм. Литологически свита выражена серыми глинами, сильно известковистыми, известняками, брекчевидными конгломератами.

Вскрытая мощность готерива в структурно-поисковых скважинах достигает 170 м.

На площади Кешчай в скв. № 7 по данным каротажной диаграммы кровлю готеривской свиты следует поднять на 80 м выше произведенных отбивок, по той причине, что ритмичность лиофаций по данным литологической колонки в этом интервале и характер кривой „КС“ и „ПС“ сохраняется.

Валанжин вскрыт на далеком юго-западном погружении надвинутого крыла „третичной“ моноклинали и выражен флишевым чередованием известковистых песчаников, известняков, мергелей и глин (бадагская фация).

Отложения валанжина большей частью трансгрессивны и в этом случае начинаются базальными конгломератами, а в полосе Бешбармакского поднятия целиком переходят в фации грубого флиша, состоящего из переслаивания пакетов глыбовых конгломератов, глин и в меньшем количестве мергелей и известняков.

Ритмичное изменение литологического состава пород меловых отложений хорошо отражается на каротажных диаграммах. По данным, построенных нами сводных разрезов видно, что степень дифференцированности кривой сопротивления и расчлененности кривой „ПС“ для каждой свиты имеют свою характеристику. Эта особенность в комплексе с другими геологическими данными может быть использована при отбивке границы между свитами по данным каротажных диаграмм в глубоких скважинах, рассматриваемых нами площадей. Следует отметить, что в практике геологоразведочных работ в отдельных скважинах отбивки кровли и подошвы свит меловых отложений из-за отсутствия комплексных определений возраста пород, в пределах 10—20 м производятся произвольно даже при наличии характерной конгломератовой пачки. В таких случаях, по нашему мнению, целесообразно границу считать условно и проводить в средней части конгломератовой пачки, как это сделано нами в приведенных сводных разрезах.

Ниже приводится таблица, в которой указываются глубина залегания свит меловых отложений по данным структурно-поисковых скважин.

ЛИТЕРАТУРА

1. Султанов А. Д. Литология меловых отложений юго-восточной части Большого Кавказа. Изд. АН Азерб. ССР, 1963. 2. Хани В. Е., Шарданов А. Н. Материалы по геологии с.-в. Кавказа. Изд. АН Азерб. ССР, 1957.

Институт геологии

Поступило 2.VII 1963

А. Д. Элиев

Хәзәрјаны-Губа саһәси Тәбашир чөкүнтуләри кәсилишинин литофасиал вә каротаж характеристикасы

ХУЛАСӘ

Дәрни гујуларын каротаж диаграммлары чәтин интерпритасија олдугарындан онлары ахтарыш-структур гујуларын каротаж диаграммлары илә мугајисә етмәк лазымдыр.

Бу мәгсәдлә Кәдису, Советабад, Кишчај вә „үчүнчү дөвр“ моноклинал саһәләриндә Тәбашир чөкүнтуләринин истинад кәсилишини тәртиб етдик.

Мәгаләдә Тәбашир чөкүнтуләринин гыса стратиграфик тәсвири верилир; набелә онларын литофасиал хүсусијәтләри каротаж көстәричиләри илә мугајисә олунур. Көстәрилән саһәләрдә Тәбашир чөкүнтуләринин әмәлә кәлмәснинде ритмик хүсусијәтләре әсасланыраг, айры-айры һоризонт вә лајдәстәләри арасында сәрнәдләр јенидән дәгигләшdirилир.

ПАЛЕОНТОЛОГИЯ

Д. А. АГАЛАРОВА

О ГРЯЗЕВЫХ ВУЛКАНАХ ПРИКУРИНСКОЙ НИЗМЕННОСТИ

(Представлено академиком АН Азербайджанской ССР А. Д. Султановым)

Вопросы, связанные с изучением грязевых вулканов, являются исключительно актуальными в зонах Каспийской депрессии, где, как известно, находятся богатейшие в Советском Союзе нефтяные месторождения: бакинские, грозненские, туркменские и эмбенские.

В настоящее время широко развит микрофаунистический метод для определения возраста пород, лишенных макрофлоры.

Для установления возраста пород, слагающих сопочные брекчины грязевых вулканов или грязевого шламма, применяли различные методы, но одним из точных методов определения является микрофаунистический.

В 1962 г. сотрудниками лаборатории региональной геологии было собрано более двухсот образцов сопочной брекчины, характеризующих следующие вулканы Прикуринской низменности: Хамамдаг, Бяндован, Бабазанан, Кюровдаг, Хыдырлы, Калмас, Кюрсаня, Заячья гора, Карадаг, Большой Мишовдаг, Малый Мишовдаг, Дуровдаг, Нефтечалинская группа, сопок (Дуздаг, Ханкишлаг), группа вулканов по Ахзевиру и некоторые вулканы Шемахино-Кобыстанской тектонической зоны: Демирчи, Астраханка и др.

Грязевой вулкан Хамамдаг расположен в северо-восточной части Прикуринской низменности, здесь широко развиты отложения продуктивной толщи. С грязевого вулкана собрано свыше 40 образцов в образцах сопочной брекчины из микрофлоры нами определена следующая фауна фораминифер: *Clobotruncana arca* Cushman, *Globotruncana linneiana* d'Orb., *Cymbelina santonica* Agal. и другие перечисленные виды характерные для отложений верхнего мела.

В некоторых образцах этого грязевого вулкана обнаружены следующие виды: *Acarinina crassiformis* (Gall. et Wissler), *A. rugosoculcata* Subb., *Clobigerinella micrus* (Cole) и др., встреченные виды фораминифер, характеризующие отложения среднего отдела фораминиферовых слоев.

Грязевой вулкан Бяндован. С грязевого вулкана собрано 15 образцов сопочной брекчины.

В исследованных образцах обнаружена богатая фауна фораминифер миоценового возраста—сарматского яруса.

Была также встречена фауна остракод: *Leptocythere praebacuna* Liv., *L. caspia* Liv. *Loxoconcha djaffarovi* Schn. и др. Эти остракоды характеризуют отложения понта.

В трех образцах встречена фауна фораминифер верхнемелового возраста.

Таким образом, судя по результатам исследования образцов сопочной брекции, собранных по вулкану Бяндован, можно сказать, что основной свитой, давшей материал для образования сопочной брекции являются нижнеплиоценовые (понтический ярус), миоценовые (сарматский ярус) и верхнемеловые отложения.

Грязевой вулкан Кюрсияя расположена в центральной части Прикуринской низменности.

На микрофауну исследовано 20 образцов сопочной брекции. В этих образцах обнаружена богатая фауна фораминифер: *Globigerinella aspera* (Ehrenb.), *Globotruncana arca* Cushman, *G. rosetta* (Carsey), *Gumbelina globulosa* (Ehrenberg) *Rotundina ordinaria* Subb., *Globigerina cretacea* d'Orbigny.

Вышеперечисленные фораминиферы характеризуют отложения верхнего мела.

Грязевой вулкан Карадаг расположен на Карадагской антиклинальной складке. На микрофауну исследовано 2 образца сопочной брекции. В этих образцах обнаружена фауна фораминифер миоценового возраста (сармат). Отложения сармата нами были встречены в образцах глубокой скважины № 109 на глубине 3700 м.

Таким образом, корни грязевого вулкана Карадаг находятся в отложениях сармата примерно на глубине 3700 м.

Грязевой вулкан Дуровдаг находится в южной части Прикуринской низменности.

По этому грязевому вулкану собрано 19 образцов сопочной брекции, часть образцов, имеющих светло-серые глинистые кусочки пород, содержали следующие виды фораминифер: *Globigerinella aspers* (Ehrenberg), *Gumbelina striata* (Ehrenb.), *Pseudotextularia varians* Rzehak, *Planoglobulina acervulinoides* Egger, *Globotruncana contusa* (Cushman), *Globotruncana conica* White и др. В темно-серых глинах обнаружена фауна фораминифер, характеризующая собой миоценовые отложения среднего сармата; некоторые буроватые глины содержали остракоды бакинского яруса.

Судя по наличию указанной микрофлоры, образцы, взятые с вершины грязевого вулкана Дуровдаг, характеризуют отложения маастрихтского яруса, тогда как другие образцы характеризуют отложения сарматского яруса и у основания его — отложения бакинского яруса.

Группа грязевых вулканов Ахзевир (Боздаг), Ахзевир (гамма), Заячья гора, расположенные в центральной части Прикуринской низменности

С грязевого вулкана Ахзевир (Боздаг) собрано 20 образцов; в серой глинистой брекции найдены виды, свидетельствующие о принадлежности глинистых масс к верхне-коунским отложениям, а именно: *Globigerinoides conglobatus* Brady, *Globigerina triloba* Reuss, *Globigerinella micrus* (Cole), *Cibicides refulgens* (Montford), *Eponides umbonatus* (Reuss).

В других образцах были обнаружены остракоды акчагыльского возраста и переотложенные фораминиферы продуктивной толщи.

Из Ахзевира (гамма) отобраны 13 образцов грязевого шламма. Основная масса сопочной брекции содержит следующие виды: *Acarinina*

crassiformis (Gall. et Wissler), *Globigerina pseudobulloides* Plummer, *Globigerinella micrus* (Cole), *Bulimina rostrata* Brady, *Porosonion granosus* (d'Orbigny), *Nonion martcobi* Bogd., *Milliolina akneriana* (d'Orbigny), *Uvulites sarmaticus* Ghalilov.

Первые три вида характерны для нижнего подъяруса коуна, остальные — для сарматского яруса: кроме фораминифер встречены остракоды, принадлежащие отложениям pontического яруса.

Грязевой вулкан Заячья гора представлен тремя образцами, которые содержат переотложенную фауну фораминифер, характеризующую продуктивную толщу.

Нефтечалинская группа грязевых сопок Дуздаг и Ханкишлак расположена в южной части Прикуринской низменности, охарактеризована 8 образцами сопочной брекции, отсюда в отобранных образцах в серой массе определены: *Leptocythere praebacuna* Liv., *Lep. malva* Liv., *Lep. lata* Liv., *Loxoconcha djaffarovi* (Schn.) и другие вышеперечисленные виды характеризуют отложения pontического яруса, кроме pontических видов встречены остракоды верхнеапшеронского яруса.

Грязевой вулкан Большой и Малый Мишовдаг расположены в северо-западной части Прикуринской низменности.

С грязевого вулкана Большого Мишовдага отобрано 12 образцов сопочной брекции. В темно-серых глинистых массах обнаружена богатая фауна остракодов, характерная для отложений pontического яруса. В светло-серых мергельных кусочках сопочной брекции встречена *Globotruncana arca* Cushman, *Gl-nella aspera* (Ehrenb.), *Rotundina marginata* Reuss, *Gl-na pseudobulloides* Pl. перечисленные виды характеризуют отложения верхнего мела. Кроме того, встречены еще *Acarinina crassaformis* (Gall. et Wissler), *Globigerinella micrus* (Cole), *Uvigerina pygmaea* d'Orbigny, *Bolivina advena* Cushman, *Globotruncana rosetta* (Carsey) *Gl-na arca* Cushman и др.

Первые 4 вида характеризуют отложения верхнего мела, остальные — верхний коун.

Грязевой вулкан Калмас. С этого грязевого вулкана отобрано 9 образцов. Обработанный нами материал литологически представляет брекчиивидную глину с включением песчаника.

Из микрофлоры данный образец содержит характерный для отложений верхнего мела комплекс фораминифер: *Globotruncana arca* Cushman, *Gl-na rosetta* (Cars.), *Cumbelina tessera* Cushman, *Globigerina kelleri* Subb., *Gumbelina cretacea* d'Orbigny, *Anomalina ammonoides* Reuss, *A-na grossurugosa* Reuss и др.

Грязевые вулканы Бабазанани Кюровдаг. С обоих грязевых вулканов собрано 6 образцов сопочной брекции. В серых глинистых массах брекции из этих вулканов были найдены следующие виды: *Porosonion ex gr. granosus* (d'Orb), *Globorotalia crassa* d'Orbigny, *Globigerinella micrus* (Cole), *Globigerinoides triloba* Reuss, *Globigerina pseudobulloides* Pl., *Gl-na triloculinoidea* Plummer, *Stenostiona exculta* (Reuss), *Bolivina inacrssata* Reuss, и др. Этот комплекс фораминифер, состоящий из неогеновых, палеогеновых и меловых форм, типичен для отложений продуктивной толщи.

Грязевой вулкан Хыдыры. Отобрано всего два образца сопочной брекции. Исследованный нами материал литологически представляет глину светло-серого цвета с включением незначительного песка. Из микрофлоры в нем обнаружены *Leptocethere lata* Liv., *Loxoconcha djaffarovi* (Schn.), *Cyprideis littoralis* (Brady), *Cythereis pontica*

Liv., а из фораминифер—*Rotalia beccarii* (Linné). Были встречены также рыбные остатки.

Перечисленная ассоциация микрофлоры характерна для отложений понтического яруса Апшеронского полуострова.

Грязевой вулкан Демирги. Этот вулкан представлен 7 образцами сопочной брекции. В темной зеленовато-серой массе были найдены следующие формы, характерные для верхнего мела: *Gumbelina globulosa* (Ehrenb.), *Cumbelina striata* (Ehrenb.), *Globigerinella cf. aspera* (Ehrenb.), *Globigerina cretacea* d'Orbigny, *Globotruncana arca* Cushman, *Anomalina ammonoidea* Reuss.

Грязевой вулкан Астраханка Южный. Всего на микрофлору исследовано два образца. Здесь была найдена следующая микрофлора: *Globotruncana linneiana* (d'Orbigny), *Gl-na rosetta* (Carr.), *Gl-na arca* Cushman, *Rotalipora aff. appenninica* Rzeh; *Schackoina cenomanica* (Schacko), *Globigerina cretacea* d'Orb., *Pellosina compacta* Reuss.

Такой комплекс микрофлоры указывает главным образом на верхний мел (сенона).

В заключение необходимо отметить, что точное определение возраста брекций грязевых вулканов даст возможность установить стратиграфическую приуроченность углеводородных очагов, газы которых поддерживают деятельность грязевых вулканов, вероятно с ними связанны и скопления нефти. Это имеет большое практическое значение как для выяснения генезиса наших нефтяных залежей, так и для установления степени нефтеносности новых районов, подлежащих разведке.

Институт геологии

Поступило 3. X 1963

Д. А. Агаларова

Күрјаны овалығын палчыг вулканлары ңагында

ХУЛАСӘ

1962-чи илдә стратиграфија вә фауна лабораторијасы рекионал қеотолоција лабораторијасының әмәкдашлары тәрәфинидән 200-дән артыг топланылыш палчыг вулканы брекчијасы нұмынәләринің тәддиг етмишdir.

Бу нұмынәләр ашағыда көстәрилән (гејд едилән) палчыг вулканларыны—Һамамдағ, Бандован, Базаизан, Кировдағ, Хыдырылы, Калмас, Күрсәнки, Зајачыјагора, Гарадағ, Бөյүк вә Кичик Мишовдағ, Дуровдағ, Нефтчала групунун тәпәләре (Дуздағ, Ханғышлаг), Ахзевири вулкан групласы вә бир нечә вулкан Шамахы-Гобустан тектоник зонасы: Дәмирчи, Астраханка вә с. мүәлжіләшdirir.

Жухарыда гејд едилән палчыг вулканлары микрофауналарын өјрәнилмәсін әсасында палчыг вулканы брекчијасының жашины даһа јүксәк һесаб етмәjә имкан жарадыр.

Н. А. МЕХТИЕВА, Т. А. МАРТИРОСОВА

МИКРОФЛORA ЛУГОВО-СЕРОЗЕМНЫХ ПОЧВ ВОСТОЧНОЙ ШИРВАНИ

(Представлено академиком АН Азәрбайджанской ССР В. Р. Волобуевым)

Микрофлора лугово-сероземных почв Восточной Ширвани до настоящего времени не изучена. Имеющееся в литературе единственное сведение касается микрофлоры засоленных почв юго-восточной Ширвани [2]. Приведенные данные разовые, они не отражают динамики развития микроорганизмов.

Задачей настоящего сообщения является — микробиологическая характеристика лугово-сероземных почв Восточной Ширвани с учетом ее сезонной динамики. Микробиологические исследования проводились на образцах, взятых из почвенных разрезов, расположенных в двух разных участках (I участок расположен в районе станции Керар, II в 8 км к северо-востоку от станции Керар).

Исследования проводились в марте, мае, августе и ноябре 1962 г. Почвенные образцы брались на целине—по генетическим горизонтам, на окультуренных участках—из пахотного и подпахотного слоев. Во взятых образцах учитывались следующие группы микроорганизмов:

1. Общее количество сапроптических бактерий посевом на мясопептонный агар.

2. Споровые бактерии—посевом на среду, из смеси мясопептонного и сусла агара (1:1).

3. Актиномицеты—посевом на крахмало-аммиачный агар.

4. Грибы—посевом на подкисленное сусло-агар.

5. Нитрифицирующие бактерии—методом титра на жидкой электривной среде Виноградского.

6. Сульфатредуцирующие (методом титра) на среде Таусона.

7. Целлюлозоразрушающие микроорганизмы—посевом на среду Гетчинсона (обрастанье колючков).

8. Азотобактер по методу Виноградского, на почвенных пластинках.

9. Анаэробный фиксатор азота *Clostridium pasteurianum*—методом титра на среде Виноградского.

В таблице выведены средние показатели содержания отдельных групп микроорганизмов в изучаемых почвах.

Приведенные материалы свидетельствуют о значительном колебании числа микроорганизмов в почвах Восточной Ширвани. Целинные почвы

довольно бедны микроорганизмами. При этом наименьшее число микроорганизмов обнаружено на I участке (776 тыс. на 1 г почвы).

Окультуривание этих почв приводит к резкому возрастанию биологической активности. Так, общее число микроорганизмов в почве под посевом люцерны увеличивается в 6 раз, в почве под посевом пшеницы — в 4 раза и, наконец, в почве под посевом хлопчатника — в 2 раза.

**Среднее количество микроорганизмов в лугово-сероземных почвах
Восточной Ширвани**

Объект исследования	Глубина	В тыс. на 1 г абр. сухой почвы	Целлюлозоразрушающие (% обработания)					Азотобактер (число колоний на почвенной пластине)	
			Общее число микробов	Число бактерий	Из числа бактерий споровые	Актиномицеты	Грибы		
Целинные почвы									
I участок	0—8	776	485	63	273	18	40	46	4
.	8—24	548	360	53	182	6	16	53	0
.	24—34	137	95	25	37	5	3	28	0
.	34—53	49	37	2	8	4	1	30	0
Окультуренные									
Поле пшеницы	0—20	3178	2300	283	870	8	38	61	18
.	20—40	2712	2038	218	667	7	31	40	15
Поле люцерны	0—20	4577	3088	503	974	12	66	20	17
.	20—40	3422	2596	409	819	7	36	31	13
Поле хлопчатника	0—20	2262	1672	447	575	15	31	53	0
.	20—40	2153	1720	390	424	9	31	46	0

Климатические условия Ширванской степи накладывают отпечаток на ход микробиологических процессов*.

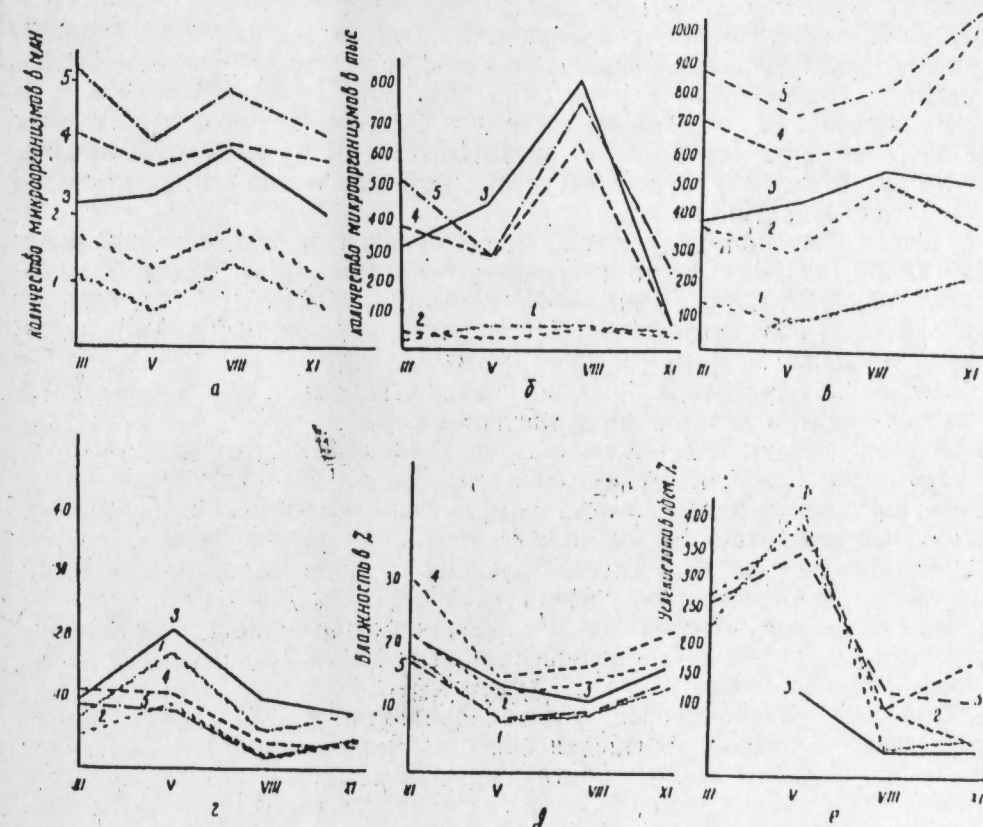
На I участке, вследствие его сухости развитие микроорганизмов происходит слабее (таблица, рисунок). В связи с этим на данном участке споровые бактерии представлены в большом количестве и в основном преобладают бациллы из группы *Bac. mesentericus* и *Bac. subtilis*, встречающиеся в более засушливых зонах.

На II участке, где влажность выше, преимущественно встречается *Bac. megatherium*.

* Данные по углекислоте почвенного воздуха и влажности почв представлены сотрудниками института С. А. Алиевым и Ш. Г. Тапровым.

В разрушении клетчатки большая роль принадлежит грибам. Из целлюлозоразрушающих грибов в лугово-сероземной почве встречаются представители родов *Chaetomium*, *Stachybotrys*, *Dematioides*, *Stysanus* и *Phoma*.

Увеличение гумуса в почве под люцерной приводит к изменению соотношения целлюлозоразрушающих микроорганизмов. При этом количество грибов уменьшается за счет значительного возрастания бактерий. Среди целлюлозоразрушающих бактерий наибольшее распространение имеют бактерии рода *Cellvibrio* и *Cytophaga*.



Динамика микроорганизмов, влажности и углекислоты лугово-сероземной почвы Восточной Ширвани:

a — общее число микробов; б — спороносные бактерии; в — актиномицеты; г — грибы;
д — влажность; е — углекислота;

1~1~1~1~1 — целина I участка; 2~2~2~2~2 — целина II участка; 3 — поле хлопчатника; 4 — поле пшеницы; 5 — поле люцерны.

Из азотофиксирующих микроорганизмов наиболее широко представлен *Clostridium pasteurianum*.

Азотобактер в целинной почве появляется как весенний эфемер. Освоение этих почв способствует развитию азотобактера во все периоды года. Исключение составляет почва под посевом хлопчатника, в

которой его не удалось обнаружить. Отсутствие азотобактера в почве под посевом хлопчатника может быть объяснено угнетающим действием корневых выделений хлопчатника [1].

Сульфатредуцирующие бактерии в исследованных почвах представлены в небольшом количестве.

Число нитрифицирующих бактерий не одинаково в исследованных почвах. Наиболее богаты ими окультуренные участки.

В динамике общей численности микроорганизмов отмечена следующая закономерность. В ранневесенний период во всех почвах, за исключением почвы под хлопчатник, общая численность микроорганизмов высокая; весной число их уменьшается, летом — увеличивается. Осенью, как правило, общее число микробов уменьшается и падает почти до уровня весеннего периода.

Динамика численности спороносных бактерий подчинена следующей закономерности. Максимальное количество их выявлено в начале весны и летом. Осенью число спороносных бактерий резко падает.

Наблюдения за динамикой развития актиномицетов показали, что наибольшее количество их обнаруживается на I участке — осенью, на II — летом. В окультуренных вариантах выражен летне-осенний максимум развития актиномицетов.

Почвы Восточной Ширвани по содержанию грибов также отличны. Из грибов наиболее часто встречаются представители родов *Penicillium*, *Aspergillus*, *Chaetomium*, *Stachybotrys*, *Dematioides* и различные мукоровые. Реже встречаются *Trichoderma*, *Alternaria*, *Helminthosporium*, *Stysanus*, *Phoma*.

Интересно отметить, что установленная закономерность для бактерий и актиномицетов неприменима для грибов.

В ранне-весенний период в целинных почвах развитие грибов проходит более слабо; к весне количество грибов достигает максимума, затем постепенно падает к лету до уровня ранне-весеннего периода. Осенью наблюдается тенденция к постепенному увеличению их числа.

Что касается других физиологических групп, микроорганизмов, то особой закономерности не удалось установить.

На основании полученных материалов можно сказать, что микробиологические процессы в целинных почвах Восточной Ширвани выражены довольно слабо.

В связи с недостаточным обеспечением этих почв органическими веществами и влагой, жизнедеятельность микроорганизмов протекает медленно. Это положение подтверждается тем, что при оптимальной влажности и окультуривании почв, численность микроорганизмов значительно возрастает.

ЛИТЕРАТУРА

1. Красильников Н. А. Микробиологические основы бактериальных удобрений. Изд. АН СССР, 1945.
2. Пакусин А. Г. Микрофлора засоленных почв центральной части юго-восточной Ширвани. „ДАН Азерб. ССР“, 1955, XI, 8.

Институт почвоведения
и агрохимии

Н. А. Меңдијева, Т. А. Мартиросова

Шәрги Ширван чәмән-боз торпагларының микрофлорасы

ХУЛАСӘ

Шәрги Ширван чәмән-боз торпагларының микрофлорасына аид әдәбијатда мә’лumat јохдур. Мәгаләдә һәмин торпагларының микрофлорасы, динамикасы вә торпагыны ишләнмәснин тә’сири нагында мә’лumat верилир.

Тәдгигат үчүн торпаг нұмуналәри март, мај, август вә нојабрда 2 хам вә 3 ишләмиш саңаләрдән көтүрүлмушдүр.

Апарылан тәдгигатлар Шәрги Ширван чәмән-боз торпагларының микробиологи чәһәтдән бир-бириндән фәргли олмасыны көстәрир.

Хам торпаглар ишләмиш торпаглара иисбәтән микробиологи чәһәтдән хејли зәйфидир.

Микроорганизмләриң үмуми сајынын динамикасы ашағыдақы кимидир: мартда микроорганизмләрин сајы јүксәлир; мајда онларын сајы азалыр; августда йенидән артыр; нојабрда мартдакы гәдәрә енир.

Өյрәнилән торпагларда бактеријалардан эн чох *Bac. mesentericus*, *Bac. subtilis*, *Bac. megatherium*, көбәләкләрдән *Penicillium*, *Aspergillus*, *Chaetomium*, *Stachybotrys*, *Dematioides* вә с. язылмышдыр.

Селлулозаның парчаланмасында көбәләкләрни ролу даһа бөյүкдүр. Бу просесин кедишинде әсас е’тибарилә *Chaetomium*, *Stachybotrys*, *Dematioides*, *Phoma*, бактеријалардан *Clostridium pasteurianum* вә *Cytophaga* чинсләринин нұмајәндәләри иштирак едирир.

Азоту фиксә едән бактеријалардан *Clostridium pasteurianum* даһа чох әһәмијәтә маликдир. Хам торпагларда азотобактер яз ефемерикими мүшәнидә едирил. Торпагларын ишләнмәси азотобактерин инкишафыны сүр’әтләндирір.

Алынан дәлилләр чәмән-боз торпагларының биология активлигинин зәйф олмасыны сүбүт едири. Торпагларын ишләнмәси вә мүхтәлиф биткиләрин бечәрилмәси һәмин торпагларының мүнбитлигини артырыр.

СЕЛЕКЦИЯ

И. К. АБДУЛЛАЕВ

НОВЫЙ СОРТ ШЕЛКОВИЦЫ ЭМИН-ТУТ

Сорт Эмин-тут (быв. Азерб. № 28) выведен методом воспитания гибридных растений на высоком агротехническом фоне и индивидуальным отбором. Сорт относится к виду *Morus alba* L. Этот сорт характеризуется следующими ботанико-морфологическими и хозяйственными показателями.

Ботанико-морфологические особенности. Цвет коры штамба серый. Крона метлообразная. Образует прямые побеги без бокового ветления. Цвет коры одногодичных веток серый, с легким желтоватым оттенком, чечевички желтовато-белые, овальные, частые.

Почки прилегающие, треугольные, покрыты пятью—шестью чешуйками коричневого цвета. Годичный прирост побегов средний составляет 157 см; число побегов на третьем году эксплуатации составляет 36 шт. на дерево, междоузлия короткие 3,8 см. Образует около 86% продуктивных побегов, из них 46,4% ростовых и 39,6% неростовых. Имеет высокую облистенность побегов в среднем 5,65 листа, при облистенности ростовых побегов—7,4 листа и неростовых 4,0 листа. Средний вес одного листа—1,37 г. Вес одного листа с ростовыми побегами—1,50 г и с неростовыми побегами 1,12 г. Листья средних размеров 13,0×8,9 см. Отношение длины листовой пластинки к ширине 1,47.

Лист цельный, поверхность листовой пластинки гладкая, блестящая, зеленого цвета, нервация средняя. Форма листа сердцевидная, верхушка с зубцом, край пильчатый, основание выемчатое. Черешок около 5 см длины, округлый, светло-зеленый, желобок узкий.

Сорт однодомный, с преобладанием женских соцветий. Цветение небольшое, плодоношение незначительное. Соплодия овальные, средних размеров, черные, сладкие, сочные, малосемянные, созревание соплодий совпадает со временем весенней эксплуатации шелковицы. Среднее количество соплодий на одном дереве 1627 шт., среднее количество соплодий на одном побеге 37 шт., вес одного соплодия: 1,00 г и средний урожай соплодий с одного дерева 2,33 кг.

Верхушечная почка на неростовых побегах образуется рано. Обмерзание незначительное, сорт ранний. Характеризуется дружным облистением и обильными урожаями листа с самого начала вегетации. Основной урожай листа в конце мая—начале июня. Сорт вы-

сокоурожайный, качество листа хорошее. Лист охотно подается гусеницами тутового шелкопряда.

Проведенные в 1956—1962 гг. фенологические наблюдения показали, что в условиях Карабахской зоны у сорта Эмин-тут массовое распускание почек имеет место в зависимости от погодных условий 13/IV—21/IV, массовое цветение—22—26/IV, появление первого листа—16—21/IV, третьего листа—20—24/IV и пятого листа—22—25/IV. Массовое созревание соплодий 23—27/V.

Цитологические особенности. Цитологическое изучение сорта Эмин-тут показало, что в соматической клетке этого сорта имеется 2n=28 хромосом и является диплондной формой.

Рост и развитие растений. Сорт отличается хорошим ростом, развитием и образованием большого количества хорошо облиственных побегов. Так, у шестилетнего дерева охват штамба составляет 28,5 см, количество годичных веток на одном дереве в третий год эксплуатации 51,0 шт. и количество почек на одном побеге 32,0 шт. Количество листьев в среднем на одном метре годичного побега 123,2 шт., вес листьев на одном метре побега 186 г. Число облиственных молодых побегов на одном метре ветви 19,5 шт. Общая длина годичных побегов на одном дереве в среднем 47,2 м.

Динамика нарастания листьев на дереве в период весенней выкормки гусениц тутового шелкопряда в 1961 г. приведена ниже:

Дата учета	Количество листьев на одном дереве	Количество листьев на одной ветке
20/IV	618	12
28/IV	2196	45
6/V	2472	51
15/V	2816	58
24/V	4391	91
2/VI	5119	106

Приведенные данные говорят о том, что при соблюдении нормальной агротехники ухода за шелковицей рост и развитие листьев на дереве до начала весенней эксплуатации у сорта Эмин-тут идет интенсивно.

Урожай листа. Сорт Эмин-тут характеризуется хорошим облиствием и быстрым накоплением урожая листа в весенний период, что делает этот сорт высокопродуктивным для весенней выкормки тутового шелкопряда.

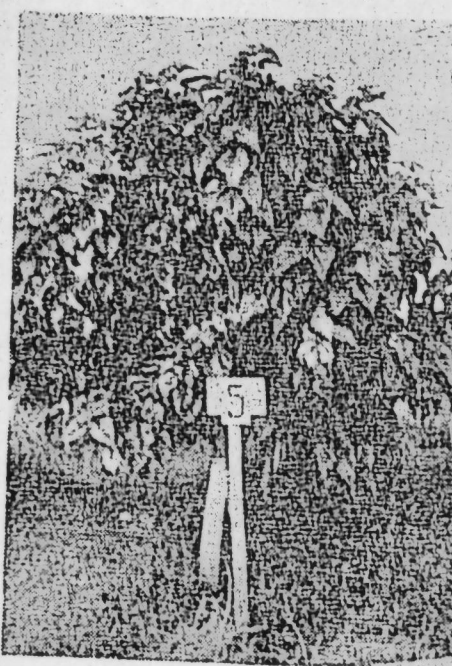


Рис. 1

Шестилетнее дерево сорта Эмин-тут на сортоиспытательной плантации КНЭБ

Продуктивность любого сорта шелковицы в первую очередь связана с общим весом облиственных побегов, весом листа и побегов с одного дерева и процентом выхода листа. Ниже даны эти показатели в сравнении с районированным сортом Сыхгез-тут:

Сорт шелковицы	Общий вес облиственных веток с соплодиями с 1 дерева, кг	Вес побегов и веток с 1 дерева, кг	Вес листа с одного дерева, кг	% выхода листа
Сыхгез-тут	13,20	5,85	7,35	56,44
Эмин-тут	16,91	5,68	11,23	66,60

Приведенные данные в табл. 2 с очевидностью показывают значительные преимущества нового высокопродуктивного сорта Эмин-тут по среднему весу листа с одного дерева и проценту выхода листа в сравнении с районированным сортом Сыхгез-тут, что показывает ценность нового сорта.

Особенно большой интерес представляет урожай листа с плантаций в сравнении с районированным сортом (табл. 1).

Таблица 1

Сорт шелковицы	Урожай листа с гектара плантации, ц/га	Рост в сравнении с районированным сортом	
		ц/га	%
Сыхгез-тут	60,81	—	100,0
Эмин-тут	93,50	32,69	153,4

Приведенные данные показывают, что сорт Эмин-тут в третий год эксплуатации по урожаю листа превосходит районированный сорт шелковицы Сыхгез-тут на 32,69 ц/га, или на 53,4%. Новый сорт также значительно превосходит по урожаю листа стандартный сорт Кокус-70 и Среднеазиатский сорт "Победа".

Химический состав листа. Изучение химического состава листа, проведенное в период пятого возраста гусениц весенней выкормки показало, что сорт Эмин-тут имеет несколько лучшие показатели в сравнении с районированным сортом Сыхгез-тут (табл. 2).

Таблица 2

Сорт шелковицы	В абсолютно сухом веществе содержится, %							
	влага	сухое вещество	общего азота	белково-го азота	протеина	чистого белка	общего сахара	клетчатки золы
Сыхгез-тут	9,85	90,15	3,99	3,51	24,93	21,93	8,33	10,37
Эмин-тут	9,82	90,18	4,95	4,48	30,93	27,99	7,41	10,17

Сорт Эмин-тут отличается от районированного сорта по содержанию в листе белковых соединений, при этом несколько отстает по содержанию общего сахара.

Кормоиспытательная выкормка. По результатам кормоиспытательных выкормок листом изучаемых сортов шелковицы, являющихся основным критерием, качество листа нового сорта имеет следующие показатели:

Сорт шелковицы	Продолжительность выкормок, сутки	Жизнеспособность гусениц, %	Средний вес сырого кокона, г	% шелковой оболочки у сырых коконов
Сыхгез-тут	31,23	97,8	1,71	18,9
Эмин-тут	32,09	96,3	1,65	18,9

По продолжительности выкормок, жизнеспособности гусениц и среднему весу кокона сорт Эмин-тут несколько уступает районированному сорту Сыхгез-тут.

Изучение технологических свойств коконов приведено ниже:

Сорт шелковицы	Средний вес сухих кокононов, г	% шелковости коконов сырца	% выхода шелка-ваемости коконов сырца	Длина конной нити, м	Метрический показатель конной нити, м	Метрический показатель конной нити, м	
						Длина конной нити, м	Метрический показатель конной нити, м
Сыхгез-тут	0,595	46,49	39,60	81,72	883,3	790,0	3899
Эмин-тут	0,572	46,40	37,40	80,70	882,0	801,0	4097

Определенный интерес представляют также данные поедаемости листа гусеницами, урожая коконов с килограмма заданного и съеденного гусеницами листа шелковицы, а также урожая коконов в пересчете с коробки грены, приведенные в табл. 3.

Таблица 3

Сорт шелковицы	% поедаемости листа	Урожай коконов с килограмма листа, г		Выход шелка-сырца с килограмма заданного листа, г	Урожай коконов с 1 граммом мурашей*, кг
		заданного	съеденного		
Сыхгез-тут	55,9	60,9	106,4	7,84	3,73
Эмин-тут	60,1	63,2	112,5	8,84	3,46

Несмотря на то, что по сорту Эмин-тут имеют место неплохие показатели по поедаемости листа, урожаю коконов с килограмма заданного и съеденного листа шелковицы, из-за несколько худших показателей по жизнеспособности гусениц и среднему весу сырых коконов показатели урожая коконов в пересчете с коробки грены несколько отстают от районированного сорта Сыхгез-тут.

Производительность сорта. Сорт Эмин-тут дает высокий урожай листа с гектара плантации и по производительности новый

сорт значительно превосходит ныне районированный сорт шелковицы Сыхгез-тут (табл. 4).

Как видно из вышеприведенных данных по урожаю коконов и шелка-сырца с гектара плантации новый сорт Эмин-тут, как очень высокоурожайный, значительно превосходит районированный сорт Сыхгез-тут. Так по урожаю коконов с гектара плантации сорт Эмин-тут превосходит сорт Сыхгез-тут на 223,0 кг, или на 60%. Новый сорт Эмин-тут также имеет лучшие показатели по продуктивности в сравнении с сортом Кокусо-70.

Таблица 4

Сорт шелковицы	Урожай коконов, кг/га	Рост в сравнении с контролем		Выход шелка-сырца, кг/га	Рост в сравнении с контролем	
		кг/га	%		кг/га	%
Сыхгез-тут	368,0	—	100,0	47,67	—	100,0
Эмин-тут	591,0	223,0	160,0	82,60	34,93	173,3
Кокусо-70	548,0	180,0	148,8	78,18	30,51	164,0

Испытание сорта для летне-осенней выкормки. Азербайджанским научно-исследовательским институтом шелководства (Н. А. Джагаровым) в 1956—1958 гг. этот сорт в условиях Кировабада испытан в летне-осенних направлениях. Результаты сортониспользования показали, что по урожаю листа сорт Эмин-тут превосходит высокоурожайный сорт Кокусо-70 (см. табл. 5).

Таблица 5

Сорт шелковицы	Урожай листа с одного дерева, кг			Урожай листа с гектара плантации, ц			% выхода листа	
	летом	осенью	всего	летом	осенью	всего	весной	осенью
Эмин-тут	3,87	4,74	8,61	32,2	39,5	71,7	65,4	63,7
Кокусо-70	3,59	3,70	7,29	29,9	30,8	60,7	63,7	58,4

Как видно из приведенных данных, новый сорт Эмин-тут по урожаю листа при летне-осенних направлениях плантации превосходит сорт Кокусо-70 на 11,0 ц/га на 18,0%.

Анализ химического состава листа, а также результаты кормоиспытательной выкормки показывают, что новый сорт Эмин-тут имеет хорошее качество листа и в летне-осенний период.

Данные производительности сорта Эмин-тут в сравнении с сортом Кокусо-70 показали также некоторые преимущества нового сорта при летне-осенней эксплуатации плантации (см. табл. 6).

Приведенные в табл. 6 данные показывают, что по урожаю коконов в пересчете на гектар плантации при летне-осенней эксплуатации новый сорт Эмин-тут превосходит Кокусо-70 на 13,3% и по выходу шелка-сырца на 9,1%, что показывает преимущества этого ценного сорта.

Таблица 6

Сорт шелковицы	Урожай коконов с га плантации, кг			Урожай шелка-сырца с га план- тации, кг		
	летом	осенью	всего	летом	осенью	всего
Эмин-тут	171,8	160,4	332,2	24,7	25,4	50,1
Кокусо-70	157,4	135,8	293,2	23,8	22,1	45,9

Все это показывает, что новый селекционный сорт Эмин-тут с успехом может быть использован для кормления гусениц тутового шелкопряда как весной, так и летом и осенью, что дает возможность поднять продуктивность сортовых плантаций и увеличить доходы от шелководства.

Институт генетики и селекции

Поступило 26. VI 1963

И. К. Абдуллаев

Жени селексија тут ағачы сорту Эмин-Тут

ХУЛАСӘ

Жени мәһсүлдар тут ағачы сорту Эмин-тут (Азэрб. № 28) һибрид биткиләринин јүксәк агротехники юлла јетишдирилмәси сајесиндә әлдә едилмишdir.

Мәгаләдә Эмин-тут сортунын ботаник-морфологи вә ситологи хүсусијәтләри, биткиниң инкишафетмә вә бојатма көстәричиләри, бир ағачдан вә бир һектардан јығылан јарпаг мәһсулу, јарпағын кимјәви тәркиби вә ипәк гурдунын һәмни Јарпагла апарылыш җемләнмәсниннән иәтичәләри верилмишdir.

Һәр бир тут ағачы сортунын тәсәрруфат әһәмијәти онун мәһсүлдарлыг көстәричиси илә гијмәтләндирлир. Одур ки, жени селексија сорту Эмин-тутун рајонлашмыш стандарт сорт олан Сыхкәз-тут вә мәшхүр Японија сорту Кокусо-70 илә мугајисәли мәһсүлдарлыг көстәричиси верилир.

Көстәричи жени селексија сорту Эмин-тутун үстүнлүјүнү көстәрир. Беләликлә, жени сорт Эмин-тут рајонлашдырылыш Сыхкәз-тут сортуна иисбәтән бир һектар јүксәк бојлу тут ағачы плантасијасындан 32,69 сентнер, яхуд 53,4 фазы чох јарпаг мәһсулу верир.

Эмин-тут сорту бир һектар тут ағачы плантасијасындан стандарт Сыхкәз-тутуна иисбәтән 223,0 кг барама вә 34,93 кг артыг ипәк мәһсулу әлдә етмәјә имкан верир.

Бүтүн бу көстәричиләр жени селексија сорту Эмин-тутун чох бөյүк истеһсалат әһәмијәтина малик олдуғуну көстәрир.

АЗЭРБАЙЧАН ССР ЕЛМЛӘР АКАДЕМИЈАСЫНЫН МӘРҮЗӘЛӘРИ
ДОКЛАДЫ АКАДЕМИИ НАУК АЗЕРБАЙДЖАНСКОЙ ССР

ТОМ XX

№ 1

1964

БИОЛОГИЯ

Э. Ю. МУСАЕВ, А. И. АХУНД-ЗАДЕ

ВЛИЯНИЕ РОСТОВОГО ВЕЩЕСТВА НЕФТИНОГО ПРОИСХОЖДЕНИЯ НА РОСТ И РАЗВИТИЕ ЦЫПЛЯТ В ВОЗРАСТЕ ОТ 30 ДО 60 ДНЕЙ

(Представлено академиком АН Азербайджанской ССР Ф. А. Меликовым)

В многочисленных исследованиях различных авторов доказано стимулирующее влияние ростового вещества нефтяного происхождения на растительный и животный организм.

В нашей предыдущей работе были изложены результаты изучения влияния 0,001%-ного раствора НРВ на цыплят в возрасте от 1 до 30 дней в связи с биологическими закономерностями их роста и развития [2].

Было доказано, что НРВ в микродозе оказывает стимулирующее влияние на формообразовательные процессы, а также на развитие мускулатуры у цыплят.

В данной работе мы поставили перед собой задачу—изучить влияние 0,001%-ного раствора НРВ на рост и развитие цыплят от одного до двухмесячного возраста.

В своих исследованиях пользовались такой же методикой, как и в предыдущей работе, т. е. НРВ давали цыплятам вместе с питьевой водой в дозировке, установленной из расчета 0,005 мг на 1 кг живого веса.

Было взято два варианта. В первом НРВ цыплятам давали в течение месяца (30–60 дней); во втором—в течение двух декад (40–60 дней).

В начале и конце опыта в каждом варианте отбирались без выбора 10 цыплят и взвешивались, затем 5 голов вскрывали.

РЕЗУЛЬТАТЫ ОПЫТОВ И ИХ АНАЛИЗ

Для развития цыплят в возрасте от 30 до 60 дней характерна постоянная интенсивность роста.

Живой вес за этот период увеличивается примерно в 2–2,5 раза. Заканчивается рост первичного пера.

Анализ результатов опытов (особенностей развития цыплят), приведен в табл. 1 и рис. 1.

Как видно из табл. 1, живой вес опытных цыплят по сравнению с контрольными увеличивается на 11%, т. е. НРВ в целом стимулирует рост цыплят. Причем, если это стимулирующее действие НРВ не столь существенно оказывается на развитии внутренних органов, то оно обуславливает сильное развитие мускулатуры и скелета.

Таблица 1

Влияние НРВ на живой вес, мускулатуру, скелет и внутренние органы цыплят в возрасте от 30 до 60 дней

Объекты взвешивания	Возраст цыплят		
	Контрольная группа	Опытная группа	
	30 днев.	60 днев.	60 днев.
Вес цыпленка (в г)	198	450	500
мускулатуры	67,7	178,5	196,6
скелета	64,2	129,6	150,2
печени	10,0	22,3	22,1
селезенки	0,3	1	1,2
кишечника	38	74,7	75,1
пери	11,5	35,3	36,5

Рис. 1 показывает, что под влиянием НРВ происходит преимущественное развитие мускулатуры по сравнению со скелетом.

Эта закономерность была нами обнаружена и подчеркнута в предыдущей работе.

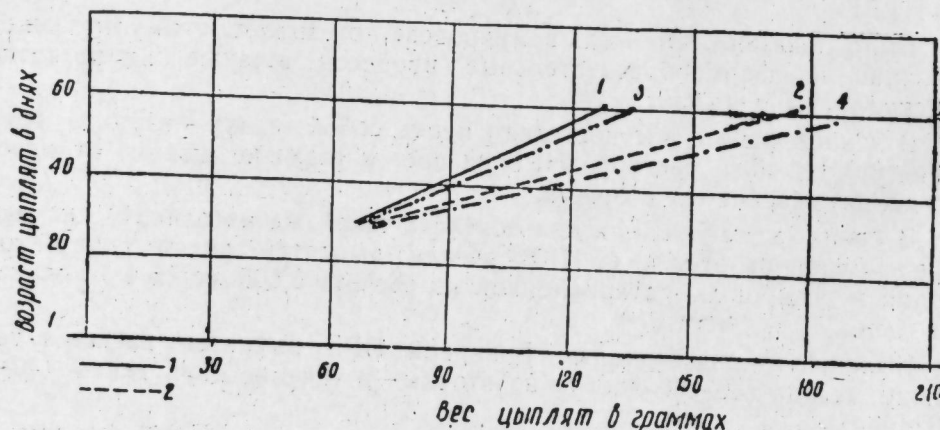


Рис. 1

Темпы роста мускулатуры и скелета цыплят в возрасте от 30 до 60 дней: 1—рост скелета контрольных цыплят; 2—рост мускулатуры контрольных цыплят; 3—рост скелета опытных цыплят; 4—рост мускулатуры опытных цыплят.

Результаты второго варианта изложены в табл. 2 и рис. 2.

Если мы сравним данные, приведенные в табл. 1 и 2, то увидим, что они аналогичны. Следовательно, длительность дачи НРВ существенной роли не играет.

Сопоставляя результаты предыдущей и настоящей работ, мы можем сделать заключение о том, что если для развития цыплят до 30-дневного возраста, характеризующегося окончанием дифференцировки всех органов и тканей, НРВ является стимулятором именно этих процессов, то в развитии цыплят от 30 дней до двухмесячного возраста, характеризующимся постоянной интенсивностью роста всего

Таблица 2

Влияние НРВ на живой вес, мускулатуру, скелет и внутренние органы цыплят в возрасте от 40 до 60 дней

Объекты взвешивания	Возраст цыплят		
	Контрольная группа	Опытная группа	
	40 днев.	60 днев.	60 днев.
Вес цыпленка (в г)	290	450	500
мускулатуры	113	178,7	196,5
скелета	85,5	129,6	153,5
печени	13,2	22,3	22,20
селезенки	0,6	1	1,3
кишечника	50,3	74,4	76,5
пери	21,0	35,3	38,3

организма, НРВ усиливает рост скелета и мускулатуры с преимущественным развитием последней.



Рис. 2

Темпы роста мускулатуры и скелета цыплят в возрасте от 40 до 60 дней: 1—рост скелета контрольных цыплят; 2—рост мускулатуры контрольных цыплят; 3—рост скелета опытных цыплят; 4—рост мускулатуры опытных цыплят.

О механизме действия НРВ

В чем же механизм действия НРВ? Как объяснить причину его положительного влияния? Для того, чтобы ответить на этот вопрос необходимо обратиться к свойствам данного вещества. Как указывалось выше, НРВ — это натриевая соль нафтеновой кислоты. Подобно всем высокомолекулярным соединениям эта соль является поверхности-активным веществом и, следовательно, обладает свойством пони-

жать поверхностное натяжение своего растворителя, накапляясь на его поверхности.

С другой стороны, все поверхностно-активные вещества являются эмульгаторами, т. е. способствуют образованию устойчивых эмульсий.

Отсюда положительное влияние НРВ можно объяснить следующими причинами.

Во-первых, основываясь на точку зрения Сэнфорда [4], можно сделать вывод, что НРВ, как поверхностно-активное вещество накапливаясь на поверхности слизистых оболочек пищеварительного тракта снижает их поверхностное натяжение, улучшая тем самым всасывание питательных веществ.

Во-вторых, НРВ как эмульгатор способствует более полному и более скорому усвоению питательных веществ, которые в эмульгированном виде легко всасываются стенками пищеварительных органов.

Таким образом, НРВ оказывает непосредственное влияние на процессы пищеварения.

С данной точки зрения легко объяснимы вышеизложенные результаты проведенных опытов.

Необходимо отметить, что стимулирующее влияние оказывают слабые концентрации НРВ, которые способствуют сильному понижению поверхностного натяжения слизистых оболочек пищеварительного тракта, тогда как более концентрированные растворы, с одной стороны, снижают его незначительно, а с другой—действуют отравляюще на организм.

По мнению некоторых ученых [5], поверхностно-активные вещества влияют на активность ферментов пищеварительных органов, в частности трипсина. Отсюда, следует, что, возможно, и НРВ также оказывает стимулирующее влияние на активность пищеварительных ферментов.

Выводы

1. НРВ в микродозах оказывает стимулирующее влияние на рост и развитие цыплят в возрасте от 30 до 60 дней, при этом под влиянием НРВ мускулатура получает преимущественное развитие по сравнению со скелетом.

2. Положительное действие НРВ на животный организм обусловливается его непосредственным влиянием на процессы пищеварения.

3. Положительное влияние НРВ оказывает лишь в микродозах.

4. Длительность дачи НРВ существенной роли не играет.

ЛИТЕРАТУРА

1. Мамедалиев Ю. Г., Ахундов М. А., Мустафасов Л. С. Влияние поверхностно-активных веществ нефтяного происхождения на рост и развитие животных. Уч. зап. АГУ, биол. серия, 1960, № 3. 2. Мусаев Э. Ю., Ахундов А. И. Влияние ростового вещества нефтяного происхождения на рост и развитие цыплят в возрасте от 1 до 30 дней. Уч. зап. АГУ, 1963. 3. Сельскохозяйственная промышленность М., 1962. 4. Сен-Дордр Дж. Поверхностно-активные вещества нефти, их свойства и области применения. Доклад на IV Международном нефтяном конгрессе, Берч Дж. Поверхностно-активные вещества и моющие средства, ИЛ, 1960.

АГУ С. М. Кирова

Э. Ж. Мусаев, А. И. Ахундов

Нефт бој маддәсинин чолпаларын бөјүмә вә инкишафына тә'сири

ХУЛАСӘ

Нефт бој маддәсинин 0,001%-ли мәһлүлүнүн 30 вә 60 күнлүк чолпаларын бөјүмә вә инкишафларына тә'сирини өјрәнмәк мәгсәди илә тәчрубләләр гојулмушдур.

Габагы ишләримиздә олдуғу кими, бу тәчрубләримиздә дә еңи методдан истифадә етдик. Белә ки, чолпаларын һәр кг дирі чәкисине 0,005 мл нефт бој маддәси ичмәли суja гарыштырылараг чолпалара верилмишdir.

Тәчрубләләр ики вариантда апарылыштыр. Биринчи вариантда бој маддәси 30—60 күнлүк чолпалара бир ај мүддәтиндә верилди. Иккىчи вариантда исә бој маддәси 40—60 күнлүк чолпалара 20 күн мүддәтиндә верилди.

Тәчрубләрин әvvәлиндә вә ахырында һәр вариантдан 10 баш чолпа чәкилмиш вә һәр вариантдан 5 баш чолпа өлдүрүләрәк, дахили үзвләрдән гара чијәр, далах, һәэм борусу, әзәләләр, скелет вә түкләри көтүрүлмүш, контрол груп чолпалар илә мұгајисә олунараг уйғын нәтичәләр чыхарылыштыр.

Апарылан тәчрубләрдән ашагыдақы нәтичәләри чыхармаг олар:

1. Зәиф гатылыгы бој маддәси 30—60 күнлүк чолпаларын бөјүмә вә инкишафына күчлү тә'сир едир. Ени заманда, бој маддәси скелетә нисбәтән әзәләләрин инкишафына даһа яхши тә'сир көстәрир.

2. Бој маддәси организмә мүсбәт тә'сир етмәклә маддәләр мүбадиләснин күчләндирir.

3. Бој маддәсинин зәиф гатылыгы мәһлүлүу организмә мүсбәт тә'сир көстәрир.

4. Бој маддәси мәһлүлларынын организмә узуи мүддәт верилмәсн әһәмијәтсизdir.

ФИЗИОЛОГИЯ

Т. Г. КУРБАНОВ

ЗНАЧЕНИЕ СИЛЫ РАЗДРАЖЕНИЯ ДЛЯ ИНТЕРОЦЕПТИВНЫХ
ВЛИЯНИЙ НА СОДЕРЖАНИЕ АДРЕНАЛИНА, АЦЕТИЛХОЛИНА,
САХАРА И АКТИВНОСТЬ ХОЛИНЭСТЕРАЗЫ В КРОВИ

(Представлено академиком АН Азербайджанской ССР А. И. Караевым)

Проблема зависимости ответных реакций организма от силы действующего раздражителя, поднята в свое время Н. Е. Введенским, до сих пор не утратила своего значения. Даже более, отношение силы раздражителя — ответная реакция приобрела биологическое значение, став общефизиологической закономерностью реализации рефлекторных влияний на функции организма.

Закон оптимума и пессимума частоты и силы, открытый И. Е. Введенским на нервномышечном препарате, получил свое приложение в отношении сосудистых, блуждающих и аортальных нервов, кровяного давления, секреторных функций, интероцептивных вегетативных рефлексов и т. д. (Булыгин, Воронцов, Гальперин, Грачев, Кулаев, Молоков, Тур и др.).

В последнее время исследованиями А. И. Караева, А. А. Логинова, А. Г. Дадашева, Г. А. Гусейнова, Г. Г. Гасanova, М. С. Гафулова, В. А. Эфендиевой, Л. Мамедовой и другими была показана зависимость величины и характера интероцептивных обменных рефлексов от силы интероцептивной стимуляции. Эта зависимость выразилась в постепенной интенсификации обмена по мере нарастания силы раздражителя до какого-то определенного предела — оптимума, с последующим угнетением интенсивности обмена при достижении силы интероцептивных раздражителей больших величин — пессимума.

Работами Ш. К. Тагиева и Н. Д. Ибрагимовой прослежена последовательность формирования подчиненности интероцептивных обменных рефлексов закону силовых отношений в зависимости от возраста и эволюционного совершенства животного.

А. А. Логиновым было показано также, что характер выявления закона силовых отношений в интероцептивных обменных рефлексах находится в определенной зависимости от функционального состояния центральной нервной системы и, в частности ее вегетативного отдела.

Известно, что возможности осуществления влияний вегетативной нервной системы на течение рефлексов в зависимости от силы раздражителя во многом определяются активностью медиаторов вегетативной нервной системы, принимающих участие в распространении возбуждения и нервной трофики (Кибяков).

В отношении же интероцептивных обменных рефлексов это положение должно иметь максимально большое значение, так как метаболизм медиаторов не протекает изолированно от общей цепи обмена веществ (Коштоянц).

Несмотря на столь важное значение роли медиаторов в реализации интероцептивных влияний на обмен веществ, исследований в этой области очень мало (Караев, Оджахвердизаде, Каграманов), причем все они посвящены выявлению принципиального вопроса — влиянию интероцептивных раздражений на содержание адреналина, ацетилхолина и активность холинэстеразы в крови.

Вопрос же зависимости количественной и качественной активности медиаторной системы от силы интероцептивной сигнализации до сих пор не изучался и тем более не изучался вопрос о влиянии изменения этой активности на течение интероцептивных обменных рефлексов.

Между тем исследования в этой области могут дать ключ к более глубокому пониманию механизма осуществления интероцептивных рефлексов вообще, и обменных, в частности.

Именно последнее и явилось причиной выполнения настоящей работы.

Работа проведена в хронических опытах на 8 собаках.

Прежде чем животные поступали в опыт, они содержались в виварииме несколько дней на определенном пищевом режиме в соответствии с существующими нормами содержания лабораторных животных. Опыты начинались только после адаптации животного к условиям эксперимента.

Интероцептивным полем, с которого вызывался рефлекс на обмен веществ, служили рецепторы слизистой прямой кишки. Выбор указанного рецептивного поля связан с тем, что для него легко подобрать адекватные по природе, силе и продолжительности раздражители (давление) и, что прямая кишка имеет довольно хорошо выраженную двойную (симпатическую и парасимпатическую) иннервацию. Последнее имеет важное значение для выяснения возможности осуществления интероцептивных обменных рефлексов по этим нервным путям.

Раздражение рецепторов прямой кишки производилось в течение одной минуты, после предварительной одночасовой адаптации к нахождению тонкостенного баллончика в ампуле, раздуванием.

Опыты по определению величины оптимальной и пессимальной силы раздражителя для интероцептивного обменного рефлекса на содержание сахара в крови показали, что в большинстве случаев оптимальная сила равна давлению в 60 мм рт. ст., а пессимальная — 80 мм рт. ст.

Кровь для исследований бралась из краевой вены уха и вены передних лап животного, утром, натощак, до раздражения — две пробы с 10-минутным интервалом, и после него — тут же, через 5, 10, 15, 30, 45, 60 мин.

Содержание сахара в крови определяли фотоколориметрическим методом А. Ф. Криницкого. Адреналиноподобные вещества — методом Шоу в микромодификации Э. Ш. Матлиной. Ацетилхолин — методом Ш. Хистрина в модификации Л. Я. Лившиц, В. И. Рубин. Активность

холинэстеразы (истинной и ложной) — методом Э. Ш. Матлиной, В. М. Приходжан. Исследования показали (рис. 1), что в ответ на оптимальную (60 мм рт. ст.) силу раздражения рецепторов прямой кишки среднее максимальное повышение содержания сахара в крови равно 28% ($P > 0,01$), адреналиноподобных веществ — 25% ($P > 0,01$) и активности истинной холинэстеразы — 15% ($P > 0,01$). Одновременно было обнаружено снижение активности псевдохолинэстеразы в среднем на 14% ($P > 0,01$) и содержания ацетилхолина — 13% ($P > 0,01$).

Изменение содержания сахара в крови шло параллельно увеличению уровня адреналиноподобных веществ. Подобный параллелизм обнаружили также Ратнер Н. А., Денисова В. А., Смажнова Н. А., Оджахверди-заде С. Р. и др.

В ответ на пессимальную силу раздражения (80 мм рт. ст.) гипергликемический и гиперадреналинический эффект был менее выражен (рис. 2) и соответствовал повышению содержания сахара в крови в среднем на 14% ($P > 0,01$), а адреналиноподобных веществ — 13% ($P > 0,01$). Отмечается резкое увеличение содержания ацетилхолина — 31% ($P > 0,01$) и активности истинной холинэстеразы. Последнее стало более значительным, чем в ответ на оптимальную силу раздражения и соответствовало — 32% ($P > 0,01$) при одновременном, также более значительном, чем в первом случае — снижении активности псевдохолинэстеразы на 29% ($P > 0,01$).

Таким образом, результаты исследований показывают, что содержание адренергических веществ и ацетилхолина в крови, а также активность истинной и ложной холинэстеразы в ответ на раздражение

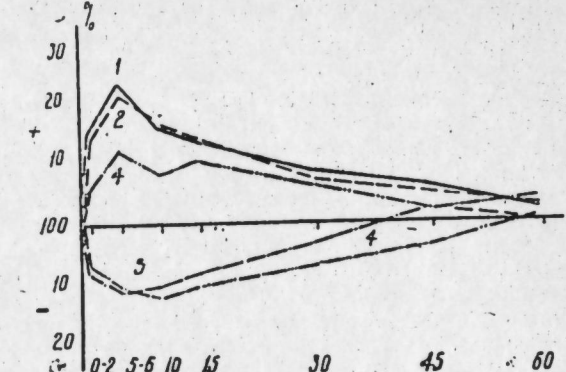


Рис. 1

Влияние оптимальной интероцептивной стимуляции на содержание сахара (1), адреналиноподобных веществ (2), ацетилхолина (3), активности истинной холинэстеразы (4) и ложной холинэстеразы (5).

По оси ординат — величина интероцептивного обменного рефлекса в процентах к исходному (100%).

По оси абсцисс — время, мин.

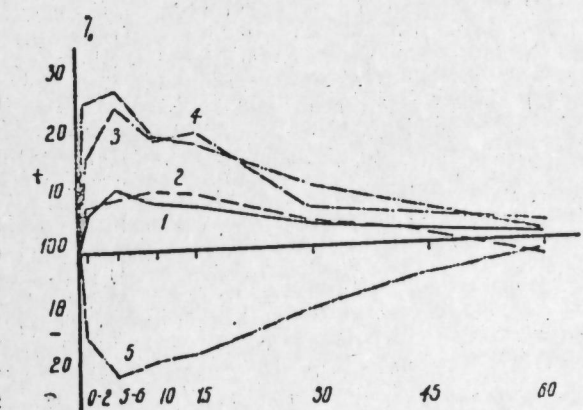


Рис. 2

Влияние пессимальной интероцептивной стимуляции на содержание сахара (1), адреналиноподобных веществ (2), ацетилхолина (3), активности истинной холинэстеразы (4) и ложной холинэстеразы (5).

По оси ординат — величина интероцептивного обменного рефлекса в процентах к исходному (100%).

По оси абсцисс — время, мин.

ние интерорецепторов изменяются в зависимости от силы действующего раздражителя и, подчиняются закону силовых отношений.

ЛИТЕРАТУРА

1. Булыгий И. А. О закономерностях и механизмах влияний с интерорецепторов на головной мозг. Сооб. 1. Бюлл. эксп. биол. и мед., т. XXIX, 1950, вып. 1. 2. Введенский Н. Е. Об отношении между силой раздражения и высотою тетануса при непрямом раздражении мышцы. Физиология нервной системы. Избр. тр. 1952, вып. 11. З. Гафулов М. С. Влияние раздражения рецепторов семенных желез у половозрелых и неполовозрелых собак на содержание сахара в крови. Тез. докл. VIII научн. конф. аспир. АН Азерб. ССР, 1960. 4. Грачев И. И. Оптимум и пессимум частоты механического раздражения для выноса молокоотделительного рефлекса. Уч. зап. ЛГУ, сер. биол., 1954, № 176, вып. 37. 5. Гусейнов Г. А. К вопросу о взаимодействии экстero- и интерорецептивной сигнализации в регуляции обмена веществ. Материалы научн. конф. по проблеме „Механизмы кортико-висцер. взаимоотн.“, Баку, 1960. 6. Карагаманов К. М. Влияние раздражения рецепторов различных внутренних органов на некоторые стороны ацетилхолинового обмена. Автореф. дисс., Баку, 1958. 7. Карапов А. И. Интерорецепторы и обмен веществ. Баку, 1957. 8. Карапов А. И., Логинов А. А. Интерорецептивные обменные рефлексы. АГУ, 1960. 9. Криницкий А. Ф. Фотоколориметрический метод определения сахара в крови. „Врач. дело“, 1958, № 9. 10. Лившиц Л. Я., Рубин В. И. Об определении ацетилхолина и ацетилхолиноидных веществ в спинномозговой жидкости. „Лабр. дело“, 1961, № 3. 11. Матлина Э. Ш. Модификация метода Шоу для определения содержания адреналиноидных веществ в небольшом количестве крови. „Лабр. дело“, 1962, № 2. 12. Матлина Э. Ш., Приходкин В. М. К методике определения холинэстеразы в крови. „Лабор. дело“, 1961, № 6. 13. Мамедова Л. И. Влияние раздражения интерорецепторов желудка и прямой кишки на содержание витамина С в крови и поглотительную способность белков крови по отношению к витамины С. „Вопр. физиологии“, 1962, т. V. 14. Молоков Б. В. Извращение сердечных рефлексов у лягушки. Вопр. физиологии нервной и мышечной систем. Труды ЛС—ГМИ, 1950, т. VII. 15. Оджахверди-заде С. Р. Влияние раздражения рецепторов прямой кишки и мочевого пузыря на адреналинообразовательную функцию надпочечников желез. Материалы второй конф. Закавказ. пед. ин-та по проблемам физиологии. Баку, 1958, т. V. 16. Оджахверди-заде С. Р. Влияние раздражения механорецепторов желудка на адреналовую систему мозгового слоя надпочечника. Материалы научн. конф. по проблеме „Механизмы кортико-висц. взаимоотн.“ Баку, 1960. 17. Ратнер Н. А., Денисова В. А., Смагирова Н. А. Гипертонические кризы. М., 1958. 18. Тагиев Ш. К. Безусловные и условные интерорецептивные обменные рефлексы у представителей различных групп позвоночных животных. Материалы научн. конф. по проблеме „Механизмы кортико-висц. взаимоотношений“. Баку, 1960. 19. Тагиев Ш. К., Ибрагимова Н. Д. Особенности динамики безусловно-интерорецептивного обменного рефлекса у щенков в раннем антогенезе. „Изв. АН Азерб. ССР, серия биол. и мед. наук“, 1963, № 2. 20. Эфендиева В. А. Интерорецептивные обменные рефлексы с влагалищем при различных функциональных состояниях половой сферы. Автореф. дисс. Баку, 1963.

Сектор физиологии

Поступило 5. VI 1963

Т. Н. Гурбанов

Интероресепторлардан ганын адреналини, асетилхолини, шәкәр вә холинестеразасы фәаллығына олан тә'сирләрдә гычыг гүввәсинин әһәмијәттә

ХУЛАСӘ

Һәлә вахты илә Н. Е. Введенски тәрәфиндән кәшф едилмиш гүввәләр мұнасибәти гануну бу вахта гәдәр белә өз әһәмијәттін итирмәмишdir. Н. Е. Введенски тәрәфиндән йарадылыш оптимум вә пессимум гануну там организмдә дамар, секретор функциялары, интероресептик вегетатив рефлексләре вә дикәр рејаксијалара да тәтбиғ едилмишdir.

Лакин медиатор системи фәаллығының қәмијәт вә кејфијәтчә дәнишмәсінин интересептик гычыглары гүввәсиндән асылы олмасы мәсәләсі бу вахта гәдәр өјрәнилмәмишdir. Ежى заманда, бу системин фәаллығының дәнишмәсінин интересептик мүбадилә рефлексләринин кедишине тә'сирі айдашырылмашыдыр.

Экәр нәзәрә алсаг ки, бу саңәдә апарылан тәдгигат ишләри, үмүмийәттә, интересептик рефлексләрин вә хүсусән мүбадилә рефлексләринин ичра олуимасының даңа дәрнә механизмнин дәрк етмәјә имкан верәр, онда мөвзунун нәзәри әһәмијәти мејдана чыхыр.

Назыркы тәдгигат иши дә бу мұлаһизәјә әсасланыраг апарылмашыдыр. Апарылан тәдгигатларын нәтижәсі көстәрди ки, ганда адренергик маддәләрин вә асетилхолинин мигдары, еләчә дә һәғиги вә јаланчы холинестеразасының фәаллығы тамамилә гүввәләр мұнасибәти ганунуна табедиir.

АРХИТЕКТУРА

Н. А. САРКИСОВ

О НЕКОТОРЫХ ОСОБЕННОСТЯХ ПОСТРОЕНИЯ ОРНАМЕНТАЦИИ
КЕРАМИЧЕСКОГО ДЕКОРА В АРХИТЕКТУРЕ АЗЕРБАЙДЖАНА

(Представлено академиком АН Азербайджанской ССР М. А. Усейновым)

Геометрический орнамент типа „гирех“,¹ благодаря бесконечному многообразию вариантов построения, снискал большую популярность в декоративном искусстве Азербайджана. Возникнув, вероятно, в технике резьбы по алебастрю—„гаже“, он проникает во многие области народного прикладного искусства,—ковроткачество, гончарное ремесло, чеканку по металлу, резьбу по дереву. Архитектура становится одной из важных областей умелого переложения „гирехов“ в различные строительные материалы и подчинения их сложным задачам строительного искусства. Под термином „гирех“ мы подразумеваем не любой геометрический орнамент примолинейного начертания (как считал это Н. Б. Бакланов)², а лишь его разновидность, строящуюся по лучевым сеткам. Линии лучевых сеток в пересечениях образуют своеобразную координатную сетку, по которой располагаются элементы орнамента. Количество лучей, исходящих из полюсов-центров, определяет вид основных фигур (шести-, восьми-, десяти- и двенадцатигольников); пространство между основными фигурами заполняется дополнительными фигурами, определяемыми продолжением линий основных фигур и точками пересечения этих линий с лучами сетки. Мастера архитектурного декора, зачастую не зная математического выражения применяемых ими геометрических фигур, практически умело пользовались методом графического построения, основанным на геометрии круга. С помощью этого метода легко воспроизводились построения треугольника, квадрата, прямоугольников и многоугольников, т. е. тех фигур, из сочетания которых строились элементы узора.

¹ Н. Б. Бакланов. Гирех. Геометрический орнамент Средней Азии и методы его построения. „Советская археология“ М.—Л., IX, 1947; С. М. Хмельницкий. Свиток из Бухары. Декоративное искусство СССР. М., 1959, № 1; Л. И. Ремпель. Архитектурный орнамент Узбекистана. Ташкент, 1961.

² Н. Б. Бакланов. Ук. соч., стр. 102—103.

Заниматься сложным искусством составления „гирехов“ могли лишь специалисты, „мухандисы³“, свободно владевшие решением задач прикладной математики и выработавшие, путем долголетней практики, удивительную способность мыслить абстрактными геометрическими образами.

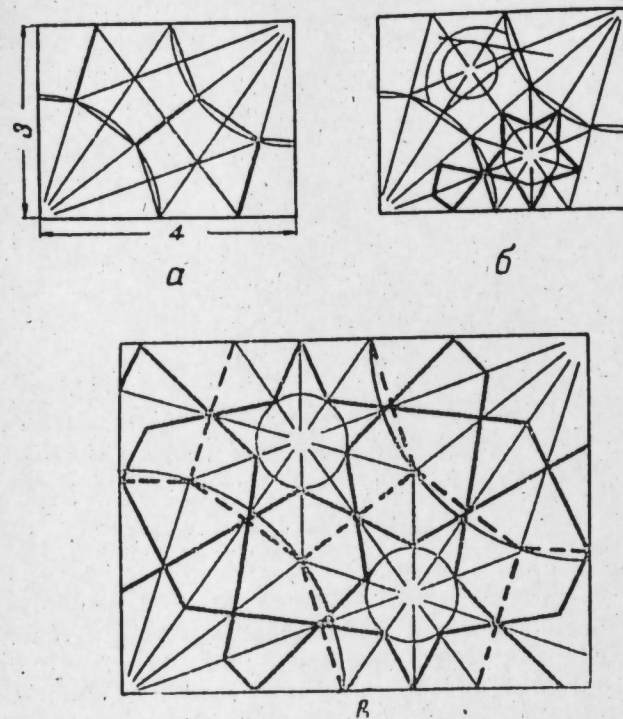


Рис. 1

Построение орнамента в границах прямоугольного контура на пятилучевой сетке. Мавзолей Момине-Хатун:

a—построение основных и дополнительных фигур; *b*—построение звездчатых фигур орнамента; *c*—общий вид построенного узора

трудя, восстановить принципы его построения. Построение „гиреха“ практически сводившееся в построению одного рапорта, складывается из четырех, последовательно решаемых, задач.

Выбор контура рапорта, делящего после орнамента на удобные в процессе производства отделочных работ стандартные части. Наиболее распространенная форма контуров—квадрат, прямоугольник, треугольник.

Построение лучевых сеток внутри выбранного контура; поле контура лучами, проводимыми из одного или двух полюсов, разбивается на элементарные треугольники.

³ Л. С. Бретаницкий, А. В. Саламзаде. Профессиональные эвакии зодчих и мастеров архитектурного декора по данным строительной эпиграфики Азербайджана. „Эпиграфика Востока“. М.—Л., 1960, вып. 12, стр. 20. Л. С. Бретаницкий. Зодчество Азербайджана XII—XV вв. и его место в архитектуре Переднего Востока. Автореферат доктор. дисс.. Л., 1961.

⁴ М. С. Айдресев. Старинные свитки-альбомы из Бухары с образцами архитектурного орнамента. „Изв. отд. обществ. наук АН Таджик. ССР“, 1956, т. X—XI.

⁵ С. Хмельницкий. Указ. соч., стр. 31.

⁶ Методика прочтения „гиреха“ впервые была правильно раскрыта Г. И. Гагановым. См. Г. И. Гаганов. Геометрический орнамент Средней Азии. „Архитектурное наследство“, № 11, М., 1958, стр. 182.

Построение основных и дополнительных фигур, осуществляющееся по проведенной сетке лучей, заключается в соединении точек пересечения лучей в сопрягающиеся между собой геометрические фигуры. Набор основных и дополнительных фигур, полностью покрывающих поле рапорта, представляет уже как бы выполненный в масштабе схематический рисунок будущего орнамента.

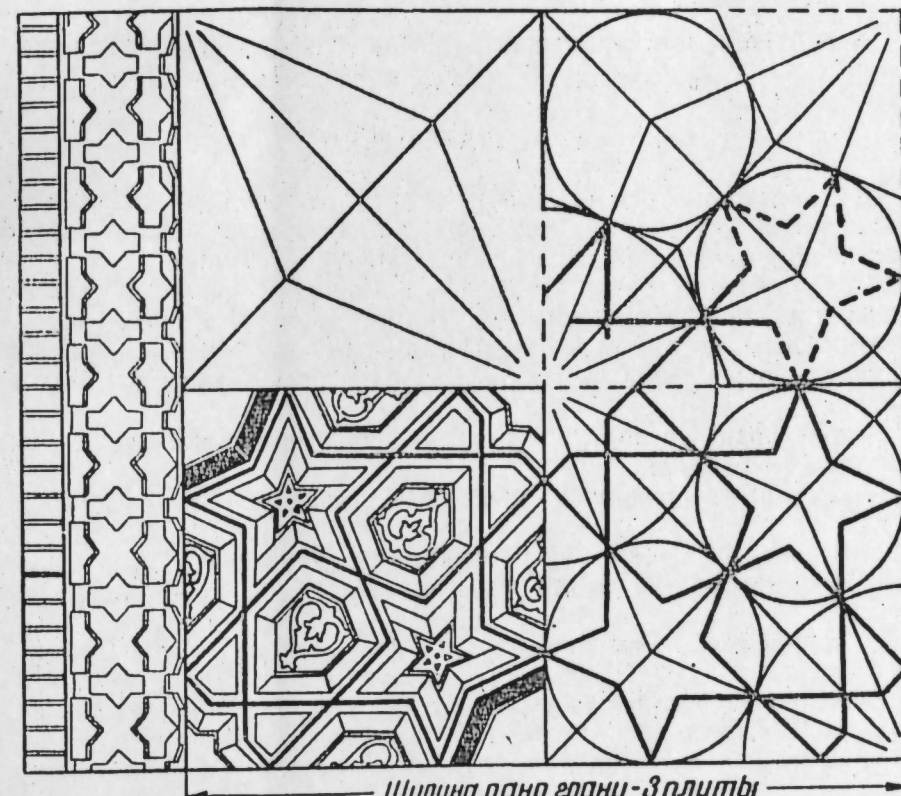


Рис. 2
Построение орнамента в границах квадратного контура на четырехлучевой сетке. Мавзолей Момине-Хатун

Конечное построение орнамента заключается в детализации основных и дополнительных фигур элементами искомого орнамента, в сопряжении дающих окончательный рисунок „гиреха“. На основании установленного нами порядка решения „гирехов“ проследим на конкретном примере (орнаментика одной из граней мавзолея Момине-Хатун) построение узора в границах—прямоугольного контура. На контуре прямоугольного рапорта с пятилучевой сеткой строятся основные фигуры—две четверти десятиугольников и дополнительные—два пятиугольника и две трапеции. (рис. 1, *a*). В полученные на сетке основные и дополнительные фигуры последовательно вписываются десятиконечная и пятиконечная звезды, в трапецию—лист чинара⁷ и орнамент приобретает законченный вид (рис. 1, *b*, *c*) также строится „гирех“ и в квадратном контуре на 4-х лучевой сетке (рис. 2).

Проведенное нами исследование показало, что методика построения „гирехов“, широко применявшаяся в керамическом декоре, осно-

⁷ Г. И. Гаганов Ук. соч., стр. 191.

;вана на последовательном решении задач прикладной геометрии
владея методикой построения „гирехов“ художники-орнаменталисты
могли создавать бесконечные варианты сюжетных композиций.

АзПИ

Поступило 28. IV 1963

Н. А. Саркисов

Азәрбајҹан ме'марлығында керамик декорун гурулмасының бә'зи хүсусијәтләри һагында

ХУЛАСӘ

Дүэхәтли кеометрик орнамент—„киреһ“ Азәрбајҹан ме'марлыг ке-
рамикасында бөյүк әһәмијәтә малиkdir. Орнамент нөвләриндән олан
„киреһ“ дүјүмләри дамалар үзәриндә тәшкіл едилир.

Мәгаләдә кеометријаја әсасланан һәмин гәлиз орнамент нөвләрин-
дән бәһс едилир. „Киреһләrin“ гурулмасы әсас вә әлавә дүзкүн чох-
бучаглы фигурларын бирләшмәсindән әмәлә кәлир. „Киреһlәrin“
гурулмасы орнаментин әсас һиссәси олан „рапортун“ гурулмасы де-
мәkdir.

„Киреһlәrdə“ „рапортун“ гурулма принципи ашағыдақы мәрһә-
ләләрдә ифа едилир:

1. „Рапорт“ сәрһәддинин сечилмәси (квадрат, дүзбучаглы, үчбу-
чаг).
2. Верилән сәрһәддә шүа дамаларының гурулмасы.
3. Шүа дамалары үзәриндә әсас вә әлавә фигурларын дүзәлдил-
мәси.
4. Орнаментал мөвзунун әсас вә әлавә фигурлар үзәринә чәкил-
мәси.

Мүшәнидә илә тә'јин едилишидир ки, Азәрбајҹан иәгашлары „ки-
реһlәrin“ ишләдилмәси устадына јијәләндикләри үчүн мұхтәлиф вә
choхвариантлы орнаментал композициалар дүзәлтмәје наил олмушлар.

АЗӘРБАЈЧАН ССР ЕЛМЛӘР АКАДЕМИЯСЫНЫН МӘРУЗӘЛӘРИ
ДОКЛАДЫ АКАДЕМИИ НАУК АЗЕРБАЙДЖАНСКОЙ ССР

XX ЧИЛД

№ 1

1964

ТАРИХ

К. А. Рәнимов

СОСИАЛИЗМ ГУРУЧУЛУГУНУН БАША ЧАТДЫҒЫ ИЛЛӘРДӘ АЗӘРБАЈЧАН ССР-ИН АФЫР СӘНАЈЕСИНДӘ (нефт сәнајесиз) ИХТИРАЧЫЛАР ВӘ СӘМӘРӘЛӘШДИРИЧИЛӘР ҺӘРӘКАТЫНА ДАИР

(Азәрбајҹан ССР ЕА академики Н. А. Һүсејнов тәгдим етмишидир)

Русијада ихтирачылыг һагында биринчи ганун 1914-чу илдә ве-
рилмиши¹. Лакин ихтира вә сәмәрәли тәклифләрин һәјата кечирил-
мәси үчүн әлверишли шәрант олмадығындан вә чар һәкумәти бу ишә
лазымы әһәмијәт вермәдијиндән Совет һакимијәти гуруланадәк Русија
ихтирачылыг вә сәмәрәләшдиричилек саһесинде керидә галмышды.

Совет һакимијәтинин гурулмасы илә ихтирачылыг вә сәмәрәләш-
диричилек һәрәкатының сүр'этлә инициафы үчүн кениш имканлар
јараданды.

В. И. Ленин 1919-чу ил сентябр айынын 30-да ихтирачылыг һагында илк социалист декретини имзалады². Һәмни декретлә дүнија та-
рихиндә илк дәфә олараг Совет өлкәсинде ихтиralар үзәриндә со-
циалист мүлкијәти е'лан едили вә ихтиralарын тәтбиғи үмумхалг
иши олду.

Коммунист партиясы вә Совет һәкумәти ихтирачылар вә сәмәрә-
ләшдиричиләр һәр васитә илә кенишләндирilmәсine хү-
суси фикир вермиш вә верир. Бу мәсәләјә чидди әһәмијәт верилмә-
си Сов. ИКП-нин јени программыда да вә эксини тапмышыдыр. Прог-
рамда јазылыр: „Јени техники тәкмилләшdirмәләр јарадылмасы вә
бүнларын тәтбиғ едилемәси ишинде Халг Тәсәррүфаты шураларынын,
мүәссисәләрин, ичтиман тәшкілатларын, алымләрин, мүһәндисләрин,
конструкторларын, фәhlәләрин, колхозчуларын тәшеббүсүнү һәр ва-
ситә илә кенишләндирмәк лазымдыр. Күтләви ихтирачылыгы вә сәмә-
рәләшdiрмә һәрәкатыны, јени техника истеһсалына башлајан вә бун-
дан бачарыгla истифада едән мүәссисәләри, сехләри, совхозлары, кол-
хозлары, бригадалары вә әмәк јениликчиләрини мадди вә мә'нәви
чәһәтдән һәвәсләндирмәјин биринчи дәрәчәли әһәмијәти вардыр³.

¹ М. Султанов. Ихтира вә сәмәрәләшдиричиләрә көмәк. Азәриш, 1960, сәh. 6.

² М. Х. Султанов. Кәшф, ихтира вә сәмәрәләшдиричилек тәклифләри неча рас-
мияшdiрмәли. Бакы, 1962, сәh. 3.

³ Сов. ИКП XXII гурултајынын материаллары, Бакы, 1962, сәh. 406.

Ихтирачылыг вә сәмәрәләшдиричилек һәрәкатына бөյүк әһәмијәт верилмәси тәсадуфи дејилдир. Техники тәрәгги саһәсинде күтләләрин һарадычылыг тәшәббүсүнү ифадәси олан бу һәрәкат истеңсалы даһа сәмәрәли тәшкил етмәкдә, әмәни ўнкулләшдиримәкдә, һәмчинин әмәк мәһсүлдарлығыны артырмаг, вәсәнгә гәнаәт етмәк вә мәһсулун маја дәјәрини ашағы салмаг үчүн Јени-Јени еһтијат мәнбәләри ашкара чыхармагда бөйүк рол ојнајыр.

Сосиализм гургуулуғынун баша чатдығы 1953—1958-чи илләрдә республикамызын сәнаје мүәссисәләриндә чалышан фәhlә вә мүһән-дис-техник ишчиләр арасында ихтирачылыг вә сәмәрәләшдиричилек иши хејли кенишләнмишdir. Бу илләрдә һәм ихтирачы вә сәмәрәләшдиричиләрни сајы, һәм дә истеңсалатда тәтбиғ едилән ихтираларын вә сәмәрәли тәклифләрин мигдары әһәмијәтли дәрәчәдә артмышдыр. Экәр 1953-чу илдә истеңсалата вә тикнитијә тәтбиғ едилән тәклифләрин сајы 8635 идисә⁴, 1958-чи илдә белә тәклифләр 16000 олмушдур.⁵

Көрүндүjү қими, аз мүддәт ичәрисинде тәтбиғ едилән тәклифләрин сајы тәгрибән 2 дәфә артмышдыр ки, бу да һарадычылыг ишиндә бөйүк мүвәффәгијәтдир. Тәтбиғ едилән тәклифләрдән илдән-илә даһа чох гәнаәт көтүрүлмәси дә севиндиричидир. Мәсәлән, 1952—1954-чү илләрдә, үч ил әрзиндә көтүрүлән 11,5 млн. манат мүгабилиндә, тәкчә 1958-чи илдә 9,2 млн. манат гәнаәт әлдә едилмәси буны ачыг көстәрир⁶. Демәлн, бир илдә аз гала әввәлки үч илә бәрабәр гәнаәт көтүрүлмушдур. Ихтирачы вә сәмәрәләшдиричиләрни сајы да чохалмышдыр. Онларын сајы 1956-чы илдәк 1018 нәфәр әвәзинә⁷ 1958-чи илдә артыб 13 828 нәфәрә чатмышдыр⁸.

Азәрбајҹан ССР-ин ағыр сәнаје мүәссисәләриндә дә 1953—1958-чи илләрдә ихтирачы вә сәмәрәләшдиричиләрни сајы артмыш, онлар даһа чох тәклиф вермиш вә бөйүк гәнаәт көтүрмушләр.

“Азәрнефтмаш” трестинде ихтирачы вә сәмәрәләшдиричиләрни мигдары, тәклифләр вә әлдә едилән гәнаәт нағында һәмни трестин материаллары әсасында тәртиб едилмиш 1-чи чәдвәл айдан тәсәвүр верир.

1-ЧИ ЧӘДВӘЛ

Илләр	Тәклифләр ирәли сүрүлмушлұр	Тәтбиғ едилмишdir	Гәнаәт едилмишdir (мин һесабы илә)	Мүәллифләр	О чүмләдән фәhlәләр
1953	3817	2357	4441	1769	982 ⁹
1954	3906	2431	4552,5	1885	1215 ¹⁰
1955	4567	2721	6020	1955	1319 ¹¹

⁴ Сов. ИКП Іанында марксизм-ленинизм институтунун Азәрбајҹан филиалынын партия архиви, фонд 1, сијаһы 313, иш 313, вәрәг 24.

⁵ Развитие народного хозяйства Азербайджанской ССР и рост материального и культурного уровня жизни народа, Баку, 1961, сәh. 46.

⁶ Йенә орада, вәрәг 24, сәh. 46.

⁷ Үмумиттифаг ихтирачылар вә сәмәрәләшдиричиләр чәмијәти, Азәрбајҹан шурасынын чары архиви.

⁸ Азәрбајҹан ССР Мәркәзи Статистика Издәсінин архиви, фонд 1, сијаһы 1 иш 275, вәрәг 1.

⁹ Азәрбајҹан ССР ОИМДА, фонд 1637, сијаһы 5, иш 662, вәрәг 4.

¹⁰ Азәрнефт бирлигинин архиви техника шөбәси, сијаһы 4679, иш 447, бағлама 30, вәрәг 152.

¹¹ Йенә орада, иш 248, бағлама 30, вәрәг 31, 36.

1-чи чәдвәл сәмәрәли тәклифләрин, онлардан тәтбиғ едиләнләрни, әлдә едилән гәнаәтин мигдарынын вә һәмчинин, мүәллифләрни сајынын илбәйл артмасыны ачыг көстәрир. 1953-чу илдә олан 982 фәhlә әвәзинә 1955-чи илдә 1319, јәни 237 нәфәр артыг фәhlәнин сәмәрәләшдиричиләр сырасына гошулмасы да фәрәhlәндирчи .һалдыр. Бу көстәрир ки, социализм чәмијәтиндә елмин вә техникинын јени ѡлларының һалныз елм адамлары дејил, набелә әмәли ишлә мәшгүл оланлар, ишдә јенилик һараданлар да ачыр.

Ихтирачылыг вә сәмәрәләшдиричилек һәрәкатынын кенишләнмәси ағыр сәнајеин башга саһәләриндә дә мүшәнидә едилир. Мәсәлән, Сумгајыт синтетик каучук заводунда 1953-чу илдә сәмәрәләшдиричиләрни сајы 83 нәфәр идисә, 1955-чи илдә онларын сајы иккى дәфәдән дә чох артараг 167 нәфәр олмушдур. Һәмни заводда мугајисә едилән илләр әрзиндә көтүрүлән гәнаәтин мигдары да хејли артмышдыр. 1953-чу илдәк 411,6 мин манат әвәзинә 1955-чи илдә 4473,1 мин манат олмушдур¹². Республикамызын ән ири ағыр сәнаје мүәссисәләрнән бири олан В. И. Ленин адына Азәрбајҹан бору прокаты заводунда да ejni мәнзәрәни көрмәк олар. Бурада 1953-чу илдә 71 сәмәрәли тәклиф ирәли сүрүлмушдус¹³, 1955-чи илдә белә тәклифләрни сајы 134 олмушдур¹⁴. Сәмәрәли тәклифләрни тәтбиғиндән көтүрүлән гәнаәтин мигдары хејли артыб, 1953-чу илә иисбәтән 1955-чи илдә 916200 манат чох олмушдур¹⁵.

Сов. ИКП МК-нын ијул Пленуму (1955-чи ил), XX гурултај техники тәрәггини сүр'әтләндирмәк үчүн бөйүк програм гәбул етди ки, бу да ejni нөвбәсендә бизим республикада датехники тәрәггијә, һәмчинин, ихтирачылыг вә сәмәрәләшдиричилек һәрәкатынын даһа да кенишләнмәсінә бөйүк тәкан верди. Һәјата кечирилән тәдбирләрни мүсбәт тә'сирина ашағыдакы фактлардан көрмәк олар. 1956-чи илн 9 аյы әрзиндә Бакы електрик машиныгајырма заводунда 175 тәклиф ирәли сүрүлмушдуду ки, бу да кечән илн мүвағиғ дөврүндә олдуғундан 2 дәфә артыг иди¹⁶. Башга бир мисал: 1956-чи илдә Кешлә машиныгајырма заводунун тәкчә 2 №-ли сехиндә 33 сәмәрәләшдиричич тәклиф һәјата кечирилмишdir ки, бунунла да дөвләт вәсантинә 300000 манат гәнаәт едилмишdir¹⁷. Бу кечән илн мүвағиғ дөврүнә иисбәтән хејли артыг иди.

Сәмәрәләшдиричилек ишинә көмәк мәгсәдилә алимләрни сәмәрәләшдиричи вә ихтирачылар бирликтә кечириди мүшавириләр, заводлар арасында апарылан тәчрүбә мүбадиләси, сәмәрәләшдиричиләрлә билаваситә иш јеринде сөһбәт апарылмасы, истеңсалатын ән зәніф саһәси үчүн сәмәрәли тәклифләр ирәли сүрүлмәси нағында мүсабиғәләр кечирилмәси, мөвзү көстәричиләри е'лан едилмәси, заводларда сәмәрәләшдиричилек үзәр ичтимай баҳышлар кечирилмәси бу һәрәкатын кениш јаýымасына тә'сир едән амилләрдир.

1956-чи илдә кечирилән ихтирачы вә сәмәрәләшдиричиләрни биринчи Үмумиттифаг мүшавири, 1957-чи илдә Халг Тәсәрүфаты Шурасының тәшкили, 1958-чи илдә Үмумиттифаг Ихтирачылар. вә Сәмәрәләшдиричиләр чәмијәтини Азәрбајҹан Шурасының һарадыл-

¹² Мә'лumatlар Сумгајыт СК заводу, ихтирачылар вә сәмәрәләшдиричиләр бүросунун архивиндей көтүрүлмушдур.

¹³ Азәрбајҹан ССР ОИМДА, фонд 2511, сијаһы 2, иш 973, вәрәг 16.

¹⁴ Мә'лumatlар Азәрбајҹан бору прокаты заводу ихтирачылар вә сәмәрәләшдиричиләр бүросунун архивиндей көтүрүлмушдур.

¹⁵ Йенә орада.

¹⁶ МЛИ-ни Азәрбајҹан филиалынын партия архиви фонд 1, сијаһы 266, иш 238, вәрәг 167.

¹⁷ МЛИ-ни Азәрбајҹан филиалынын партия архиви, фонд 1, сијаһы 354, иш 12, вәрәг 99.

масы республика ағыр сәнаје мүәссисәләри ихтирачы вә сәмәрәләшдиричиләринин ишини даһа да чанландыры. 2-чи чәдвәл 1956—1958-чи илләрдә республиканын ири сәнаје мүәссисәси олан бору прокаты заводунда ихтирачылар вә сәмәрәләшдиричиләр һәрәкатынын инкишаф динамикасыны айдан көстәрир¹⁸.

2-ЧУ ЧӘДВӘЛ

Илләр	Тәклиф ирәли сүрүлмүшдүр	Һәјата кечирилмишиләр	Гәнаәт әлдә едилмишиләр (мин манатла)
1956	393	117	1315
1957	334	173	1492
1958	515	250	2524

Республиканын бөјүк кимја сәнаје мүәссисәси олан синтетик каучук заводунда да һәрәкат јүксәлән хәтлә инкишаф едири. Буну 3-чу чәдвәлдән айдан көрмәк олар.

3-ЧУ ЧӘДВӘЛ

Илләр	Тәклиф ирәли сүрүлмүшдүр	Һәјата кечирилмишиләр	Гәнаәт әлдә едилмишиләр (мин манатла)
1956	607	393	6803
1957	755	428	5459,2
1958	770	467	7813

Ихтирачылыг вә сәмәрәләшдиричилек һәрәкатына һәр ил јени гүвәләр гошулараг, јени-јени наилийјәтләр әлдә едилерди. 4-чу чәдвәл өјрәндүймиз дөврүн сон илләрниң бизи марагандыран сәнаје саһаләри үзрә ихтирачылыг вә сәмәрәләшдиричилүүнүн вәзијјәтиниң айдан экс етдирир¹⁹.

4-ЧУ ЧӘДВӘЛ

Санаје саһаләри	Ихтирачы вә сәмәрәләшдиричиләрин мигдары		Чөмни тәклиф		Тәтбиг едилмишиләр		Гәнаәт әлдә едилмишиләр (мин манатла)	
	1957	1958	1957	1958	1957	1958	1957	1958
1 Машынгајырма вә метал е'малы	2304	2613	6572	7641	3404	4135	6235,7	11335,8
2 Кимја, резин	662	742	1591	1644	710	734	6829	9005,2
3 Електростансия, электрик вә истилек шәбәкәләри	616	652	1094	1144	662	717	3593	4602,8
4 Дағ-мә'дән	276	342	742	905	295	374	2932,2	4703,8

Гејд: гәнаәти һесабланан тәклифләр бу гәдәрдир. Бу вә ја дикәр сәбәб үзүнән гәнаәти һесабланан билмәјен тәклифләр бура дахил дејилдир.

1953—1958-чи илләрдә республиканын ағыр сәнаје мүәссисәләринин мүнтәзәм вә қәркин эмәјилә шөһрәт газанан, талантлы јарадычы кими таныныш истеңсалат габагчыллары—ихтирачы вә сәмәрәләшди-

¹⁸ Мәлүматлар Азәрбајҹан бору прокаты заводу ихтирачылар вә сәмәрәләшдиричиләр Сүросунун архивиндән көтүрүлмүшдүр.

¹⁹ Үмумиттифаг ихтирачылар вә сәмәрәләшдиричиләр чөмнијјетиниң Азәрбајҹан республика шурасының чары архиви.

ричиләр чох иди. Онлардан Э. Э. Балабәј (Кешлә машынгајырма заводунда уста), Н. Тарасов (Бакы вагон тә'мири заводунда ресорчы), Й. Эләскәров (һәмми заводда торначы), Э. Шејдајев, Б. Чавадов (СК заводунун мүһәндисләри). Б. Эһмәдов (Бору прокаты заводунда баш мүһәндис), В. Болдырев (һәмми заводда поладәридән), Ф. Мухтаров (Дашкәсән дағ-мә'дән комбинатында мүһәндис) вә башгаларының өз ишләдикләри мүәссисәләрдән хејли узагларда адлы-санлы адамлар кими таныырдылар.

Ихтирачылар вә сәмәрәләшдиричиләр ичәрисинде фәhlә вә мүһәндис-техник гадынлар да вардыр. Бакы електрик машынгајырма заводунун устасы А. Јефимова, Азәрбајҹан бору прокаты заводунун јајычысы З. Џәсәнова, Дашикәсән дағ-мә'дән комбинатын маторчусу К. Вәлијева, КМЗ-нин торначысы Т. Гурбанова, л. Шмидт адына заводун ишчиси Н. Гијасбәјова вә башгалары көркәмли истеңсалат габагчыларыбыр. Онларын ирәли сүрдүјү тәклифләрин һәјата кечмәсилә хејли пул вә хаммала гәнаәт едилмишиләр.

Азәрбајҹанын шәрәфли әмәк вә јарадычы зәқа саһиби олан, мәдәни-техники сәвијјәнин јүксәлишини экс етдири ихтирачы вә сәмәрәләшдиричиләр социализм гуручулугунун баша чатдырылдыры илләрин сонларында өлкәмиздә елм вә техниканың бүтүн наилийјәтләрнән тез вә тамамилә истифадә етмәк, истеңсалы комплексли механизатормәк вә автоматлаштырмаг сәһәснәдә даһа сә'jlә чалышырдылар.

Республикамызының ихтирачы вә сәмәрәләшдиричиләринин шәрәфли әмәжинә Коммунист партиясы вә Совет һөкүмәти һәмишә бөјүк гајғы көстәриб ону гијмәтләндирir.

1960-чы илдә республиканың ихтирачы вә сәмәрәләшдиричиләрнән 18 нәфәринә Азәрбајҹан ССР-ин әмәкдәр ихтирачысы, 44 нәфәринә исә Азәрбајҹан ССР-ин әмәкдәр сәмәрәләшдиричиси адыны вәрилмәси бу гајғының тәзәһүрүдүр. 1953—1958-чи илләрдә бу ада лајиг көрүләнләр ичәрисинде ағыр сәнајемизин мүхтәлиф саһәләрнәдә тәгдирләлајиг фәалийјәт көстәрмиш Эскәр Эли оғлу Балабәј, һејбәт Бабачан оғлу Нәсиров (КМЗ), Јелизар Василјевич Костыченко (Дзержински адына завод), Јәдулла Гулам оғлу Мәммәдјаров (л. Шмидт адына завод), Иван Иванович Фоменков (СК заводу) вә башгалары да вар иди. Тәлтиф едиләнләрдән 7 нәфәри гадындыр. Онлардан Зәрифә Чанакир гызы Нуријева (Азәрбајҹан Нефт-кимја Заводлары Идәрәси), Раисә Ивановна Вдавина (Б. Сәрдаров адына завод) бизи марагандыран саһәнин көркәмли сәмәрәләшдиричиләридир.

Сон илләрдә зәһмәткешләрин мәдәни-техники сәвијјәснин даһа да јүксәлмәси вә коммунизм гуручулугунун нәһәнк вәзиғәләрнин Јөрнәнә Іетирмәклә әлагәдар олараг, ихтирачылар вә сәмәрәләшдиричиләр һәрәкаты олдугча кенишләнмишиләр.

Тарих Институту

Алымышдыр 26. VII 1963

К. А. Рагимов

Движение изобретателей и рационализаторов в тяжелой промышленности республики (без нефтяной) в период завершения победы социализма

РЕЗЮМЕ

Движение изобретателей и рационализаторов является одним из важнейших факторов в развитии технического прогресса Коммунистическая партия и советское правительство уделяют большое внимание развитию творческой активности масс.

В связи с повышением культурно-технического уровня трудящихся, из года в год движение изобретателей и рационализаторов приобретает еще больший размах. Это дает государству большую экономию средств.

В 1953—1958 гг. только на заводе синтетического каучука было внедрено в производство 1758 рациональных предложений, что дало государству около 27.575 000 руб. экономии.

В наши дни движение изобретателей и рационализаторов охватывает широкий круг трудящихся, его значение возросло как никогда раньше.

Г. АСЛАНОВ

АВАЗТӘПӘДӘН ТАПЫЛМЫШ ТУНЧ БАЛТА

(Азэрбајҹан ССР ЕА академики Ә. Ә. Әлизадә төгдим етмишdir)

Товуз шәһәриндән 3 км чәнуб-гәрбдә, Ағдағын әтәк һиссәсүндәки Аваэтәпәдән, јерли әналиниң дедијинә көрә, индијә кими бир чох мұхтәлиф археологи материаллар ашқар едилмишdir. Аңчаг һәмин археологи материаллар пис мұнағизә едилдијиндән биэ чатдырылмамышдыр.

1961-чи ил сентябр айында Аваэтәпәдән (кечмиш сement заводунун карханасындан) тәсадүfi олараг бир әдәд тунч балта тапылмышдыр¹. Бу тунч балта бир даһа тәсдиг едир ки, мұхтәлиф мадди-мәденијјет галыглары тапылмыш Аваэтәпә мараглы бир археологи аби-дәдир.

Һазырда әлдә олан тунч балтанын һәмин аби-дәнин характеристики мүәјжәнләшdirмәкдә көмәк едәчәйни нәзәрә алараг вә һәмин балтаја охшар балталар Азэрбајҹан әразисиндә тәсадүf едилмәдиден илк тапынты кими она айрыча мәгалә һәср етмәни мәгсәдә уйғун һесаб етдик.

Аваэтәпәдән тапылмыш тунч балтанын ағыз һиссәси Колхидә вә Кобан мәдәнијјетләrinә хас олан балталар кими јарымдаирави-формада олуб, ағыз һиссәдән енли олдуғу һалда күп тәрәфә дөргө дара-лыр. Балтанын үзуилигу 17 см, ағзынын ени 6,5 см, галынлығы исә 0,1 см-дир. Көвдәсинин ени 1,3 см, галынлығы тәхминән 2,5 см-дир. Балтанын сап кечирмәк үчүн олан дешиji овал шәкилли олуб, 4,2—2,5 см-дир. Һәмин һиссәдә балтанын үзәриндә Колхидә балталарындағы новчаларла охшарлыг тәшкил едән паралел новчалар дүзәлдилмишdir² (шәклә бах). Бу новчалар үмумијјетлә Гафгазын иш балталары үчүн характерик чәһәтдир³.

Аваэтәпә балтасы илә охшарлыг тәшкил едән балталар беш типе белүнүр. Бунларын үч типи силаң мәгсәдилә ишләдилән Кубан, Колхидә вә Кобан балталарындан, икى типи исә тәсәррүфатда вә мәишәттә дә истифадә олунмуш иш балталарындан ибаратдир⁴.

¹ Балтаны тапыб мұнағизә едән Товуз шәһәри 26-лар адына орта мектәбини мүәллими Әмир Мәммәдов аз тәшкүрүмү билдирирәм.

² Балта Азэрбајҹан ССР ЕА Азэрбајҹан тарихи Музејинә дахил олмуштур.

³ Е. И. Кручинин. „Древняя история Северного Кавказа“, М. 1960, сән. 63.

Женә орада.

Гејд етмәк лазымдыр ки, Аваэтепәдән тапылмыш түнч балтаны өз хүсусијәти е'тибарилә иш балтасы кими гәбул етмәк олар.

Аваэтепәдән тапылмыш түнч балтаја охшар Гәрби Күрчүстан балталарыны О. М. Чапаридзе дә иш балталарына аид етмишидир⁵.

Аваэтепә балтасы, үмумијәтлә, Загафгзијаның көстәрилән тип балталары илә чох уйғулуг тәшкил етдијиндән белә бир еһтимал сәjlәmәк олар ки, бу тип балгалар түнч дөврүндә Азәрбајҹан әразисинде дә мөвчуд олмушдур.

Аваэтепә балтасының кимјәви тәркиби⁶ ашағыдағы гарышынан ибарәтдир:

Cu	Sn	Pb	Zn	Sb	As	Ag	Ni	Au
90,434	7,8	0,2	0,008	0,05	0,15	0,80	0,05	0
Bi	Mo	Co	Fe	Cr	V	Be	Mn	P
0,002	0	0,001	>0,005	0	0	0	0	0

Балта гәлибдә һазырланмышдыр. Бу балтаја охшар нүмунәләр Гәрби Күрчүстанын Мекрели, Севаметија, Груја, Ачари, Лечхуми, Имеретија, Шимали Гафгазын бир чох рајонларында тапылмыш вә тәдгигатчылар тәрәфиндән ер. эв. XII—IX эсрләрә аид едилмишидир⁷.

Аваэтепә балтасы өз хүсусијәтләри е'тибарилә онларла јахыныг тәшкил етдијиндән һәмин балтаны да јухарыда көстәрилән дөврә аид етмәк олар.

Азәрбајҹан тарихи Музеји

Алынышдыр 25.VIII 1962

Г. Асланов

Бронзовый топор из холма Аваэтепе

РЕЗЮМЕ

В сентябре 1961 г. автором данной статьи был обнаружен из холма Аваэтепе, в 3 км от юго-западной части города Тавуз, бронзовый топор. Этот топор имеет большое сходство с топорами колхидской и кобанской культуры.

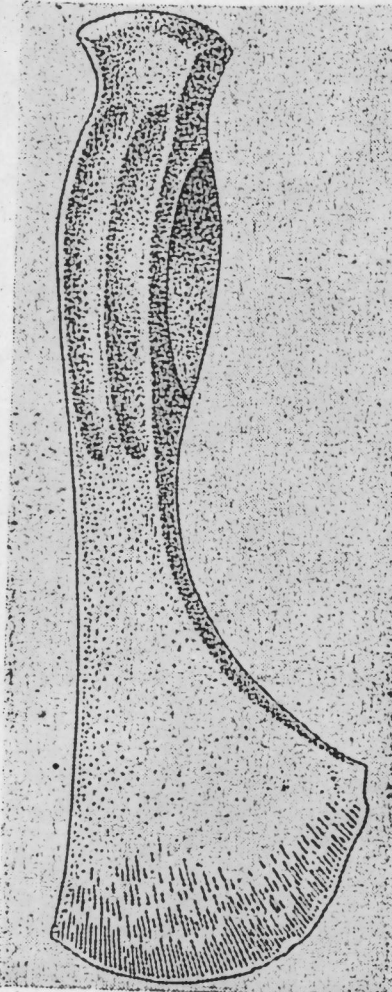
⁵ О. М. Джапаридзе. Бронзовые топоры западной Грузии, СА, XVIII, 1953-чу ил, с. 299.

⁶ Балтајын спектрал анализи Азәрбајҹан ССР ЕА Тарих Институтуну археологи-технико-ожи лабораторијасында кимја елмләри доктору И. Р. Сәлимханов апармышдыр.

⁷ О. М. Джапаридзе. Бронзовые топоры западной Грузии, СА, XVIII, 1953-чу ил, с. 299.

Подобные топоры известный кавказовед-археолог Е. И. Крупнов разделяет на пять групп. Согласно Е. И. Крупнову, три из них—Кубанские, Колхидские и Кобанские—употреблялись как оружие, а остальные только в хозяйстве и в быту как орудие труда. Исследователи относят их к XII—IX вв. до н. эры.

Исходя из аналогичности обнаруженного топора из Аваэтепе с вышеуказанными топорами можно сделать предположение о том, что в эпоху бронзы подобные топоры употреблялись как орудия труда и имели распространение на территории Азербайджана, относясь к XII—IX вв. до н. эры.



Шәкил
Аваэтепәдән тапылмыш
түнч балта.

МУНДАРИЧАТ

Ријазијјат

М. К. Гасымов. Ики өз-өзүнә гошма операторларының мәхсуси әдәдләри учун олан бир бәрабәрсизлийни тәтбиги һагында	3
Ф. С. Элиев. Умумилашмиш функциялар синфиндә Ейлер тәнлижинин үмуми һәлли	9
Нефт јатагларының қеолокијасы	
J. A. Начиев. Жилој адасы гырышығының Плиосен дөврүндә инициаф тарихи	15
Кимja	
J. B. Мәммәдәлиев, С. М. Элиев, B. M. Мәммәдәлиев, A. A. Сәркисян, M. A. Агаев. Бензол һәлгасында метил групплары олаи стирол, α -метилстиролларының $TiCl_4$ иштиракы илә полимерләшдирилмәси	21
Кристаллокимja	
K. M. Мендиев, X. C. Мәммәдов. Фосфор-молибден-бисмут катализаторунун рентгенографик тәдгигинә даир	27
Үзви кимja	
L. A. Ләтифова, M. M. Сахаров. Полиакрилнитрил әсасында һазырланмыш үзви јарымкечирчилир үзәриндә катализ	31
Кеолокија	
A. P. Ахундов, F. A. Кезэлов. Ики мұхтәлиф су гарышығының графики—аналитик методла тә'жиннә даир	35
Гәдим металлургија тарихи	
I. R. Сәлимханов. Гәдим дөврдә Азәрбајҹан вә Дағыстан эразисинде илк металларының истифадәсинә даир	41
Нефт қеолокијасы	
A. D. Элиев. Хәзәрjаны—Губа саһеси Тәбашир чөкүнтуләри кәсилишинин литофаснал вә каротаж характеристикасы	47
Палеонтолокија	
D. A. Агаларова. Күрjаны овалығының палчыг вулканлары һагында	53
Торпаг биолокијасы	
H. A. Мендиева, T. A. Мартиросова. Шәрги Ширван чәмән-боз торпагларының микрофлорасы	57
Селексија	
I. K. Абдуллаев. Јени селексија тут ағачы сорту Эмин-Тут	63
Биолокија	
Э. J. Мусаев, A. I. Ахундзадә. Нефт бој маддәсинин чолпаларының бөјүмә вә инициафына тә'сирине	69
Физиологија	
T. B. Гурбанов. Интероресепторлардан ганының адреналин, ацетилхолин, шәкәр вә холинестеразасы фәллалығына олан тә'сирләрдә гычыг гүввәсиинин әһәмийjetи	75
Архитектура	
H. A. Сәркисов. Азәрбајҹан мә'марлығында керамик декорун гурулмасының бә'зи ҳүсусијәтләре һагында	81
Тарих	
K. A. Рәhimov. Сосиализм гуручулугунун баша чатдыгы илләрдә Азәрбајҹан ССР-ин ағыр сәнајесинде (нефт сәнајесиз) иштирачылар вә сәмәрәләшдиричиләр һәрәкатына даир	85
Археологија	
G. Асланов. Аваатәпәдән тапылмыш туич балта	91

СОДЕРЖАНИЕ

Математика

M. G. Гасымов. О применении одного неравенства для суммы разностей собственных значений двух самосопряженных операторов	3
F. С. Алиев. Общее решение уравнения Эйлера в обобщенных функциях	9

Геология нефтяных месторождений

J. A. Гаджиев. История развития складки о. Жилой в плиоцене	15
---	----

Химия

Ю. Г. Мамедалиев, С. М. Алиев, Г. М. Мамедалиев и др. Катионная полимеризация метилированных в ядре стиролов, α -метилстиролов и винилизоопропенилбензолов в присутствии $TiCl_4$	21
--	----

Кристаллохимия

K. M. Мехтиев, X. C. Медов. Рентгенографическое исследование фосфорно-молибдено-висмутового катализатора	27
--	----

Органическая химия

L. A. Лятифова, M. M. Сахарова. Катализ на органическом проводнике, полученном на основе полиакрилнитрила	31
---	----

Геология

A. P. Ахундов, F. A. Гезалов. К графо-аналитическому методу определения смеси двух вод	35
--	----

История древней металлургии

I. R. Селимханов. К использованию первых металлов в древности на территории Азербайджана и Дагестана	41
--	----

Геология нефти

A. D. Алиев. Литофациальная и каротажная характеристика разреза меловых отложений Прикаспийско-Кубинской области	47
--	----

Палеонтология

D. A. Агаларова. О грязевых вулканах Прикурипской низменности	53
---	----

Биология почв

H. A. Мехтиева, T. A. Мартиросова. Микрофлора лугово-сероземных почв Восточной Ширвани	57
--	----

Селекция

I. K. Абдуллаев. Новый сорт шелковицы Эмин-тут	63
--	----

Биология

Э. Ю. Мусаев, A. I. Ахундзадә. Влияние ростового вещества нефтяного происхождения на рост и развитие цыплят в возрасте от 30 до 60 дней	60
---	----

Физиология

T. B. Гурбанов. Значение силы раздражения для интероцептивных влияний на содержание адреналина, ацетилхолина, сахара и активность холинэстеразы в крови	75
---	----

Архитектура

H. A. Саркисов. О некоторых особенностях построения орнаментации керамического декора в архитектуре Азербайджана	81
--	----

История

K. A. Рагимов. Движение изобретателей и рационализаторов в тяжелой промышленности республики (без нефтяной) в период завершения победы социализма	85
---	----

Археология

G. Асланов. Бронзовый топор из холма Аваатепе	91
---	----

МУЭЛЛИФЛЭР ҮЧҮН ГАДАЛАР

1. Азәрбайчан ССР Елмөр Академијасының Мә'рүзәләриңдә баша чатдырылышын, лакин һаңда башын ярда чан етдирилгүшни олан эмели ва нәзәри әңөмийјәтә малик елми тәдгигатларын иетичеләриңе аздыса мә'луматлар дәрч олунур.

Механики сурәтдә бир неча кичик мә'лумата бәлгүйүш ири мәгәләләр, ичаренең да иеч бир яни фактик материал олмајан ва мубабисе характеристи дашияны мәгәләләр, мүәйян иетичеси ва умумиәтшилигичи жекуун олмајан јарымчыг тәчрүбәләриң тәсвири олундугу мәгәләләр, тәсвири, жаҳуд ичмал характеристи дашияны, гејри-ирициналлар, сырф методик мәгәләләр (әкор бу мәгәләләрдә тәктиф олунан метод тамамина яни дејилсе), елм үчүн сон дәрәчи марагын олан тәнништәләрни тәсвири истина етпиләккә, биткилорин ва һөҗвандарын систематикасына даир мәгәләләр «Мә'рүзәләр»дә дәрч олунмур.

«Мә'рүзәләр»дә дәрч олунмуш мәгәләләр сонрадан даңа кенин шәкилдә башын көннөрлөрдә чан едило биңэр.

2. «Мә'рүзәләр»дә чан олунмаг үчүн верилән мәгәләләр јазының һәмни ихтиасе үзәк академик тәрәфиндән тәгдим едиликдән сонра журналын Редаксија Ыңғаштыңда музакирәжөј ғојулур.

Азәрбайчан ССР Елмөр Академијасы мухбир үзвизоринин мәгәләләри һәмни ихтиасе үзәк академиккин тәгдиматы олмадан гәбул едилир.

Журналын Редаксија Ыңғашты академикләрдөн хәниң енди ки, мәгәлә тәгдим едәрек һәмни мәгәләләри мүәллифдән алымна тарихини, набесе журналда мәгәләнин јергәнширилмәни олунту елми бөлмәнни адны мүтләг көстөрсөнлөр.

3. «Мә'рүзәләр»дә һәр мүәллифин илде 3-дан артыг мәгәләсі дәрч олунмур; Азәрбайчан ССР ЕА, академикләрдөн илде 8 мәгәлә, мухбир үзвизорин исе илде 4 мәгәлә чан етдириләк һүтүгу вардыр.

4. «Мә'рүзәләр»дә чан олунан мәгәләнин һочми, шәкилләр дә дахил олмагла, бир мүәллиф өзөргөнин дөрдә бириндей, я'ни макинада јазылышы 6-7 сәнгифәдән (10.000 чап ишарәсендән) артыг олмамалысыдый.

5. Азәрбайчан дилиндә јазылышын мәгәләнин сонунда рус дилиндә, русча јазылышын мәгәләнин сонунда исе Азәрбайчан дилиндә гызыс хуласа өверилмәлидир.

6. Мәгәләнин сонунда һәмни тәдгигат ишнин ашарылышы олунту елми мүәсисесиниң ады ва мүәллифин телефон нөмрәси көстөрilmәлидир.

7. Елми мүәсисеселәрдә ашарылышын тәдгигат ишләрини иетичеләрини чан етдириләк үчүн һәмни мүәсисесини мүддеријјәти ичазэ вермәлидир.

8. Мәгәләләр (хуласа да дахил олмагла) макинада сәнгифәни бир үзүнде икى интравалда јазылмалы ва икى нүхәдә журналнын редаксијасына тәгдим едилемәлидир. Формулалар дүрүст ва айдын јазылмасыдый; бу һалда гарә гөләмә кичик һарфларин дүстүнде, бејүк һарфларин исе алтындан икى чызыг чөккүлмәлидир.

9. Мәгәләдә ситет катирилән әдәбијјат сөнгифәни ашагысында чыхын шәклинде төйил, мәгәләнин сонуна әлаза едилен әдәбијјат сијаһисында, һәм до мүәллифларин фамилијасы үзәк өлифба сыралыса илә верилмәни ва мәтинни ичаренең да бу, яри кәлдикча, сыралып илә көстөрilmәлидир. Әдәбијјат сијаһисы ашагыдағы тәртиб едилемәлидир.

а) китаблар үчүн мүәллифин фамилијасы ва ишненең (ады ва атасының дүниен баш һөрфләри), китабын ады, чылдин нөмрәси, наңир олундугу ярии ва ишненең адьы, наңир олундугу ил;

б) мәчмүәләрдә (әсәрләрдә) чан олунмуш мәгәләләр үчүн мүәллифин фамилијасы ва ишненең, мәгәләнин адьы, мәнмүәззин (әсәрләрин) адьы, чылдин, бурахысының нөмрәси, наңир едиликдүй ярии ва ишненең адьы, наңир олунма или ва сөнгифә нөмрәси;

в) журнал мәгәләләри үчүн мүәллифин фамилијасы ва ишненең, мәгәләнин адьы, журналнын адьы, наңир олумаса или, чылдин ва журналнын нөмрәси (бурахысының нөмрәси) ва сөнгифә.

Наңир олуманын асарларда иенад етмек олмаз (елми мүәсисеселәрда сакланысадан бесабаттар ва диссертациялар мұстасандыр).

10. Шәкилләрни даңында мүәллифин фамилијасы, мәгәләнин адьы ва ишненең нөмрәси көстөрilmәлидир. Шәкилләттә сөздөр макинада јазылышын, айрыча сөнгифада сөрilmәлидир.

11. Редаксија мүәллифи өз мәгәләнадан 25 түркча нүхә верир.

Чапа имзаланыш 18/III 1964-чу ил. Қағыз форматы 70×108^{1/16}. Қағыз вәрәги 3.
Чап вәрәги 8,22. Нес.-нәшријјат вәрәги 6,7. ФГ 06043. Сифариш 117. Тиражы 890.
Гијмети 40 гәп.

Азәрбайчан ССР Назирләр Совети Дөвләт Мәтбуат Комитәсінин «Елм» мәтбәеси,
Бакы, Фәйла проспекти, 96.

ПРАВИЛА ДЛЯ АВТОРОВ

1. В «Докладах Академии наук Азербайджанской ССР» помещаются краткие сообщения, содержание законченные, еще не опубликованные результаты научных исследований, имеющих теоретическое или практическое значение.

В «Докладах» не публикуются крупные статьи, механически разделенные на ряд отдельных сообщений, статьи подемического характера, без новых фактических данных, статьи с описанием промежуточных опытов без определенных выводов и обобщений, работы непринципиальные, описательного или обзорного характера, чисто методические статьи, если предлагаемый метод не является принципиально новым, а также статьи по систематике растений и животных (за исключением описания особо интересных для науки находок).

Статьи, помещаемые в «Докладах», не лишают автора права последующей публикации того же сообщения в развернутом виде в других изданиях.

2. Поступающие в «Доклады» статьи рассматриваются Редакционной коллегией только после представления их академиком по специальности.

Статьи членов-корреспондентов Академии наук Азербайджанской ССР принимаются без представления.

Редакция просит академиков при представлении статьи указывать дату получения ее от автора, а также начисление раздела, в котором статья должна быть помещена.

3. В «Докладах» публикуется не более трех статей одного автора в год. Для академиков устанавливается лимит 8 статей, а для членов-корреспондентов Академии наук Азербайджанской ССР — 4 статьи в год.

4. «Доклады» помещают статьи, занимающие не более четверти авторского листа, около 6—7 страниц машинописи (10 000 печатных знаков); включая рисунки.

5. Статьи, написанные на азербайджанском языке, должны иметь резюме на русском языке и наоборот.

6. В конце статьи должны быть указаны название научного учреждения, в котором произведена работа, и номер телефона автора.

7. Опубликование результатов работ, проведенных в научных учреждениях, должно быть разрешено дирекцией научного учреждения.

8. Статьи (включая и резюме) должны быть написаны на машинке через два интервала на одной стороне листа и представляются в двух экземплярах. Формулы должны быть начертаны четко и ясно, и при этом прописные буквы должны быть подчеркнуты (черным карандашом) двумя черточками снизу, а строчные — сверху; буквы греческой алфавиты надо обводить красным карандашом.

9. Цитируемая в статье литература должна приходить не в виде подстрочных списков, а общим списком (без подстречий), в алфавитном порядке (по фамилии автора), в конце статьи с обозначением ссылки в тексте порядковой цифрой. Список литературы должен быть оформлен следующим образом:

а) для книг: фамилия и инициалы автора, полное название книги, номер тома, город, издательство и год издания;

б) для статей в сборниках (трудах): фамилия и инициалы автора, заглавие статьи, название сборника (трудов), том, выпуск, место издания, издательство, год, страница;

в) для журнальных статей: фамилия и инициалы автора, заглавие статьи, название журнала, год, том, номер (выпуск), страница.

г) Ссылки на неопубликованные работы не допускаются (за исключением отчетов, диссертаций, хранящихся в научных учреждениях).

10. На обороте рисункой должны быть указаны фамилии автора, название статьи и номер рисунка. Отпечатанные на машинке подпись к рисункам представляются на отдельном листе.

11. Редакция выдает автору бесплатно 25 отдельных оттисков статьи.